

ISSN 0201-758X

ISSN 0320-6572

ВІСНИК ЛЬВІВСЬКОГО УНІВЕРСИТЕТУ

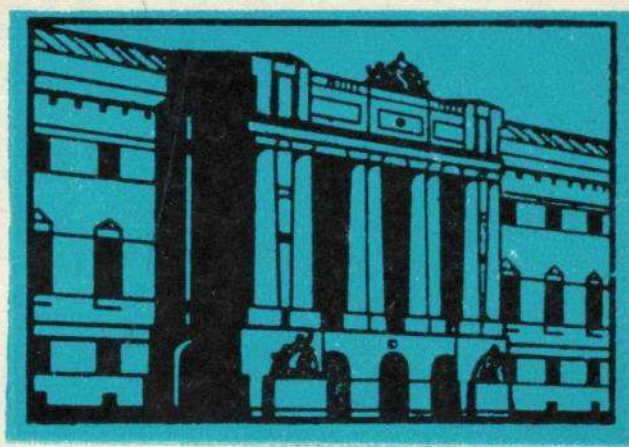
ЧИСЕЛЬНІ МЕТОДИ АНАЛІЗУ

СЕРІЯ МЕХАНІКО-МАТЕМАТИЧНА

ВІПУСК

17

1981



МІНІСТЕРСТВО ВИЩОЇ І СЕРЕДНЬОЇ
СПЕЦІАЛЬНОЇ ОСВІТИ УРСР

ВІСНИК ЛЬВІВСЬКОГО УНІВЕРСИТЕТУ

СЕРІЯ МЕХАНІКО-МАТЕМАТИЧНА

ВИПУСК 17

ЧИСЕЛЬНІ
МЕТОДИ
АНАЛІЗУ

Виходить з 1955 р.

ЛЬВІВ
ВИДАВНИЦТВО ПРИ ЛЬВІВСЬКОМУ
ДЕРЖАВНОМУ УНІВЕРСИТЕТІ
ВИДАВНИЧОГО ОБ'ЄДНАННЯ «ВІДА»
1981

УДК 22. J62

607.2

Б. 89

УДК 518

Вестн. Львов. ун-та, вип. 17, Численные методы анализа. Львов:
Вища школа. Ізд-во при Львов. ун-те, 1981, с. 104 /на укр. яз./.

В Вестнике помещены статьи по численным методам решения функциональных уравнений и задач оптимизации и работы по решению статических и динамических задач для сплошных сред.

Для научных работников, преподавателей, аспирантов и студентов старших курсов.

Редакційна колегія: проф., д-р техн. наук
Д.В.Гриліцький /відп. ред./; доц., канд. фіз.-мат. наук Ю.М.Шербіна /відп. секретар/; доц., канд. фіз.-мат. наук М.Я.Бартіш; доц.,
канд. фіз.-мат. наук А.І.Кардан; проф., д-р техн. наук Н.П.Флейшман.

Редакція науково-технічної та природничої літератури

20204-018 1702060000
M225/04/-81

Замовне

© Львівський державний
університет, 1981

П.С.Сеньо

СТИЖСТЬ ОДНОГО ІТЕРАЦІЙНО-РІЗНИЦЕВОГО МЕТОДУ
ДЛЯ РОЗВ'ЯЗУВАННЯ НЕЛІНІЙНИХ ОПЕРАТОРНИХ РІВНЬ

Кожен обчислювальний процес, який реалізується на дискретному обчислювальному пристрої, поряд з похибкою методу дас неусувну похибку, що виникає внаслідок похибок вихідних даних і вимірювань, та похибку заокруглень, яку одержуємо тому, що обчислювальний пристрій містить скінченну кількість розрядів. Ці похибки можна розглядати як певні збурення вихідного ідеального обчислювального процесу. Коли незалежно від цих збурень при реалізації обчислювального процесу отримуємо правильний результат, то такий процес називаємо стіжким.

Для розв'язування нелінійних операторних рівнень [4]

$$P(x) = 0,$$

/1/

де P – нелінійний оператор, то діє з одного банахового простору в інший, запропоновано обчислювальний алгоритм

$$\begin{cases} Z_n = x_n - \Gamma_n P(x_n), \\ x_{n+1} = x_n - \{2J - [P(Z_n, x_n)]^T P'(x_n)\}^T \Gamma_n P(x_n). \end{cases} /2/$$

Тут $\Gamma_n = \Gamma(x_n) = [P'(x_n)]^T P'(x_n)$ – перша поділена різниця [6] оператора $P(x)$, $n = 0, 1, 2, \dots$

Нехай на процес /2/ діять збурення, які є послідовностями лінійних операторів $\{V_n\}$ і $\{\tilde{V}_n\}$, так, що

$$\begin{aligned} Z_n &= x_n - \tilde{\Gamma}_n P(x_n), \\ x_{n+1} &= x_n - \{2J - [P(Z_n, x_n)]^T P'(x_n) + V_n\}^T \tilde{\Gamma}_n P(x_n), \end{aligned} /3/$$

де $\tilde{\Gamma}_n = [P'(x_n) + \tilde{V}_n]^T$, $n = 0, 1, \dots$

Достатні умови існування розв'язку рівняння /1/ я умови збіжності процесу /3/ дадуть така теорема.

Теорема I. Нехай виконуються умови:

I/ для початкового наближення x_0 існує сполучення $\Gamma_0 \cdot (P'(x_0))^T$,

причому $\|\Gamma_0\| \leq B_0$, $\|P'(x_0)\| \leq K_0$;

$$2/. \quad \|P(x_0)\| \leq 2_0;$$

$$3/ \text{ в області } \Omega_0 = \{x : \|x - x_0\| \leq \rho_0\}, \text{ де } \rho_0 = \frac{2_0}{(1-q_0)(1-\alpha e_0^3)(1-h_0^3 L_0^3)}, \\ \|P''(x)\| \leq M, \|P''(x)\| \leq N \text{ і } P''(x) \text{ задовільняє умову Ліпшица} \\ \|P''(x'') - P''(x')\| \leq L \cdot \|x'' - x'\|;$$

$$4/ \quad \|V_n\| \leq \tilde{C} \cdot \zeta_n^3, \quad \|V_n\| \leq C \cdot \zeta_n^3;$$

$$5/ \quad h_0 = B_0 M_2_0, \quad h_0 < (1-q_0)(1-\alpha e_0^3), \text{ де } q_0 = \frac{h_0}{2(1-\alpha e_0^3)-h_0} + C \cdot \zeta_0^3, \alpha e_0^3 = \tilde{C} \cdot B_0 \cdot \zeta_0^3;$$

$$6/ \quad q_0 < 1, \quad \alpha e_0^3 < 1;$$

$$7/ \quad S_0^3 = L_0^3 h_0^3 / [(1-q_0)(1-\alpha e_0^3)] < 1,$$

де

$$\begin{aligned} L_0^3 &= \frac{1}{M^3 \cdot B_0 [(1-q_0)(1-\alpha e_0^3)-h_0]} \left\{ \frac{m_0 N}{6(1-\alpha e_0^3)^2(1-q_0)} (2+m_0 q_0) + \frac{NM \tilde{B}_0}{12(1-\alpha e_0^3)^3} + (1+m_0 q_0) \tilde{C} \cdot \zeta_0^3 \right. \\ &\quad \left. + K_0 C + \frac{MCq_0}{2(1-q_0)(1-\alpha e_0^3)} + m_0 \left[\frac{N \tilde{B}_0}{4(1-q_0)(1-\alpha e_0^3)^2} + \frac{L \cdot \zeta_0}{24(1-q_0)^3(1-\alpha e_0^3)^3} + \frac{M \cdot \tilde{B}_0 \cdot N \cdot \zeta_0}{12(1-q_0)(1-\alpha e_0^3)^3} \right] \right\}, \\ \tilde{B}_0 &= \frac{2(1-\alpha e_0^3)B_0}{2(1-\alpha e_0^3)-h_0}; \quad m_0 = \frac{\tilde{B}_0 M}{2(1-\alpha e_0^3)} + C \cdot \zeta_0^3. \end{aligned}$$

Тоді рівняння /I/ в області Ω_0 має розв'язок, до якого збігається послідовність $\{x_n\}$, визначена за допомогою /3/, причому

$$\|x'' - x_n\| \leq [(1-q_0)(1-\alpha e_0^3)]^{n-1} \cdot S_0^{4^{n-1}} \cdot \frac{2_0}{1-h_0^3 L_0^3}. \quad /4/$$

Доведення цієї теореми аналогічне доведенню відповідних теорем з праць [2, 4, 5].

Поряд з рівнянням /I/ розглянемо збурене рівняння

$$P_\varepsilon(x) = 0. \quad /5/$$

Оператор P_ε вважаємо близьким до оператора P в тому сенсі, що в деякій області Ω $\|P_\varepsilon(x) - P(x)\| \leq \delta(\varepsilon, x)$, де функція $\delta(\varepsilon, x) \rightarrow 0$ при $\varepsilon \rightarrow 0, x \in \Omega$. Застосуємо процес /3/ до рівняння /5/. Тоді має місце така теорема.

Теорема 2. Нехай для оператора $P_\varepsilon(x)$ виконуються умови 2/-7/ теореми I. Крім того, припускаємо, що рівняння /I/ має хоча б один розв'язок $x^* \in \Omega \subset \Omega_0, \|P(x^*)\| \leq B, \forall x, \tilde{x} \in \Omega_0$.

Тоді при $n \rightarrow \infty$ і $\varepsilon \rightarrow 0$ процес /3/ збігається до одного з розв'язків рівняння /I/, який належить області Ω_0 , причому

$$\|x_i^{(n)} - x^*\| \leq [(1-q_0)(1-\alpha e_0^3)]^{n-1} \cdot S_0^{4^{n-1}} \cdot \frac{2_0}{1-h_0^3 L_0^3} + B \cdot \delta(\varepsilon, x^*). \quad /6/$$

Доведення цієї теореми аналогічне доведенню теореми 2 з праці [5].

Аналогічно, як у праці [1], за допомогою функції $\delta(\varepsilon, x)$ можна враховувати похибку заокруглень і неусувну похибку. Отже, процес /2/ стійкий у тому сенсі, що похибки заокруглень, якщо вони не дуже великі, не порушують його збіжності та не змінюють порядку збіжності.

Розглянемо обчислювальний процес

$$\begin{cases} z_n = x_n - [P(\tilde{x}_n, x_n)]^{-1} P(x_n), \\ x_{n+1} = x_n - \{2 \cdot I - [P(z_n, x_n)]^{-1} P(\tilde{x}_n, x_n)\}^{-1} [P(\tilde{x}_n, x_n)]^{-1} P(x_n) (n=0, 1, \dots) \end{cases}$$

який є різницевим аналогом процесу /2/.

Легко показати, що процес /7/ є процесом /3/, де збурення

$$\tilde{V}_n = \int_0^1 P''(x_n + \tau(\tilde{x}_n - x_n))(I - \tau) d\tau (\tilde{x}_n - x_n), \quad /8/$$

$$V_n = -[P(z_n, x_n)]^{-1} \tilde{V}_n. \quad /9/$$

Отже, достатні умови існування розв'язку рівняння /1/ і умови збіжності процесу /7/ дає така теорема.

Теорема 3. Нехай виконуються умови I/ – 3/ теореми I при $P_0 = \gamma_0 / [(1-q_0)(1-\alpha e_0^3)(1-h_0 l_0^3)]$. Крім того, виконуються ще й такі умови:

1/ на кожному кроці \tilde{x}_n вибираємо з умови $\|\tilde{x}_n - x_n\| \leq 2C \|P(x_n)\|^2$,

2/ $h_0 = B_0 M \gamma_0$, $h_0 < (1-q_0)(1-\alpha e_0^3)$, де $q_0 = \frac{h_0}{2(1-x_0^2)} - h_0 + B_0 M C \cdot \gamma_0^2$;

3/ $q_0 < 1$, $\alpha e_0^3 = B_0 M C \cdot \gamma_0^2 < 1$;

4/ $S_0^3 = L_0^3 h_0^3 / [(1-q_0)(1-\alpha e_0^3)] < 1$, де

$$L_0^3 = \frac{1}{M^2 B_0^2 [(1-q_0)(1-h_0) - h_0]} \left\{ M_0 \left[\frac{M^2 \cdot B_0}{4(1-q_0)(1-\alpha e_0^3)^2} + \frac{L_0^2 \gamma_0}{24(1-q_0)^2(1-\alpha e_0^3)^3} + \frac{M \cdot B_0 N \gamma_0^2}{12(1-q_0)(1-\alpha e_0^3)^2} \right] \right.$$

$$\left. + \frac{N \gamma_0}{6(1-q_0)^2(1-\alpha e_0^3)^2} (2 + q_0 M_0) + \frac{NM \bar{B}_0}{12(1-\alpha e_0^3)^3} + K_0 M \bar{B}_0 C + (1+q_0 M_0) CM \gamma_0 + \frac{M^2 \cdot C \cdot \bar{B} \cdot \gamma_0}{2(1-q_0)(1-\alpha e_0^3)} \right\}.$$

Тоді /1/ має в області \mathcal{R} розв'язок, до якого збігається послідовність $\{x_n\}$, визначена за /7/, причому

$$\|x^{*} - x_n\| \leq [(1-q_0)(1-\alpha e_0^3)]^{n-1} \cdot S^{4n-1} \cdot \frac{\gamma_0}{1-h_0^2 l_0^3}.$$

Доведення цієї теореми є перевіркою виконання умов теореми I при конкретних збуреннях /8/, /9/.

З ауваження I. Умови теореми З значно спрощуються, якщо на кожному кроці ітерації \tilde{x}_n вибираємо з умови

$$\|\tilde{x}_n - x_n\| \leq 2M^2 B_n^2 \cdot 2_n^2. \quad /10/$$

З ауваження 2. З теореми I випливає, що метод /2/ в збуренням аналогом однопараметричного сімейства методів типу Рунге [3] зі збуреннями, які не знижують порядку їх збіжності.

Справді, метод /2/, як і методи типу Рунге, містить лише похідні першого порядку, порядки збіжності цих методів дорівнюють чотирьом, оператор $P(x_0) \cdot P'(x_0) \{2J - [P(x_0, x_0)]' P'(x_0)\} (x - x_0)$ збігається з оператором $P(x)$ також з точністю $O(\|x - x_0\|^4)$.

Список літератури: І. Бабич М.Д., Іванов В.В. Оценка полной погрешности при решении нелинейных операторных уравнений методом простой итерации. - ЖБМФ, 1967, 5, № 5. 2. Бартиш М.Я. Возмущенные аналоги методов типа Ньютона-Канторовича. - В кн.: Математический сборник, Киев: Наукова думка, 1976. 3. Бартиш М.Я.. Сеньо П.С. О методе Рунге решения нелинейных операторных уравнений третьего и четвертого порядка сходимости. - Вычислительная и прикладная математика, 1976, вып. 28. 4. Бартиш М.Я.. Сеньо П.С., Шербина Ю.Н. Итерационно-разностный метод для решения нелинейных операторных уравнений. - Вычислительная и прикладная математика, 1976, вып. 29. 5. Бартиш М.Я., Шербина Ю.Н. Исследование условий сходимости и оценка полной погрешности одного итерационно-разностного метода для решения нелинейных операторных уравнений. - Вычислительная и прикладная математика, 1976, вып. 28. 6. Ульян С.Ю. Об обобщенных разностях. I.-Изв. АН Эст. ССР. Физика, Математика, 1967, 16, № 1.

Стаття надійшла в редколегію 10.09.1979 р.

П.С.Сеньо, С.М.Шахно

РОЗВ'ЯЗУВАННЯ РІЗНИЦЕВИХ РІВНЯНЬ ГАЗОВОЇ ДИНАМІКИ

ІТЕРАЦІЙНИМ МЕТОДОМ ТИПУ РУНГЕ

Системи різницевих рівнянь газової динаміки у загальному випадку є системами нелінійних алгебраїчних рівнянь великих розмірів. При виборі ітераційного методу розв'язування таких систем необхідно, щоб обраний метод накладав слабкі обмеження на крок сітки /це суттєво зменшує розмірність системи/ і мав досить високий порядок збіжності.

Методи типу Рунге [1, 2] належать до методів високих порядків збіжності і містять лише значення першої похідної оператора системи та довільні параметри. Власне вибором значень цих параметрів, як показано нижче, можна добитися стійкості всіх внутрішніх методів й одночасно найслабших з можливих обмежень на крок сітки по часу.

Доведемо, що метод типу Рунге

$$x_{n+1} = x_n - U_n^{-1} \Phi(x_n), n = 0, 1, \dots, \quad /1/$$

де $\Phi(x)$ – оператор лівої частини системи рівнянь $\Phi(x) = 0$;

$$U_n = (-\beta)\Phi'(x_n) + \beta\Phi'(x_n) \frac{1}{2\beta} \Gamma_n \Phi(x_n), \Gamma_n = [\Phi'(x_n)]^{-1};$$

$\beta \neq 0$ – довільне дійсне число, для розв'язування різницевої схеми газової динаміки в ізотермічному наближенні

$v_t = -\rho_x^{(as)}; x_t = v^{(as)}; x_0 = \frac{1}{\rho}; \rho = P(\rho); \beta > 0,5, \quad /2/$

вимагає значно слабших обмежень на крок сітки за часом ніж у методі простої ітерації, і дещо жорсткіших, як у методі Ньютона [4, 5]. У випадку слабких хвиль, близьких до акустичних, обмеження, як і для методу Ньютона, практично відсутні. Зауважимо, що отримані далі оцінки на крок за часом мають достатній характер. Як свідчать розрахунки на ЕОМ, метод Рунге збігається з кроком τ не меншим, ніж метод Ньютона. Метод типу Рунге /1/ в застосуванні до системи нелі-

нійших різницевих рівнянь /2/ при $1/3 \approx \frac{1}{2}$ має третій порядок збіжності, тоді як метод простої ітерації збігається зі швидкотю геометричної прогресії, а метод Ньютона - квадратично. Отримані конкретні прості умови вибору оптимальних значень параметра β .

Далі дотримуємося позначень, прийнятих у роботах А.А.Самарського і Ю.П.Попова [4, 5].

Для визначення невідомих сіткових функцій U, X, P, ρ на $j+1$ -му шарі застосуємо до системи /2/ метод Рунге /1/. Тоді отримуємо систему лінійних рівнянь, яка зводиться до три точкового рівняння

$$A_i \delta U_{i-1} + C_i \delta U_i + B_i \delta U_{i+1} = -F_i, \quad i=1, 2, \dots, N-1. \quad /3/$$

Коефіцієнти /3/ A_i, B_i, C_i, F_i залежать від номера ітерації K і обчислюються за наступними формулами:

$$\begin{aligned} \tilde{A}_i &= \frac{\sigma}{\Delta} \left(\frac{\epsilon}{h} \right)^2 [(1-\beta) P'(\tilde{\rho}_{i-1}) + \beta P'(\tilde{\rho}_{i+1})] \frac{\tilde{\rho}_{i-1}^2 \tilde{\rho}_{i+1}^2}{(1-\beta) \tilde{\rho}_{i-1}^2 + \beta \tilde{\rho}_{i+1}^2}, \\ \tilde{B}_i &= \tilde{A}_{i+1}, \quad \tilde{C}_i = 1 + \tilde{A}_i + \tilde{B}_i, \\ \tilde{F}_i &= -\tilde{f}_{i,i} + 6\epsilon \{ \tilde{f}_{i+1,i} + [(1-\beta) P'(\tilde{\rho}_i) + \beta P'(\tilde{\rho}_{i+1})] \tilde{y}_i \}, \\ \tilde{y}_i &= \frac{\tilde{\rho}_i^2 \tilde{\rho}_{i+1}^2}{(1-\beta) \tilde{\rho}_i^2 + \beta \tilde{\rho}_{i+1}^2} [\tilde{f}_{i,i} - (\tilde{f}_i)_{s,i}]. \end{aligned} \quad /4/$$

Значення функцій $\tilde{\rho}_i$, наявних у /4/, визначаються однією ітерацією за методом Ньютона з параметром релаксації $\frac{1}{2}\beta$.

Три точкове рівняння /3/ можна розв'язати методом прогонки. Умови стійкості прогонки виконуються, очевидно, приймі для $0 < \beta \leq 1$.

Доведемо збіжність методу /1/ у застосуванні до системи рівнянь /2/. Для простоти обмежимось розглядом ідеального газу

$$\rho = P(\rho) = c^0 \rho, \quad c = \text{const.}$$

Застосувавши звичайну процедуру [4, 5] і врахувавши позначення $\Delta U = U - U^{(k)} = \hat{U} - \hat{Y}$, одержуємо

$$\left(\frac{1-\beta}{\tilde{\rho}^2} + \frac{\beta}{\tilde{\rho}^2}\right) \Delta \tilde{\rho}'' - 0.56 C^2 T^2 \Delta \tilde{\rho}_{ss}''' = \left(\frac{1-\beta}{\tilde{\rho}^2} + \frac{\beta}{\tilde{\rho}^2} - \frac{1}{\tilde{\rho} \tilde{\rho}}\right) \Delta \tilde{\rho}. \quad /5/$$

Залишемо /5/ в індексній формі

$$\left(\frac{1-\beta}{\tilde{\rho}_i^2} + \frac{\beta}{\tilde{\rho}_i^2} + \frac{2\alpha^2}{h^2}\right) \tilde{\mathcal{Z}}_i^{**} - \frac{\alpha^2}{h^2} (\tilde{\mathcal{Z}}_{i-1}^{**} + \tilde{\mathcal{Z}}_{i+1}^{**}) = \left(\frac{1-\beta}{\tilde{\rho}_i^2} + \frac{\beta}{\tilde{\rho}_i^2} - \frac{1}{\tilde{\rho}_i \tilde{\rho}_i}\right) \tilde{\mathcal{Z}}_i^{**}, \quad /6/$$

де $\alpha^2 = 0.56 C^2 T^2$, $\tilde{\mathcal{Z}} = \Delta \tilde{\rho}''$.

Якщо розглядати задачі, де в граничних точках $i = -1, i = N$ задані режими зміни тиску з часом, то можна отримати країові умови для /6/

$$\tilde{\mathcal{Z}}_{-1}^{**} = 0, \tilde{\mathcal{Z}}_N^{**} = 0. \quad /7/$$

До неоднорідного рівняння /6/ з однорідними країовими умовами /7/ можна застосувати принцип максимуму, з якого випливає

$$\left| \tilde{\mathcal{Z}}_i^{**} \right| \leq \left| \frac{\frac{1-\beta}{\tilde{\rho}_i^2} + \frac{\beta}{\tilde{\rho}_i^2} - \frac{1}{\tilde{\rho}_i \tilde{\rho}_i}}{\frac{1-\beta}{\tilde{\rho}_i^2} + \frac{\beta}{\tilde{\rho}_i^2}} \tilde{\mathcal{Z}}_i \right|_C \leq \left| \frac{\frac{1-\beta}{\tilde{\rho}_i^2} + \frac{\beta}{\tilde{\rho}_i^2} - \frac{1}{\tilde{\rho}_i \tilde{\rho}_i}}{\frac{1-\beta}{\tilde{\rho}_i^2} + \frac{\beta}{\tilde{\rho}_i^2}} \right|_C \tilde{\mathcal{Z}}_i^{**}, \quad /8/$$

якщо виконується умова

$$D = \frac{1-\beta}{\tilde{\rho}^2} + \frac{\beta}{\tilde{\rho}^2} > 0. \quad /9/$$

Щоб зробити оцінку /8/ більш явною, розкладемо вираз $\frac{\beta}{\tilde{\rho}^2} = \frac{\beta}{(\tilde{\rho} - \frac{\alpha}{2\beta})^2}$ у ряд Тейлора в околі точки $\tilde{\rho}$. Для цього розкладу, записавши залишок ряду в інтегральній формі Коші, достатньо звести перших членів. Обчисливши відповідний інтеграл, отримаємо

$$\frac{\beta}{(\tilde{\rho} - \frac{\alpha}{2\beta})^2} = \frac{\beta}{\tilde{\rho}^2} + \frac{\alpha}{\tilde{\rho}^3} + \frac{3\alpha^2(3\tilde{\rho} - \alpha)}{\tilde{\rho}^4(\tilde{\rho} - \alpha)^2}, \quad /10/$$

де $\alpha = \frac{\tilde{\alpha}}{2\beta}$.

Значення $\tilde{\alpha}$, яке входить у /10/, знаходимо, міркуючи таким чином. Нехай дано систему нелінійних рівнянь, записану в операторному вигляді

$$\mathcal{P}(x) = 0,$$

де $\mathcal{P}: E_n \rightarrow E_n$ – достатня кількість разів диференційованого опера-

тож. Для даного операторного рівняння існує рівність

$$\hat{a} \cdot \Gamma_x P(x_n) = \hat{x} - x - \Gamma_x \int^1_0 P''(\hat{x} + \theta(x - \hat{x}))(1 - \theta) d\theta \cdot (x - \hat{x})^2. \quad /II,$$

де $\Gamma_x = [P'(x)]^{-1}$.

Застосувавши /II/ до системи газодинамічних рівнянь /I/ і врахувавши, що всі другі частинні похідні, крім $\frac{\partial^2 f_{3,i}}{\partial \rho^2}$, дорівнюють нулю, а $\frac{\partial^2 f_{3,i}}{\partial \rho^2} = -\frac{2}{\rho_i^3}$, отримаємо, що \hat{d}_i у /IO/ визначається за формулой

$$\hat{d}_i = \hat{\rho}_i - \hat{\rho}_i + \rho \left[\Gamma_x \int^1_0 \frac{1-\theta}{[\hat{\rho} + \theta(\rho - \hat{\rho})]} d\theta \right]_i^2 (\hat{\rho} - \hat{\rho})^2 = \hat{\rho} \cdot \hat{\rho} + [\Gamma_x \frac{1}{\hat{\rho} \cdot \hat{\rho}}]_i \cdot (\hat{\rho} - \hat{\rho})^2, \quad /I2/$$

де Γ_x - матриця, обернена до матриці

$$C_{33} = \begin{pmatrix} \frac{1}{\hat{\rho}^2} + 3\alpha & -\alpha & 0 \\ -\alpha & \frac{1}{\hat{\rho}^2} + 2\alpha & -\alpha \\ \dots & \dots & \dots \\ 0 & -\alpha & \frac{1}{\hat{\rho}_{N-1}^2} + 2\alpha \end{pmatrix}, \quad \alpha = 0.5 \cdot 6 \left(\frac{c_t}{k} \right)^2.$$

Матрицю C_{33} можна отримати при знаходженні методом кліток оберненої матриці до P' , де P - оператор лівої частини системи рівнянь /2/.

Якщо підставити /IO/, /I2/ у нерівність /8/, то

$$\|\tilde{x}\|_c \leq q_n \|\tilde{x}\|_c^*, \quad /I3/$$

де

$$q_n = \left\| \frac{1 - \hat{d} \hat{\rho}}{\hat{\rho}(\hat{\rho} + 2 + \alpha \hat{\rho}^2)} \right\|_c; \quad \hat{d} = \hat{\rho} - \frac{(1 + \hat{\rho} \hat{x})^2 (-3\hat{\rho} \hat{x} + \hat{x} + \hat{\rho} \hat{x}^2)}{(2\hat{\rho} \hat{x} - \hat{x} - \hat{\rho} \hat{x}^2)^2}; \quad \hat{x} = \Gamma_x \frac{1}{\hat{\rho} \hat{\rho}^2}.$$

Позначимо $q = \max_k q_k$. Тоді

$$\|\tilde{x}\|_c \leq q \|\tilde{x}\|_c^*. \quad /I4/$$

Умова /I4/ після багаторазового застосування зводиться до вигляду

$$\|\tilde{x}\|_c^{k+1} \leq (q^k \|\tilde{x}\|_c^*)^{k+1} \|\tilde{x}\|_c.$$

Очевидно, ітераційний процес Рунге збігається, якщо виконується нерівність $q^k \|\tilde{x}\|_c^* < 1$, яка рівносильна умові

$$q \|\tilde{x}\|_c^* < 1. \quad /I5/$$

З нерівностей /I4/, /I5/ випливає

$$\|\tilde{x}\|_c^{k+1} \leq \|\tilde{x}\|_c^* \leq \dots \leq \|\tilde{x}\|_c, \quad k = 0, 1, 2, \dots \quad /I6/$$

Легко показати, що існує нерівність

$$\left\| \frac{1}{1-x} \right\|_c \leq \frac{1}{1-\|x\|_c}, \quad /17/$$

яка справедлива для векторів x таких, що $\|x\|_c < 1$.

Умова /15/ рівносильна співвідношенням

$$q_x \|z\|_c^{\theta} < 1, \quad \kappa=0,1,2,\dots \quad /18/$$

Застосувавши /17/ до лівої частини нерівності /18/ і врахувавши /16/, після нескладних перетворень отримаємо умову

$$\left\| \frac{1}{\rho} \right\|_c \|z\|_c^{\theta} + \left\| \frac{1}{\rho} \right\|_c \left\| \frac{1}{\rho} \right\|_c (1+2\delta + \frac{Q}{2|\beta|}) \|z\|_c^{\theta} < 1, \quad /19/$$

де $\delta = \|r_k\|_c \left\| \frac{1}{\rho} \right\|_c^2$; $Q = \frac{(1+\delta) \left\| \frac{1}{\rho} \right\|_c \|z\|_c^{\theta}}{[1-(\|z\|_c + \delta) \left\| \frac{1}{\rho} \right\|_c \|z\|_c^{\theta}]^2} \left(\frac{1}{2|\beta|} \right) \left\| \frac{1}{\rho} \right\|_c \|z\|_c^{\theta}$.

Неважко переконатися, що при виконанні нерівності /19/ задовільняється умова /9/, яка є одночасно умовою стійкості методу прогонки, а при $|\beta| > \frac{1}{2}$ гарантується не нижче, ніж третій порядок збіжності методу /1/ в застосуванні до розв'язування системи газодинамічних рівнянь /2/. Зауважимо, що вираз $\frac{Q}{2|\beta|}$ за рахунок вибору параметра β можна зробити досить малим, а $\|r_k\|_c < \sqrt{n} \left\| \frac{1}{\rho} \right\|_c^2$.

Допілмо припустити [3], і це підтверджується числовими розрахунками, що для того щоб задовільнити нерівність /19/ при довільному K , достатньо вимагати виконання II на нульовій ітерації. За початкове наближення беруть, як правило, значення сіткових функцій з попереднього кадру. Тоді /19/ набуде такого вигляду:

$$\|z\|_c \left\| \frac{1}{\rho_t} \right\|_c \tau + \|z\|_c \left\| \frac{1}{\rho_t} \right\|_c \left(1+2\delta + \frac{Q}{2|\beta|} \right) \tau^2 < 1, \quad /20/$$

де $\zeta = \frac{1}{\rho}$; $\zeta = \frac{1}{\rho}$; $\theta \in Q$ - значення δ і β на нульовій ітерації.

Таким чином, значення параметра β бажано вибирати якомога більшим. При цьому забезпечуються стійкість методу прогонки, високий порядок збіжності методу Рунге і мінімальні обмеження на крок сітки за часом.

Розглянемо, до яких обмежень на крок сітки приводить умова збіжності ітерації /20/ для розрахунку руху ударної хвилі, що виникає у задачі про поршень.

Використовуючи наведені у праці [5] позначення і значення норм функцій, які входять у нерівність /20/, можна отримати оцінку для максимально можливого кроку сітки за часом:

$$0 < \tau < \frac{1}{2} n_{\text{max}}^{\omega} \tau_{\text{max}} \cdot \frac{\sqrt{1+4(1+2B+\frac{A}{2B})}-1}{(1+2B+\frac{A}{2B})}. \quad /21/$$

З нерівності /21/ визначасмо співвідношення

$$\bar{\gamma}_p = \frac{\epsilon}{\epsilon_{\text{max}}} < n_{\text{max}}^{\omega} \cdot \frac{\sqrt{1+4(1+2B+\frac{A}{2B})}-1}{2(1+2B+\frac{A}{2B})} < n_{\text{max}}^{\omega} \cdot \frac{\sqrt{[1+2(1+2B+\frac{A}{2B})]^2-1}}{2(1+2B+\frac{A}{2B})}, \quad /22/$$

$$= n_{\text{max}}^{\omega} = \bar{\gamma}_N,$$

де $\bar{\gamma}_p$ і $\bar{\gamma}_N$ – відповідно величини співвідношень для методу Рунге /I/ і методу Ньютона.

Порівнявши оцінку з праці [5] для найпростішого ітераційного процесу $\frac{\epsilon}{\epsilon_{\text{max}}} < \frac{1}{2}$ з оцінками /22/, можна зробити висновок, що метод Рунге /I/ вимагає суттєво слабших обмежень на крок сітки за часом, ніж метод простої ітерації, і дещо короткіших, ніж метод Ньютона. Однак метод Рунге має порядок збіжності, не нижчий третього.

Як видно з умови /22/, максимальний крок τ залежить від сили хвилі /від значення ω / . При $\omega \rightarrow 1$, що відповідає слабким хвильам, які близькі до акустичних, обмеження практично відсутні. При $\omega \sim 0$, що відповідає сильним ударним хвильам, для розрахунку вимагається малий крок τ .

Теоретичні висновки перевірjали розв'язуючи класичну задачу про поршень, який всувається в газ з постійною міцністю, внаслідок чого виникає ударна хвиля. Вихідні дані задачі для порівняння брали з праці [5]. Результати розв'язування задачі ітераційним методом типу Рунге /I/ порівнювали з результатами, одержаними за методом Ньютона.

Кількість ітерацій за методами типу Рунге та Ньютона

τ : часового періоду	: Номер шагу	Метод Ньютона	Кількість ітерацій				
			Метод типу Рунге				
0,1	1	5	4	4	4	4	4
	2	5	4	4	4	3	3
	3	4	4	4	3	3	3
	4	4	4	4	3	3	3
	5	4	4	3	4	3	3
	6-15	4	4	3	3	3	3
0,3	1	5	5	4	4	4	4
	2	5	4	4	4	4	4
	3	5	4	4	4	4	4
	4	6	4	4	4	3	4
	5	5	4	4	4	3	3
	6	5	4	4	4	3	4
	7	5	4	4	4	3	3
	8	5	4	4	4	3	3
0,5	1	5	5	4	4	4	4
	2	5	4	4	4	4	4
	3	5	4	4	4	4	4
	4	5	4	4	4	4	4
	5	5	4	4	4	3	4
	6	5	5	4	4	4	4

Як видно з таблиці, розрахунки повністю підтверджують всі теоретичні висновки. Коли вибирати $\beta \in (0; 1]$, то метод /I/ збігається, як правило, при будь-яких τ . Це зумовлено нестійкістю прогонки. Швидкість збіжності при $\beta \in [0,5; 1]$ відповідає теоретичній. Виявилось, що метод Рунге, як і метод Ньютона, збігається для τ , яке набагато перевищує τ_n . Зокрема, при $\tau = 1,6$, коли за один часовий інтервал фронт ударної хвилі просувається на 16 часових інтервалів, методи Рунге і Ньютона збігаються за 4 і 6 ітера-

ції відповідно. Такий крок недопустимий, звичайно, з точки зору точності. Параметр доцільно вибирати з інтервалу [0,6; 0,9].

Список літератури: І. Бартиш М.Я., Сеньо П.С. О методе типа Рунге для решения нелинейных операторных уравнений. - ДАН УССР, сер. А, 1972, № 9. 2. Бартыш М.Я., Сеньо П.С. О методе Рунге решения нелинейных операторных уравнений третьего и четвертого порядка сходимости. - Вычислительная и прикладная математика, 1976, вып. 29. 3. Попов Ю.П., Самарская Е.А. О сходимости итерационного метода Ньютона для решения разностных уравнений газовой динамики. - ЖВММФ, 1977, № 2. 4. Попов Ю.П., Самарский А.А. О методах численного решения одномерных нестационарных задач газовой динамики. - ЖВММФ, 1976, № 6. 5. Самарский А.А., Попов Ю.П. Разностные схемы газовой динамики. - М.: Наука, 1975.

Стаття надійшла в редколегію 18.12.1979 р.

УДК 518:517.9:533.7

С.М.Шахно

ПРО ОДИН МЕТОД РОЗВ'ЯЗУВАННЯ РІЗНИЦЕВИХ
РІВНЯНЬ ГАЗОВОЇ ДИНАМИКИ

Для розв'язування задачі, яка розглядається у праці [2], вважаємо метод [1]

$$\begin{aligned} x_{n+1} &= x_n - [P'(\theta_n)]^{-1} P(x_n), \quad \theta_0 = x_0, \\ \theta_i &= x_i - \frac{1}{2} [P'(\theta_{i-1})]^{-1} P(x_i), \quad i \geq 1. \end{aligned} \quad (1)$$

Як відомо [1], метод (1) має порядок збіжності, що дорівнює $1 + \sqrt{2}$.

Для реалізації методу (1) на кожній ітерації необхідно розв'язати два триточкових рівняння $A_i y_{i-1} - C_i y_i + B_i y_{i+1} = F_i$,
 $i = 1, 2, \dots, N-1$ з одинаковими коефіцієнтами A_i, B_i, C_i і різними правими частинами F_i . Це можна здійснити методом прогонок. Легко переконатись, що тоді умова стійкості прогонок

виконується. Коефіцієнти методу прогонки α_i , обчислюються при цьому один раз.

Зауважимо, що коефіцієнти F_i^I , F_i^{II} первого та другого три точкового рівняння відрізняються лише дійкими спів множниками. Тому кількість обчислень при застосуванні методу /I/ майже та ж сама, що і для методу Ньютона. Однак швидкість збіжності методу /I/ вища, ніж у методі Ньютона. Порівняно з методом типу Рунге [2] метод /I/ вимагає менше обчислень на кожній ітерації. Проте збіжність дещо повільніша, ніж у методі Рунге.

Як і в праці [2], для розрахунків на ЕОМ розглядаємо класичну задачу про поршень, що всувається в газ з постійною швидкістю. Внаслідок руху поршня виникає ударна хвиля. Щоб зробити можливим наскрізний розрахунок, у різницеву схему вводили псевдов'язкість. Обчислення проводили з відносною точністю $\epsilon = 10^{-4}$ на ЕОМ М-222.

Одержані результати добре узгоджуються з точним, а також наближеннями розв'язками, отриманими методами Ньютона і Рунге. Як показали обчислення, метод /I/ дав змогу вести розрахунок з досить крупним кроком за часом, практично без обмежень. Тому при виборі кроку необхідно користуватися вимогами, які повинна задовільняти точність шуканого розв'язку. Щоб отримати розв'язок задачі в більшій точністі, необхідно крок τ вибирати меншим. Згідно з розрахунками, метод /I/ збігається з такою швидкістю, як і метод Рунге, при значенні параметра $\beta = 0.1$ [2]. Однак обчислень на кожній ітерації суттєво менше /на 25%, ніж у методі Рунге. Порівняно з методом Ньютона метод /I/ збігається за меншу кількість ітерацій і вимагає на 15% менше обчислень, тобто він ефективніший.

Список літератури: I. Бартіш М.Я. Про один ітераційний метод розв'язування функціональних рівнянь. - ДАН УРСР, серія А, 1968, № 5. 2. Сеньо П.С., Шахно С.М. Розв'язування різницевих рівнянь газової динаміки ітераційним методом типу Рунге. - У цьому ж Віснику.

Стаття надійшла в редколегію 16.09.1979 р.

Ю.М.Шербина

ПРО ОДИН РЕКУРСИВНИЙ ІТЕРАЦІЙНИЙ МЕТОД
ІЗ ЗБУРЕННЯМИ ДЛЯ ОПЕРАТОРНИХ РІВНЯНЬ

Розв'язування нелінійних операторних рівнянь, окрім нелінійних систем рівнянь з багатим невідомими, - важлива задача сучасної обчислювальної математики. Задачами, чисельний розв'язок яких зводиться до розв'язування нелінійних систем рівнянь з багатим невідомими, є двоточкові крайові задачі для звичайних диференціальних рівнянь, еліптичні крайові задачі, інтегральні рівняння, задачі мінімізації, двовимірні варіаційні задачі тощо.

Найчастіше для розв'язування нелінійних операторних рівнянь застосовують методи Ньютона-Весселяного типу. Фундаментальною працею з цього питання є стаття Л.В.Канторовича [3]. Користуючись запропонованою Л.В.Канторовичем методикою, досліджено інші методи такого типу, а також їх різницеві аналоги.

У переважній більшості праць, присвячених вивчення методів Ньютона-Весселяного типу, аналізується, як правило, класичні умови збіжності методів: вважається, що всі обчислення виконуються точно. Отримані оцінки швидкості збіжності, таким чином, є оцінками похибки методів, що розглядаються.

Широке застосування ЕОМ для розв'язування нелінійних задач вимагає як досліджень властивостей збіжності методів з урахуванням похибок округлення, так і побудови обчислювальних схем, що більш ефективні для реалізації на ЕОМ, ніж метод Ньютона.

При чисельній реалізації методів Ньютона-Весселяного типу на комп'ютері для визначення вектора поправки необхідно розв'язувати одне або у більш загальному випадку декілька лінійних операторних рівнянь. Важливо знати, наскільки стійкий алгоритм відносно як до випадкових похибок в обчислених, так і до прийомів, що полягають у заміні об-

Основні засоби розв'язування лінійних рівнянь, для нелінійної системи рівнянь з багатьма невідомими ці прийоми полягають у застосуванні методів розв'язування систем лінійних алгебраїчних рівнянь під час визначення вектора поправки. При розв'язуванні таких систем доцільно використовувати метод Гаусса з вибором головного елемента. Тоді значення вектора поправки отримують з деякою похибкою, яка зумовлена заокругленнями при виконанні арифметичних операцій на ЕОМ. У праці [4] показано, що розв'язок, обчислений методом Гаусса з вибором головного елемента, точно задоволяє систему рівнянь зі збуреною матрицею. Більше того, норма збурення не перевищує деякого числа, яке можна обчислити, і що його містить у ролі співмножника добуток одиничної похибки заокруглень на норму матриці системи. Оцінка норми збурення не залежить від правої частини лінійної системи.

У зв'язку з цим для дослідження властивостей збіжності обчислювальних методів доцільно розглядати варіанти алгоритмів із збуреннями [1]. Ми розглянемо рекурсивний метод, який можна отримати на основі теореми, сформульованої у праці [2].

Нехай дано нелінійне операторне рівняння

$$P(x) = 0, \quad /I/$$

де оператор P переводить елементи банахового простору X в елементи банахового простору Y . Надалі вважатимемо, що оператор

P у деякому околі розв'язку x^* рівняння /I/ має необхідну кількість обмежених похідних за Фреше і оператор $\Gamma(x) = [P'(x)]'$ єснусе обмежений.

Приймемо в теоремі I з праці [2].

$$\Omega(x) = x - \Gamma(x)P(x).$$

Нехай оператор $\Phi(x)$ породжує ітераційну формулу порядку φ .

Дих $H(x) = [P'(x - \Gamma(x)P(x))]^{-1}$ неважко дістати

$$\|[P'(\Phi(x_n))]^{-1} - [P'(x_n - \Gamma(x_n)P(x_n))]^{-1}\| = O(\|x_n - x^*\|^2).$$

Ось, за теоремою I із праці [2] порядок збіжності ітераційного методу, який породжується оператором

$$Q(x) = \varphi(x) - [P'(x - \Gamma(x) P(x))]^{-1} P(\varphi(x)), \quad /2/$$

дорівнює $q = \min \{2\gamma, \gamma + 2\}$.

Багаторазове застосування теореми I з праці [2] дає змогу на основі /2/ побудувати ефективний рекурсивний алгоритм.

Приймемо

$$A_j(x) = A_{j-1}(x) - [P'(x - \Gamma(x) P(x))]^{-1} P(A_{j-1}(x)), \quad /3/$$

де $j = 2, 3, \dots, t$;

$$A_t(x) = x - \frac{1}{2} \Gamma(x) P(x) - \frac{1}{2} [P'(x - \Gamma(x) P(x))]^{-1} P(x). \quad /4/$$

Послідовно вибиралчи у /2/ $\varphi(x) = A_K(x)$, $K = 1, 2, \dots, t-1$,

отримаємо, що порядок збіжності алгоритму

$$x_{n+1} = A_t(x_n) \quad /5/$$

дорівнює $3t + 2(t-1) = 2t + 1$.

Справді, порядок збіжності алгоритму, що породжується оператором /4/ дорівнює трьом, а кожне застосування /3/ збільшує порядок збіжності методу, що породжується оператором /3/, на два.

Важливою перевагою алгоритму /5/ порівняно з рекурсивними методами, поданими у праці [2], є те, що він використовує лише похідні першого порядку.

Порівняно з іншими відомими методами високого порядку збіжності алгоритм /5/ має і ту перевагу, що найбільш трудомісткі обчислення /наприклад, у випадку нелінійної системи рівнянь з багатьма невідомими – побудова матриці системи та LU -розділ [4]/ виконуються лише через декілька кроків. Більше того, як добре видно з /3/-/4/, ця матриця спільна зразу для декількох лінійних систем.

Точніше кажучи, необхідно виконувати побудову та LU -розділ [4] лише двох матриць: $P'(x)$ та $P'(x - \Gamma(x) P(x))$ через кожні t кроків при порядку збіжності $2t + 1$. Тут, природно, виникає питання про оптимальні значення параметра t /"глибина рекурсії"/. Очевидно,

це значення залежить від конкретного класу задач і може вибиратись на основі відомих критеріїв ефективності. Зрозуміло, що при розв'язуванні конкретної задачі значення t задається ваздалегідь. Воно визначає кількість кроків, протягом яких значення операторів $P'(x)$ та $P'(x - f(x)P(x))$ не обчислюються заново.

Розглянемо зараз, як похибки заокруглень при обчисленнях впливають на властивості збіжності алгоритму /5/. Далі вважатимемо, що у /I/ оператор P діє з простору R^N у простір R^N . Таким чином, /I/ – це нелінійна система N рівнянь з N невідомими. Замість обертання матриці Якобі розв'язуємо систему лінійних рівнянь – це значно вигідніше за кількістю операцій. Запишемо обчислювальну схему методу /5/, де верхній індекс – лічильник глибини рекурсії,

$d_n, x_n, P(x_n), u_n, z_n, f_n, S_n - N$ – вектори, $P'(x_n), P'(f_n)$ – $N \times N$ матриці /Якобі/:

$$\begin{aligned}
 & P'(x_n) d_n = P(x_n), \\
 & f_n = x_n - d_n, \\
 & P'(f_n) u_n = P(x_n), \\
 & z_n^{(0)} = x_n - \frac{1}{2}(d_n + u_n), \\
 & P'(f_n) S_n^{(j-1)} = P(z_n^{(j-1)}), \\
 & z_n^{(j)} = z_n^{(j-1)} - S_n^{(j-1)}, \quad j = 2, 3, \dots, t, \\
 & x_{n+1} = z_n^{(t)}, \quad n = 0, 1, 2, \dots
 \end{aligned} \tag{6}$$

Як бачимо, у схемі /6/ необхідно лише два рази побудувати матрицю Якобі та провести її LU – розклад. Це основні обчислення, обсяг решти обчислень незначний.

Згідно з працєю [4] наближений розв'язок лінійної системи на ЕСМ за допомогою гауссівського LU – розкладу еквівалентний точному розв'язку цієї системи зі збуреною матрицею. Тому для теоретичного дослідження алгоритму, показаного схемою /6/, перепишемо ІІ у вигляді:

$$(P'(x_n) + \tilde{V}(x_n))d_n = P(x_n),$$

$$f_n = x_n - d_n,$$

$$(P'(f_n) + V(x_n))u_n = P(x_n),$$

$$\varepsilon_n^{(0)} = x_n - \frac{1}{2}(d_n - u_n),$$

$$(P'(f_n) + V^{(j-1)}(x_n))S_n^{(j-1)} = P(t_n^{(j-1)}),$$

$$t_n^{(j)} = \varepsilon_n^{(j-1)} - S_n^{(j-1)}, \quad j = 2, 3, \dots, t,$$

$$x_{n+1} = \varepsilon_n^{(t)}, \quad n = 0, 1, 2, \dots$$

/7/

Застосувачи теорему I з праці [2], одержуємо, що в методі /5/ максимальна допустима похибка при розв'язуванні лінійних систем характеризується величиною

$$\|\tilde{V}(x_n)\| = O(\|x_n - x^*\|) = O(\|P(x_n)\|), \quad /8/$$

$$\|V(x_n)\| = O(\|x_n - x^*\|^2) = O(\|P(x_n)\|^2), \quad /9/$$

$$\|V^{(j-1)}(x_n)\| = O(\|x_n - x^*\|^2) = O(\|P(x_n)\|^2), \quad /10/$$

$$j = 2, 3, \dots, t; \quad n = 0, 1, 2, \dots$$

для забезпечення порядку збіжності $2t+1$. Це свідчить про добру стійкість рекурентних методів.

Якщо потрібна точність розв'язування лінійних систем на деяких ітераціях не досягається із-за властивостей матриці Якобі або ресурсів ЕОМ, то після методу Гаусса слід застосовувати процедуру ітераційного уточнення [4] розв'язку лінійної системи. Ця процедура не вимагає великої кількості операцій, а без неї використання алгоритму високого порядку збіжності може втратити зміст внаслідок істотного зменшення порядку збіжності.

Список літератури: І. Бартин М.Я., Шербина Ю.Н. Исследование условий сходимости и оценка полной погрешности одного итерационно-разностного метода для решения нелинейных операторных уравнений. – Вычислительная и прикладная математика, 1976, вып. 28.

2. Барткиш М.Я., Щербина Ю.Н. Итерационные формулы, получаемые с помощью рекурсии. - В.кн.: Математический сборник. Киев: Наукова думка, 1976. 3. Канторович Л.В., О методе Ньютона. Труды математического ин-та им. Стеклова, 1949, № 28. 4. Форсайт Дж., Молер К. Численное решение систем линейных алгебраических уравнений. - М.: Мир, 1969.

Стаття надійшла в редколегію 24.09.1979 р.

УДК 518.517.3

М.В.Жук

ДОСЛІДЖЕННЯ ШВИДКОСТІ ЗБІЖНОСТІ МЕТОДУ КАНТОРОВИЧА
ДЛЯ НЕЛІНІЙНИХ ІНТЕГРАЛЬНИХ РІВНЯНЬ

Відмемо інтегральне рівняння

$$u(x, y) = \iint_D K(x, y, \xi, \eta, u(\xi, \eta)) d\xi d\eta + f(x, y) \quad /I/$$

з неперервним ядром $K(x, y, \xi, \eta, u)$ і неперервним вільним членом $f(x, y)$, D - криволінійна область, обмежена по x прямими $x = a$ і $x = b$, а по y кривими $y = g(x)$ і $y = h(x)$.

Рівняння /I/ розглядамо як функціональне

$$u = Tu \quad /I'/$$

у просторі $E = L_2(D)$ із нормою

$$\|u\|^2 = \iint_D u^2(x, y) dx dy,$$

де T - нелінійний оператор вигляду

$$Tu = \iint_D K(x, y, \xi, \eta, u(\xi, \eta)) d\xi d\eta + f(x, y), \quad /2/$$

визначений на деякій множині $\Omega \subset E$.

Наближений розв'язок /I/ шукаємо у вигляді

$$u_n(x, y) = \sum_{k=1}^n G_k(x) \Psi_k(x, y), \quad /3/$$

де $\{\Psi_k(x, y)\}$ - лінійно незалежна повна ортонормована система функцій в області зміни y $[g(x), h(x)]$. Шукані коефіцієнти

$C_n(x) (n=1, 2, \dots, n)$ визначають в системі

$$\int\limits_{g(x)}^{h(x)} \left\{ u_n(x, y) - \iint_D K(x, y, \xi, \eta) u_n(\xi, \eta) d\xi d\eta - f(x, y) \right\} \varphi_m(x, y) dy = 0, \quad /4/ \\ m=1, 2, \dots, n,$$

що є системою не лінійних інтегральних рівнянь відносно шуканих функцій $C_n(x)$.

Позначимо через E_n множину функцій виду
 $g_n(x, y) = \sum_{k=1}^n L_k(x) \varphi_k(x, y)$, де $L_k(x)$ - довільні інтегровні з квадратом функції; E_n - замкнений підпростір у E . Введемо ортопроектор P_n , що проектує E на E_n :

$$P_n h(x, y) = \sum_{k=1}^n \left(\int\limits_{g(x)}^{h(x)} h(x, y) \varphi_k(x, y) dy \right) \cdot \varphi_k(x, y); h(x, y) \in E.$$

Тепер нелінійну систему інтегральних рівнянь /4/ можемо розвіглядати як функціональне рівняння у просторі E_n

$$u_n = P_n T u_n, \quad /4'/$$

де оператор $P_n T$ визначений на елементах $\chi_n(x, y) = \sum_{k=1}^n L_k(x) \varphi_k(x, y)$ із множини $\mathcal{L} E_n$.

Теорема. Нехай /1/ має розв'язок $u^*(x, y)$, а ядро рівняння $K(x, y, \xi, \eta)$ неперерване по супутності змінних в області $x \in D, y \in B, g(x) \leq y \leq h(x), g(y) \leq \eta \leq h(y), |u(\xi, \eta) - u^*(\xi, \eta)| < \delta/5/$ і вільний член $f(x, y)$ неперервний в області D .

Тоді справедливі наступні твердження:

a/ якщо розв'язок $u^*(x, y)$ - ненульового індексу існуєний у просторі $C(D)$, то при достатньо великих n /4/ має у сфері $|u - u^*| < \delta$, ($\delta = \delta \sqrt{\text{mes } D}$) хоча б один розв'язок $u_n(x, y)$ і всі такі розв'язки $u_n(x, y)$ прямувати за нормою при $n \rightarrow \infty$ до $u^*(x, y)$;

b/ коли ядро рівняння $K(x, y, \xi, \eta)$ має частинну похідну по u неперервану щодо супутності змінних в області /5/, а для лінійного однорідного інтегрального рівняння

$$K(x, v) = \iint K_0(x, v, y, z) h(y, z) dy dz,$$

$$\text{де } K_0(x, v, y, z) = \frac{\partial K(x, v, y, z, u^*(z, v))}{\partial u}.$$

Існує лише нульовий розв'язок, то при достатньо великих η рівняння /4'/ в сфері $\|u - u^*\| < \delta_2$ достатньо малого радіуса δ_1 має єдиний розв'язок u_n , причому справедлива оцінка збіжності

$$c_1 \|u^* - u_n^*\| \leq \|u^* - u_n\| \leq c_2 \|u^* - u_n^*\|, \quad /6/$$

де $u_n^* = P_n u^*$, $c_1, c_2 = \text{const} > 0$.

Доведення. Неперервність ядра $K(x, v, y, z, u)$ в області /5/ зумовлює повну неперервність оператора T на сфері \bar{E} ($\|u - u^*\| < \delta_1$). Звідси, враховуючи обмеженість операторів P_n та умову $\|u - P_n u\| \rightarrow 0$ при $n \rightarrow \infty$ для довільного $u \in E$, маємо

$$\sup_{u \in E} \|U_n u\| = \sup_{u \in E} \|(T - P_n T) u\| \rightarrow 0 \quad \text{при } n \rightarrow \infty. \quad /7/$$

А відомо ³, що індекс розв'язку $u^*(x, v)$ рівняння /1'/ один і той же у просторах E і C , а за припущенням він відмінний від нуля. Використовуючи теорему 19.4 /з уже цитованої праці/, отримуємо твердження а/.

Перейдемо тепер до твердження б/. Оскільки оператор T - неперервний, а $P_n \rightarrow I$ сильно, то

$$\|P_n T P_n u^* - T u^*\| \leq \|P_n T P_n u^* - T P_n u^*\| + \|T P_n u^* - T u^*\| \rightarrow 0. \quad /8/$$

при $n \rightarrow \infty$. Існування неперервної в області /5/ частинної похідної $\frac{\partial K(x, v, y, z, u)}{\partial u}$ зумовлює неперервну диференційованість T у сфері $\|u^* - u\| < \delta_1$. Тому виконується співвідношення

$$\|P_n T'(P_n u^*) - T'(u^*)\| \leq \|P_n T'(P_n u^*) - T(P_n u^*)\| + \|T(P_n u^*) - T'(u^*)\| \rightarrow 0 \quad /9/$$

при $n \rightarrow \infty$.

ЖКрасносельский М.А. Приближенное решение операторных уравнений. - М.: Наука, 1969.

Оскільки оператор $T'(u^*)h(x, \cdot) = \int T(x, y, t, \cdot)h(t, \cdot)dt$ цілком неперервний у \mathcal{E}_n , і рівняння $h = T'(u^*)h$ має за умову теореми лише кульовий розв'язок, то для оператора $I - T'(u^*)$ існує обмежений обернений, а також виконується нерівність

$$\|P_n T'(u) - P_n T'(P_n u^*)\| \leq \|T'(u) - T'(P_n u^*)\| \leq \varepsilon \quad /10/$$

для всіх $n > n_\varepsilon$, за умови $\|u - P_n u^*\| \leq \delta_\varepsilon$ при $u \in \Omega_n = \Omega \cap E_n$.

Використовуючи тепер теорему I9.1 наведеної праці, одержуємо, що знайдуться такі $n_0 \in \mathbb{N}$, коли при $n \geq n_0/4$ має в сфері $\|u - u^*\| \leq \delta_\varepsilon$ єдиний розв'язок $u_n(x, y)$. Із теореми I9.2 цієї ж праці випливає оцінка швидкості збіжності /6/.

Теорема доведена.

Стаття надійшла в редколегію 12.12.1979 р.

УДК 519.21

І.М.Дудзяний, С.В.Москвяк

ВИЗНАЧЕННЯ ПАРАМЕТРІВ РОЗПОДІЛУ ДЕЯКИХ ПРОЦЕСІВ ГУЙНУВАННЯ

У дослідженні тривалості активної праці виробів важливе місце належить функції розподілу ймовірностей [2].

$$H(t, \alpha, \beta, \alpha', \beta') = \frac{\alpha'(\beta')^\beta}{\Gamma(\beta)} \int_0^t e^{-\alpha t} t^{\beta'-1} dt, \quad t > 0, (\alpha > 0, \beta > 0, \alpha' > 0, \beta' > 0), \quad /1/$$

де α' і α - параметри масштабу; β і β' - параметри форми.

При $\alpha = \beta = 1$ дістаємо функцію гамма-розподілу

$$F(t, \alpha, \beta) = \frac{\alpha^\beta}{\Gamma(\beta)} \int_0^t e^{-\alpha t} t^{\beta-1} dt, \quad t > 0, (\alpha > 0, \beta > 0), \quad /2/$$

а при $\alpha = \beta = 1$ - функцію розподілу Вейбула

$$G(t, \alpha, \beta) = 1 - e^{-\left(\frac{t}{\alpha}\right)^\beta}, \quad t > 0, (\alpha > 0, \beta > 0). \quad /3/$$

Розподіл /1/ описує широкий клас руйнування виробів: від крихкого /2/ до руйнування зі значною деформацією /3/. Відзначимо, що априорі не важли відомо, якого типу руйнування відбувається у конкретному випадку. Як правило, відема лише статистична інформація про руйнування, на основі якої необхідно визначити сам закон розподілу, а також параметри цього розподілу.

Коли априорі вважати, що руйнування підпорядковується одному з двох законів розподілу /2/ або /3/, то чотирипараметричний розподіл /1/ можна використати для визначення цих двопараметричних законів розподілу.

На основі відомих властивостей функції розподілу

$$\begin{aligned} H(0, \alpha, \beta, \alpha, \beta) &= 0, \\ H(\infty, \alpha, \beta, \alpha, \beta) &= 1 \end{aligned} \quad /4/$$

функцію /1/ легко звести до трипараметричної функції розподілу

$$h(t, \alpha, \beta, \rho) = \frac{(t)^{\beta}}{\Gamma(\beta)} \int e^{-\tau} \tau^{\alpha-1} d\tau, t > 0, (\alpha > 0, \beta > 0, \rho > 0). \quad /5/$$

Згідно з методом моментів для визначення параметрів α, β у розподілі /5/ отримуємо систему нелінійних рівнянь

$$h(t_i, \alpha, \beta, \rho) = \frac{k_i - \alpha i}{N + 0.4}, \quad i = 1, 2, 3, \quad /6/$$

де t_i – час виходу із ладу k_i деталей /зразків/ в N умовах для спостереження.

При розв'язуванні нелінійної системи /6/ на ЕОМ одержуємо наближені результати. Тому співвідношення

$$\begin{aligned} h(0, \alpha, \beta, \rho) &= 0, \\ h(\infty, \alpha, \beta, \rho) &= 1 \end{aligned} \quad /7/$$

на ЕОМ можуть практично і не виконуватись.

У зв'язку з цим пропонуємо розв'язок системи рівнянь /6/, /7/ замінити знаходженням мінімуму функціоналу

$$J(\alpha, \delta, \beta) = \sum_{i=1}^N (h(t_i, \alpha, \delta, \beta) - \frac{y_i - 0.3}{N+0.4})^2, \quad /8/$$

де t_i - час виходу із ладу всіх N деталей.

Для визначення тих значень параметрів α, δ, β , за яких функціонал /8/ досягає свого мінімуму, використовуємо градієнтний метод [I]. Тоді всі параметри отримують приrostи таким чином, щоб результируючий рух у параметричному просторі відбувався вздовж антиградієнта.

Метод мінімізації функціоналу /8/ для знаходження параметрів α, δ, β реалізовано у підпрограмі *GRADLS* /Фортран-4/. Оператор початкового рядка

SUBROUTINE GRADLS (X, Y, SIG, NP, NT, M, A, DA, YF, CN)/9/

де X - масив незалежних змінних t_i , $i = 1, \overline{NP}$; Y - масив відповідних значень емпіричної функції розподілу

$$H_{\text{емп}}(t_i) = \frac{K_i - 0.3}{N + 0.4}, \quad i = 1, \overline{NP}. \quad /10/$$

Масив A розмірності NT містить початкові значення параметрів, а масив DA - їхні приrostи. На основі експериментальної перевірки, на ЕСМ виявлено, що всі елементи масиву A достатньо прийняти на початку рівними одиниці, а елементи DA - 0,05. YF - масив значень функції /5/, а саме

$$YF(i) = h(t_i), \quad i = 1, \overline{NP}. \quad /11/$$

Параметрам M і SIG при виклику підпрограми необхідно відповідно присвоїти 0 і 1.

На виході масив A дас значення шуканих параметрів, при яких функціонал /8/ досягає мінімуму; CN - абсолютне значення цього мінімуму.

На основі проведених експериментів для найбільш "доброї" наближення емпіричної функції розподілу /10/ за допомогою функції

результату /5/ час t_i - додільно вибирати таким, щоб

$$\frac{K_1 - 0,3}{N + 0,4} \approx 0,25; \quad \frac{K_2 - 0,3}{N + 0,4} \approx 0,5; \quad \frac{K_3 - 0,3}{N + 0,4} \approx 0,75. \quad /12/$$

Якщо параметри α, β трипараметричної функції розподілу /5/ знайдені, то легко визначити, який вид руйнування /2/ або /3/ наявний при даному статистичному матеріалі. Коли $\beta = 1$, то маємо розподіл Вейбула, а при $\beta = 1$ - функцію гамма-розподілу.

За умови, що $\beta \neq 1$ не дають змоги оцінити вид руйнування, необхідно провести додаткові статистичні дослідження.

Для визначення параметрів α, β гамма-розподілу, або α, θ розподілу Вейбула скористаємося мінімізацією відповідних функціоналів

$$\Delta e_1^2(\alpha, \beta) = \sum_{i=1}^n (F(t_i, \alpha, \beta) - N_{emp}(t_i))^2, \quad /13/$$

або

$$\Delta e_2^2(\alpha, \theta) = \sum_{i=1}^n (G(t_i, \alpha, \theta) - N_{emp}(t_i))^2. \quad /14/$$

У цьому випадку для задання початкових значень параметрів /елементи масиву A/ можна скористатися значеннями знайдених параметрів α, θ, β розподілу /5/.

Запропонованя методика знаходження параметрів розподілу процесів руйнування дає змогу удосконалити інженерні способи обробки статистичної інформації про надійність виробів машинобудування з відповідним рівнем вимогливості до їхньої достовірності.

Список літератури: 1. Васильев Ф.Т. Лекции по методам решения экстремальных задач. - М.: Изд-во Москов. ун-та, 1974.
2. Квіт І.Д., Москвяк Є.В. Розподіли деяких процесів руйнування. - Вісн. Дніпр. ун-ту, сер. мех.-мат., 1979 вип. 15.

Стаття надійшла в редколегію 14.09.1979 р.

А.Ф.Барвінський, І.М.Лудзаній

ПРО ВЛАСНІ КОЛІВАННЯ В СИСТЕМАХ З РОЗПОДІЛЕНИМИ
ПАРАМЕТРАМИ, що описуються одним НЕЛІНІЙНИМ РІВНЯННЯМ
З ЧАСТИННИМИ ПОХІДНИМИ ДРУГОГО ПОРЯДКУ

Розглянемо диференціальне рівняння з частинними похідними другого порядку вигляду:

$$\alpha(\tau) \frac{d^2 u}{dx^2} + \beta(\tau) \frac{d^2 u}{dt^2} + \gamma(\tau) \frac{d^2 u}{dt^2} = \varepsilon F(x, u, \frac{du}{dx}, \frac{du}{dt}, \frac{d^2 u}{dx^2}), /1/$$

де ε - малий параметр; $\tau = \varepsilon t$ - "повільний час"; $\alpha(\tau), \beta(\tau), \gamma(\tau)$ - повільно змінні коефіцієнти, що задоволяють умову гіперболічності [7] для відповідного однорідного $\varepsilon = 0$ рівняння

$$\beta''(\tau) - 4\alpha(\tau)\gamma(\tau) > 0; /2/$$

$F(x, u, \frac{du}{dx}, \frac{du}{dt}, \frac{d^2 u}{dx^2})$ - відома нелінійна функція своїх аргументів.

Віданачимо, що прийнявши $\varepsilon = 0$, в рівняння /1/ одержуємо:

a/ при

$$\alpha = \frac{\varepsilon}{\beta} - V_0^2; \quad \beta = 2V_0; \quad \gamma = -1, /3/$$

де E - модуль пружності; ρ - маса одиниці об'єму, лінійне диференціальне рівняння поздовжніх коливань стрічки, яка переміщається зі сталою швидкістю V_0 вздовж своєї осі [8];

b/ при

$$\alpha = \frac{T_0}{\rho} - V_0^2; \quad \beta = -2V_0; \quad \gamma = -1, /4/$$

де T_0 - початковий натяг струни, лінійне диференціальне рівняння поперечних коливань струни, яка рухається зі сталою швидкістю K_0 вздовж своєї осі [9];

c/ при

$$\alpha = \frac{T_0 - \rho f_0 \cdot m_1 V_0^2}{m_1 + m_2}; \quad \beta = \frac{-2V_0 m_1}{m_1 + m_2}; \quad \gamma = -1, /5/$$

де T_0 - натяг шланга; m_1 - маса одиниці довжини шланга; m_2 - ма-

са рідини, що припадає на одиницю довжини шланга; F_0 - сила внутрішнього перерізу шланга; ν - тиск в рідині на ділянці коливань, лінійне диференціальне рівняння поперечних коливань вертикального гнуучкого шланга, по якому він стає швидкістю u_0 тече ідеальна нестислива рідина [6].

Задача про коливання згаданих механічних систем із врахуванням геометричної і фізичної нелінійностей, а також повільної зміни параметрів коливань систем, зводиться до дослідження розв'язку межової задачі для нелінійного рівняння /I/.

Враховуючи наявність малого параметра, при побудові розв'язку слабонелінійного диференціального рівняння /I/ використаємо асимптотичний метод нелінійної механіки. При цьому досліджуємо коливання, близькі до коливань у κ -ї формі динамічної рівноваги незбуреної системи.

Функцію переміщень $u(x, t)$ подамо у вигляді асимптотичного ряду

$$u(x, t) = \alpha [f_{1\kappa}(x) \cos \varphi_\kappa + f_{2\kappa} \sin \varphi_\kappa] + \varepsilon u_{1\kappa}(x, t, \alpha, \varphi_\kappa) + \varepsilon^2 \dots, \quad /6/$$

де $f_{1\kappa}(x) \cos \varphi_\kappa + f_{2\kappa} \sin \varphi_\kappa$ - розв'язок відповідної незбуреної / $\varepsilon=0$ / межової задачі для /I/; α і φ_κ - амплітуда і фаза, які визначають із системи рівнянь

$$\begin{aligned} \frac{da}{dt} &= \varepsilon A_{1\kappa}(t, \alpha) + \varepsilon^2 \dots; \\ \frac{d\varphi_\kappa}{dt} &= \omega_\kappa(t) + \varepsilon B_{1\kappa}(t, \alpha) + \varepsilon^2 \dots, \end{aligned} \quad /7/$$

де $u_{1\kappa}(x, t, \alpha, \varphi_\kappa)$ - невідомі; 2κ - періодичні по φ_κ функції.

Тепер необхідно знайти функції

$$u_{1\kappa}(x, t, \alpha, \varphi_\kappa), \dots; A_{1\kappa}(t, \alpha), \dots; B_{1\kappa}(t, \alpha), \dots \quad /8/$$

таким чином, щоб вираз /6/, в який замість α і φ підставимо функції часу, що визначаються спiввiдношеннями /7/, задовільняв вихідне рівняння /I/.

Для однозначності визначення /3/, за функції $u_{ik}(x, t, \alpha, \psi_k)$ і
накладаються додаткові умови відсутності у них головних гармонік (1)

$$\int_0^{2\pi} u_{ik}(x, t, \alpha, \psi_k) \cos \psi_k d\psi_k = 0; \int_0^{2\pi} u_{ik}(x, t, \alpha, \psi_k) \sin \psi_k d\psi_k = 0. \quad /3/$$

Підставляючи /6/, /7/ у /1/ і прирівнюючи коефіцієнти при однакових степенях ϵ , отримуємо

$$\omega(\tau) \frac{d^2 \varphi_{1k}}{dx^2} + \beta(\tau) \omega_k(\tau) \frac{d \varphi_{1k}}{dx} - \gamma(\tau) \omega_k^2(\tau) \varphi_{1k}(x) = 0,$$

$$\omega(\tau) \frac{d^2 \varphi_{2k}}{dx^2} + \beta(\tau) \omega_k(\tau) \frac{d \varphi_{2k}}{dx} - \gamma(\tau) \omega_k^2(\tau) \varphi_{2k}(x) = 0. \quad /10/$$

$$\omega(\tau) \frac{\partial^2 u_{ik}}{\partial x^2} + \beta(\tau) \omega_k(\tau) \frac{\partial^2 u_{ik}}{\partial x \partial \psi_k} + \gamma(\tau) \omega_k^2(\tau) \frac{\partial^2 u_{ik}}{\partial \psi_k^2}$$

$$= f_{ik}(\epsilon, x, \alpha, \psi_k) - \left\{ \beta(\tau) [A_{ik} \frac{d \varphi_{1k}}{dx} + \alpha B_{ik} \frac{d \varphi_{2k}}{dx}] + \right.$$

$$+ \gamma(\tau) [2 \omega_k(\tau) A_{ik} \varphi_{2k}(x) - 2 \alpha \omega_k(\tau) B_{ik} \varphi_{1k}(x) +$$

$$+ \alpha \frac{d \omega_k}{d \tau} \varphi_{2k}(x)] \} \cos \psi_k - \left\{ \beta(\tau) [A_{ik} \frac{\partial \varphi_{2k}}{\partial x} \right. \quad /11/$$

$$- \alpha B_{ik} \frac{d \varphi_{1k}}{dx}] - \gamma(\tau) [2 \omega_k(x) A_{ik} \varphi_{1k}(x) +$$

$$+ 2 \alpha \omega_k(\tau) B_{ik} \varphi_{1k}(x) + \alpha \frac{d \omega_k}{d \tau} \varphi_{1k}(x)] \} \sin \psi_k,$$

.....

де $f_{ik}(\epsilon, x, \alpha, \psi_k), \dots$ – коефіцієнти розкладу функції

$\epsilon F(\epsilon, x, u, \frac{\partial u}{\partial x}, \frac{\partial u}{\partial t}, \frac{\partial^2 u}{\partial t^2})$ в асимптотичний ряд виду:

$$\epsilon F(\epsilon, \dots, \frac{\partial^2 u}{\partial t^2}) = \epsilon f_{ik}(\epsilon, x, \alpha, \psi_k) + \epsilon^2 \dots \quad /12/$$

Розв'язуючи систему звичайних диференціальних рівнянь /10/ з врахуванням межових умов конкретної задачі, знаходимо функції

$\varphi_{1k}(x), \varphi_{2k}(x)$ і $\omega_k(\tau)$.

підприєм, для яких ці межові умови відповідають

$$f_m(x) = \sin K\pi \frac{x}{l} \cos [K\pi \frac{m+n}{m-n} (1 - \frac{x}{l})]; \quad /13/$$

$$\varphi_{mn}(x) = \sin K\pi \frac{x}{l} \sin [K\pi \frac{m+n}{m-n} (1 - \frac{x}{l})];$$

$$\omega_n(\tau) = \frac{2K\pi}{(m-n)l}, \quad (n=1, 2, \dots), \quad /14/$$

де l — довжина розглядуваної ділянки коливань;

$$\mu_1 = \frac{\beta(\tau) + \sqrt{\beta^2(\tau) - 4\alpha(\tau)\delta(\tau)}}{2\alpha(\tau)}, \quad \mu_2 = \frac{\beta(\tau) - \sqrt{\beta^2(\tau) - 4\alpha(\tau)\delta(\tau)}}{2\alpha(\tau)}.$$

Із неоднорідного диференціального рівняння /II/ знаходимо розв'язок задачі у першому наближенні.

Існує така теорема.

Теорема. Нехай $u(x, \tau, \alpha, \psi)$ — неперервна разом зі своїми частинними похідними по x і ψ до другого порядку включно $2K$ — періодична по ψ функція, що задовільняє умови вигляду /9/, а $\varphi_{mn}(x)$ і $\varphi_{mn}(x)$ — розв'язки системи /10/. Тоді наявні співвідношення

$$\int_0^{2K} \int_0^l \left[\alpha(\tau) \frac{\partial^2 u}{\partial x^2} + \beta(\tau) \omega(\tau) \frac{\partial^2 u}{\partial x \partial \psi} + \right. \\ \left. + \delta(\tau) \omega(\tau) \frac{\partial^2 u}{\partial \psi^2} \right] \left\{ \begin{array}{l} [\varphi_{mn}(x) \cos \psi + \varphi_{mn}(x) \sin \psi] \\ [\varphi_{mn}(x) \sin \psi - \varphi_{mn}(x) \cos \psi] \end{array} \right\} dx d\psi = 0. \quad /15/$$

Справедливість теореми доводиться легко інтегруванням по частинках.

Використовуючи рівності /15/, з диференціального рівняння /II/ визначаємо $A_{mn}(\tau, \alpha)$ і $B_{mn}(\tau, \alpha)$, що дає змогу первісне наближення асимптотичного розв'язку рівняння /I/ записати у вигляді:

$$u_I(x, t) = \alpha [\varphi_{mn}(x) \cos \psi + \varphi_{mn}(x) \sin \psi], \quad /16/$$

де амплітуда α і фаза ψ визначаються в системі диференціальних рівнянь

$$\frac{d\alpha}{dt} = \frac{M(\tau) \varphi_{mn}(\tau, \alpha) + N(\tau) [\varphi_{mn}'(\tau, \alpha) + \alpha \frac{d\varphi_{mn}}{dt} \rho(\tau)]}{M^2(\tau) + N^2(\tau)}, \quad /17/$$

$$\frac{dy}{dt} = \omega(\tau) + \frac{N(\tau)\varphi_1(\varepsilon, \alpha) - M(\tau)[\varphi_2(\varepsilon, \alpha) + \alpha \frac{\partial \varphi}{\partial \tau} P(\varepsilon)]}{\alpha [M^2(\tau) + N^2(\varepsilon)]},$$

в яких

$$M(\varepsilon) = \beta(\varepsilon) \int_0^L \left[\frac{dy}{dx} \varphi_1(x) + \varphi_2(x) \frac{\partial \varphi}{\partial x} \right] dx;$$

$$N(\varepsilon) = \beta(\varepsilon) \int_0^L \left[\varphi_1(x) \frac{dy}{dx} - \varphi_2(x) \frac{\partial y}{\partial x} \right] dx - 2\omega(\tau)P(\varepsilon);$$

$$P(\varepsilon) = \Gamma(\varepsilon) \int_0^L [\varphi_1^2(x) + \varphi_2^2(x)] dx;$$

$$\varphi_1(\varepsilon, \alpha) = \frac{1}{K} \iint_0^{2\pi} f_1(\varepsilon, x, \alpha, \psi) [\varphi_1(x) \cos \psi + \varphi_2(x) \sin \psi] dx d\psi;$$

$$\varphi_2(\varepsilon, \alpha) = \frac{1}{K} \iint_0^{2\pi} f_2(\varepsilon, x, \alpha, \psi) [\varphi_1(x) \sin \psi - \varphi_2(x) \cos \psi] dx d\psi.$$

У формулах /I6/, /I7/ і далі індекс K опускаємо. Можна показати, що для нульових межових умов $M(\tau) = 0$ і система диференціальних рівнянь /I7/ набуде більш простого вигляду.

Відзначимо, що побудову вищих наближень, які значно ускладнюють розрахунок, можна вважати недоцільною, оскільки результати [8, 9] свідчать про високу точність першого наближення.

Приклад. Розглянемо вільні лінійні коливання струни, що рухається зі сталою швидкістю V_0 у повзучому напрямку [4].

Коефіцієнти рівняння /I/ у цьому випадку матимуть вигляд /4/, а функція

$$\varepsilon F(\tau, \dots, \frac{\partial^4 u}{\partial x^4}) = G \frac{\partial^2 u}{\partial x^2} \left(\frac{\partial u}{\partial x} \right)^2, \quad /I8/$$

де $\delta = \frac{3}{2\rho} (T_0 - EA_0)$; A_0 – площа поперечного перерізу струни.

Для нульових межових умов зі співвідношення /I7/ з врахуванням /I3, /I4/ і /I8/ отримуємо

$$\frac{da}{dt} = 0; \quad \frac{d\psi}{dt} = \omega + \Delta \omega(\alpha), \quad /I9/$$

де ω – власна частота лінійних коливань рухомої струни, що визначається формулой /I4/.

$$\Delta\omega(\alpha) = \frac{\omega_1(\varepsilon, \alpha)}{\alpha N} = \frac{1}{12B(\frac{1}{2}\beta(\varepsilon) + L\gamma(\varepsilon) + \omega(\varepsilon))} \times$$

$$+ \left[-\alpha^2 \delta l (-C^4 + 6CD - 6C^2D^2 - 2CD^2B^2) + \frac{\alpha^2 l(m-n)^2 (8C^4)}{8K} + \frac{D^4}{n(3n+m)} + \right.$$

$$\left. + \frac{8C^4 D}{(3m+n)(n+m)} + \frac{8C^2 D^2 (m-n)}{(3n+m)(3m+n)(n+m)} - \frac{4CD^3}{(m+n)(3n+m)} \right],$$

$$B = \frac{KK(m-n)}{m-n}; \quad C = A + \frac{q}{l}; \quad D = A - \frac{q}{l}; \quad A = \frac{KL}{l};$$

$$A = \frac{I_2}{l} - K_0^2; \quad B = -2\% ; \quad l = -1.$$

Як і слід було чекати, амплітуда коливань стала, оскільки ми розглядаємо геометричну нелінійність.

З другої рівності /19/ записуємо вираз для власної частоти нелінійних коливань у першому наближенні:

$$\omega_f(\alpha) = \omega + \Delta\omega(\alpha). \quad /20/$$

Використовуючи формулу /20/, можна дослідити вплив сталої швидкості руху на частоти власних нелінійних коливань струни.

Викладена методика дослідження значно ефективніша ніж методика праці [4].

Список літератури: Г. Боголюбов Н.Н., Митро-
польський Д.А. Асимптотические методы в теории нелинейных колебаний. - М.: Наука, 1974, 501 с. 2. Калинник Н.И., Бар-
зинский А.Ф. Нелинейные продольные колебания подвижного стержня с учетом несовершенной упругости материала. - Вестн. Львов. по-
литехн. ин-та, Доклады и научные сообщения, 1976, № 6. 3. Митро-
польский Д.А., Мусеенков Б.И. Асимптотические реше-
ния уравнений в частных производных. - Киев: Вища школа, Изд-во
Киев. ун-та, 1976. 4. Моут Мн. О колебаниях струны,
движущейся в продольном направлении. - Примладная механика, 1966,
т.33, № 2. 5. Пирарено Г.С. Колебания механических систем
с учетом несовершенной упругости материала. - К.: Наукова думка,
1970. 6. Светличный В.А., Счастенко И.В. Сборник
задач по теории колебаний. - М.: Высшая школа, 1973. 7. Собо-
лев С.Л. Уравнения математической физики. - М.: Наука, 1956.

8. Тармен, Мутт Мд. Свободные периодические колебания полосы, движущейся в осевом направлении. – Прикладная механика, 1969, т.36, № 1. 9. *Sketch R. Weber die Bewegung eines gespannten Fadens.* – *Ranzen der Physik und Chemie*, 1997, vol 61.

Стаття надійшла в редакцію 20.12.1979 р.

УДК 518.517.948

Б.А.Остудін, Р.М.Пасічник, Т.Т.Романік
ПРО НАБІЖЕНИЙ РОЗВ'ЯЗОК ДЕЯТИХ ДВОМІРНИХ
ІНТЕГРАЛЬНИХ РІВНЯНЬ ФРЕДГОЛЪМА ПЕРШОГО РОДУ

Визначення електростатичного поля, створеного у просторі за-
рядженими поверхнями складної конфігурації, зводиться до знаходження
розподілу по них зарядів. Остання задача, як відомо [3], формулю-
ється у вигляді інтегрального рівняння Фредгольма першого роду

$$\iint \sigma^*(Q) / R(M, Q) dS_Q = U^*(M), \quad /I/$$

де $\sigma^*(Q)$ – шукана густина розподілу заряду по поверхні S ;
 $R(M, Q)$ – відстань між точкою інтегрування та деякою контрольною
точкою $M \in S$; $U^*(M)$ – заданий потенціал на S . У випадку
декількох заряджених поверхонь інтеграл в /I/ вважається сумою інте-
гралів по відповідних поверхнях.

Розглянемо випадок, коли зарядженою поверхнею є частина біч-
ної поверхні еліптичного циліндра, розташованого довільним чином у
просторі. Параметричне зображення цієї поверхні відоме і має такий
вигляд:

$$\begin{cases} x(u, v) = a \cos u \cos v - b \sin u \sin v + x^*, \\ y(u, v) = a \sin u \cos v + b \sin u \sin v + y^*, \\ z(u, v) = b \sin u \sin v + v \cos v + z^*, \end{cases} \quad /2/$$

$$(u, v) \in \Delta = [u_1, u_2] \times [v_1, v_2],$$

де β і γ - кути повороту локальної системи координат, зв'язаної з циліндром, відносно основної XUZ ; x^*, y^*, z^* - координати початку локальної системи.

Враховуючи /2/, перетворимо /1/ до вигляду

$$\iint_{\Delta} \sigma(u, v) Q^{(0)}(u, v) du dv = U(u_0, v_0), (u_0, v_0) \in \Delta, \quad /3/$$

де

$$Q^{(0)}(u, v) = P(u) [(u - u_0)^2 T(u, u_0) + (v - v_0)^2]^{-\frac{1}{2}}, \quad /4/$$

причому

$$P(u) = (\alpha^2 \sin^2 u + \beta^2 \cos^2 u)^{\frac{1}{2}},$$

$$T(u, u_0) = \frac{\sin^2 \frac{u-u_0}{2}}{\left(\frac{u-u_0}{2}\right)^2} \times [\alpha^2 \sin^2 \frac{u+u_0}{2} + \beta^2 \cos^2 \frac{u+u_0}{2}].$$

Двомірне рівняння /3/ - першого роду, тому для його наближено-го розв'язку можна використати метод регуляризації [2], чисельна реалізація якого в загальному випадку пов'язана з певними обчислювальними труднощами. Наявність зосередженості в ядрі рівняння /3/, а також апріорна інформація про характер поведінки шуканої функції дають змогу окористатися більш простим методом само-регуляризації [1]. Таким чином, властивість ядра, а також апріорне припущення про те, що функція

$$\Omega(u, v) \sigma(u, v) = G(u, v)(u - u_0)^{n_1}(u_2 - u)^{n_2}(v - v_0)^{m_1}(v_2 - v)^{m_2}, \quad /5/$$

$$0 < n_1, n_2, m_1, m_2 \leq 0,5$$

мало зміниться в області $\Omega_0 = \{(u, v) : |u - u_0| \leq \Delta_1, |v - v_0| \leq \Delta_2\}$ при достатньо малих Δ_1 і Δ_2 , діє змогу перетворити /3/ до рівняння другого роду.

Запишемо ядро інтегрального рівняння /3/ у вигляді суми

$$G^{(0)}(u, v) = N(u, v) + G(u, v), \quad /6/$$

де

$$N(u, v) = \begin{cases} \frac{\rho(u)(\Delta_1 - |u - u_0|)(\Delta_2 - |v - v_0|)}{\Delta_1 \Delta_2 \sqrt{(u - u_0)^2 + (v - v_0)^2}} & , (u, v) \in S_0 \\ 0, & (u, v) \notin S_0, \end{cases}$$

$$G(u, v) = \begin{cases} \frac{\rho(u)(\Delta_1 |u - u_0| + \Delta_2 |u - u_0| - |u - u_0| |v - v_0|)}{\Delta_1 \Delta_2 \sqrt{(u - u_0)^2 + (v - v_0)^2}} & , (u, v) \in S_0 \\ \frac{1}{\sqrt{(u - u_0)^2 + (v - v_0)^2}} & , (u, v) \notin S_0. \end{cases}$$

Підставляючи /6/ у /3/ і враховуючи /5/, отримуємо

$$\Theta(u_0, v_0) = (u_0, v_0) L(u_0, v_0) + \iint_{\Delta} G(u, v) G(u, v) dudv = U(u_0, v_0), \quad /7/$$

де

$$L(u_0, v_0) = \frac{1}{\Delta_1 \Delta_2} \iint_{S_0} \frac{\rho(u)(\Delta_1 - |u - u_0|)(\Delta_2 - |v - v_0|)}{\Omega(u, v) \sqrt{(u - u_0)^2 + (v - v_0)^2}} dudv. \quad /8/$$

Отже, маємо рівняння другого роду. При обчисленні інтеграла /8/ виникають труднощі, пов'язані з особливістю підінтегральної функції у точці (u_0, v_0) , і при наближенні точки інтегрування до межі області Δ . Для послаблення першої з них запишемо /8/ наступним чином:

$$L(u_0, v_0) = \frac{1}{\Delta_1 \Delta_2 \Omega(u_0, v_0)} \left\{ \iint_{S_0} \frac{\rho(u, v)}{\Omega(u, v)} Q^{(n)}(u, v) dudv + \right. \quad /9/$$

$$\left. + \iint_{S_0} Q^{(n)}(u, v) dudv \right\},$$

де

$$R(u, v) = (\Delta_1 - |u - u_0|)(\Delta_2 - |v - v_0|) \Omega(u, v) - \Delta_1 \Delta_2 \Omega(u, v).$$

Коли $u \rightarrow u_0, v \rightarrow v_0$, то вираз $\frac{P(u,v)}{Q(u,v)} Q^{(k)}(u,v)$ набуває скінченного значення, і для обчислення першого інтеграла у /9/ можна застосувати кубатурні формулі. Щоб усунути другу особливість, використовуємо спеціальну заміну змінних.

Другий інтеграл у /9/ перетворимо до такого, що береться аналітично. Для цього від інтегрування по параметру u перейдемо до інтегрування по l , яке інтерпретується як довжина дуги еліпса, що відраховується від деякого початкового положення значення u_0 . Нехай l_0 - довжина дуги, що визначається u_0 . Добре видно, що у термінах l

$$P(u) du = dl,$$

$$\text{а для } (u,v) \in \mathcal{S}_0 \quad (u-u_0)^2 T(u,u_0) + (v-v_0)^2 = (l-l_0)^2 + (v-v_0)^2.$$

І другий інтеграл у /9/ можна записати як

$$\iint_{\mathcal{S}_0} \frac{dl \, dv}{[(l-l_0)^2 + (v-v_0)^2]^{1/2}}.$$

Одержанний інтеграл беремо аналітично.

Інтегральне рівняння Фредгольма другого роду розв'язуємо методом колонізації з використанням білінійної апроксимації шуканої густини.

Точність отриманого розв'язку оцінюємо апостеріорно. Визначивши густину розподілу зарядів, знаходимо значення потенціалу в точках поверхні, які не збігаються з контрольними. Згідно з принципом екстремума за відхиленням одержаних значень від заданих на поверхні \mathcal{S} можна оцінити максимальну похибку розв'язку вихідного інтегрального рівняння.

Описана методика реалізована у вигляді комплексу прикладних програм, записаних алгоритмічною мовою Фортран-IV. Шляхом обчислювального експерименту виявлено, що Δ_1 і Δ_2 є параметрами регуляризації, оптимальний вибір яких суттєво впливає на точність розв'язку задачі.

На закінчення наведем результати розрахунку поля, утвореного обичною поверхнею круглого циліндра з довжиною твірної $l = 1$ і радіусом $0,15$ ($\nu_1 = \nu_2 = 0,5$). Границе значення на поверхні дорівнюють одиниці. Оптимальні значення параметрів $\Delta_1 = 0,27$, $\Delta_2 = 0,04$. Порядок розв'язуваної системи лінійних алгебраїчних рівнянь 64. Особлива відносна похибка розв'язку не перевищувала 1%. Ниже наводимо значення потенціалу по осі циліндра:

ν	потенціал по осі	ν	потенціал по осі
0,00	1,000	0,30	0,990
0,05	1,000	0,35	0,979
0,10	0,999	0,40	0,958
0,15	0,999	0,45	0,918
0,20	0,998	0,50	0,855
0,25	0,995		

Список літератури: 1. Дмитров В.И., Захаров Е.В. О численном решении некоторых интегральных уравнений Фредгольма I-го рода. - Вычислительные методы и программирование, 1968, вып. 10. 2. Тихонов А.Н., Арсеник В.Я. Методы решения некорректных задач. - М.: Наука, 1974. 3. Тозони О.В., Маергойз И.Д. Расчет трехмерных электромагнитных полей. - Киев: Техника, 1974.

Стаття надійшла в редакцію 10.03.1980 р.

Марія Д. Маргленко, Михаїло Д. Маргленко, Й. Г. Нинка

ПРО ОДНЕ УЗАГАЛЬНЕННЯ ТЕОРЕМИ ШІМОРТА

НА ВИПАДКУ БІГАРМОНІЧНИХ ПОТЕНЦІАЛІВ

Шімдт [2] досліджив можливість аналітичного продовження гармонічних потенціалів через поверхню шару і довів, що у випадку неваженої поверхні ці потенціали зображені багатозначні функції, які галузяться біля краю поверхні шару.

Розширенмо дослідження Шімдта на випадок бігармонічних потенціалів. Принулюємо, що всі розглядувані функції та поверхні аналітичні.

Нехай Σ - аналітична поверхня і M - точка поблизу Σ . Проведемо через M нормальну до Σ і позначимо через u, v, κ відповідно координати основи цієї нормалі на Σ і відстань від M до Σ /довжину відрізку нормалі/. У цій системі координат (u, v, κ) /рівняння Лапласа має вигляд [1]:

$$\Delta W = \Omega \frac{\partial^2 W}{\partial \kappa^2} + D(W), \quad /1/$$

де

$$\Omega = (EG - F^2)(1 - \kappa \kappa_1)^2(1 - \kappa \kappa_2)^2;$$

E, G, F - коефіцієнти першої квадратичної форми; κ_1, κ_2 - головні кривини поверхні Σ ; $D(W)$ - диференціальний вираз, який не містить $\frac{\partial^2 W}{\partial \kappa^2}$.

Якщо $f_i(u, v)$ ($i = 1, 4$) - аналітичні функції своїх аргументів, то за теоремою Комі-Ковалевської в околі точки $(u, v, 0)$ існує аналітичний розв'язок рівняння $\Delta \Delta W = 0$, який задовільняє на Σ умови

$$W|_{\kappa=0} = f_1, \frac{\partial W}{\partial \kappa}|_{\kappa=0} = f_2, \frac{\partial^2 W}{\partial \kappa^2}|_{\kappa=0} = f_3, \frac{\partial^3 W}{\partial \kappa^3}|_{\kappa=0} = f_4. \quad /2/$$

Враховуючи формулу /1/, аналогічний висновок можна зробити і відносно існування аналітичного розв'язку задачі

$$\Delta \Delta W = 0,$$

/3/

$$W|_{n=0} = f_1, \frac{\partial W}{\partial n}|_{n=0} = f_2, \Delta W|_{n=0} = f_3, \frac{\partial \Delta W}{\partial n}|_{n=0} = f_4. \quad /4/$$

Розглянемо тепер бігармонічний потенціал простого шару

$$V(M) = \iint_S v(P) \frac{\delta}{\rho} d\rho S. \quad /5/$$

де $t = \overrightarrow{MP}$ - відстань між точками M і $P \in \Sigma$.

Із інтегрального зображення бігармонічних функцій в областях, обмежених поверхнею Σ ,

$$W(M) = -\frac{1}{4\pi} \iint_{\Gamma} [u \frac{\partial}{\partial n} \frac{1}{t} - \frac{1}{t} \frac{\partial u}{\partial n} - \Delta u \frac{\partial}{\partial n} \frac{1}{t} + \frac{1}{t} \frac{\partial \Delta u}{\partial n}] d\rho S \quad /6/$$

виливає, що $V(M)$ можна розглядати як розв'язок задачі /3/ - /4/ при $f_1 = f_2 = f_3 = 0, f_4 = v(P)$. Тому, якщо $v(P)$ - аналітична функція, то із сказаного виливає можливість аналітичного продовження $V(M)$ із області, обмеженої поверхнею Σ , в область D_1 , розташовану зовні Σ , тобто через поверхню $\tilde{\Sigma}$. Одержану в результаті такого продовження бігармонічну функцію позначимо як $U(M)$. Тоді, користуючись інтегральним зображенням бігармонічної функції, дістанемо наступне зображення для $V(M)$ в D_1 :

$$V(M) = -4\pi U(M) + \iint_S [U(P) \frac{\partial}{\partial n} \frac{1}{t} - \frac{1}{t} \frac{\partial U(P)}{\partial n} - \Delta U(P) \frac{\partial}{\partial n} \frac{1}{t} + \frac{1}{t} \frac{\partial \Delta U(P)}{\partial n}] d\rho S + \iint_{\tilde{\Sigma} \setminus \Sigma} v(P) \frac{\delta}{\rho} d\rho S.$$

де $S = S \cup \tilde{\Sigma}$, - граніця D_1 .

Можна показати, що продовжене значення $V(M)$ відрізняється від спрощеного його значення на функцію $-4\pi U(M)$. Якщо $\tilde{\Sigma}$ - незамкнена поверхня, тоді з цих результатів виливає багатозначність $V(M)$ у всьому еквівалентному просторі, причому лініїв гадування $V(M)$ є криві, що обмежують Σ .

Аналогічні міркування можна провести і для інших бігармонічних потенціалів.

Список літератури: І. Ковалевская С. Об одной теории Бруса. - В кн.: Научные работы. М., 1948. 2. Schmidt E. Math. Annalen, 1910, v. 68.

Стаття надійшла в редколегію 19.03.1979 р.

УДК 517.949.8

В.А.Бакалець, Н.Е.Коваль

МЕТОД НЕОЗНАЧЕНИХ КОЕФІЦІЕНТІВ РОЗВ'ЯЗУВАННЯ
ГРАНІЧНИХ ЗАДАЧ ДЛЯ БІГАРМОНІЧНОГО
РІВНЯННЯ

Метод, запропонований у праці [1], поширюємо на розв'язування граничної задачі для бігармонічного рівняння на площині у випадку замкнених гладких кривих другого порядку, коли правою частиною рівняння є алгебраїчний поліном довільного степеня. На мові Фортран-IV для ЕС-1022 складена підпрограма, яка реалізує цей метод.

Розглянемо граничну задачу для бігармонічного рівняння

$$L[u] = P_n(x,y), \quad /1/$$

$$u|_{\gamma} = 0, \quad /2/$$

$$\frac{\partial u}{\partial n}|_{\gamma} = 0, \quad /3/$$

де $L = \alpha \frac{\partial^4}{\partial x^4} + 2\beta \frac{\partial^4}{\partial x^2 \partial y^2} + \gamma \frac{\partial^4}{\partial y^4}$; $P_n(x,y)$ - алгебраїчний поліном степеня n від x та y .

$$P_n(x,y) = \sum_{i+j=0}^n a_{ij} x^i y^j, \quad n=0,1,2,\dots;$$

γ - замкнута гладка крива другого порядку, задана рівнянням

$$\omega(x,y) = 0.$$

Розв'язок задачі /1/-/3/ шукаємо у вигляді

$$u_n(x,y) = \omega^n(x,y) \cdot \tilde{P}_n(x,y), \quad /4/$$

де $\tilde{P}_n(x,y)$ - алгебраїчний поліном степеня n з невідомими коефі-

цієнтами $\bar{\alpha}_{ij}$.

$$\tilde{P}_n(x, y) = \sum_{i+j=0}^n \bar{\alpha}_{ij} x^i y^j.$$

Підставимо /4/ у /1/ і отримаємо тотожність

$$L[U_n(x, y)] = P_n(x, y), \quad /5/$$

звідки, прирівнюючи коефіцієнти при однакових степенях x та y , одержимо систему лінійних алгебраїчних рівнянь відносно $\bar{\alpha}_{ij}$.

Розв'язок задачі /1/ - /3/, зображеній у вигляді /4/ з визначеними коефіцієнтами $\bar{\alpha}_{ij}$, буде задовільняти як рівність /1/, так і граничні умови /2/ - /3/.

Розглянемо конкретний випадок. Нехай S - еліпс, заданий рівнянням $\omega(x, y) = \beta^2 x^2 + \alpha^2 y^2 - \alpha^2 \beta^2 = 0$. Тоді

$$U_n(x, y) = (\beta^2 x^2 + \alpha^2 y^2 - \alpha^2 \beta^2)^2 \cdot \tilde{P}_n(x, y),$$

а систему лінійних алгебраїчних рівнянь, одержану з. /5/, запишемо так:

$$\begin{aligned} & [\alpha(i+1)(i+2)(i+3)(i+4)\beta^4 + 4\beta(i+1)(i+2)(j+1)(j+2)\alpha^2\beta^2 + \\ & + j(j+1)(j+2)(j+3)(j+4)\alpha^4] \bar{\alpha}_{ij} + [2\alpha(i+1)(i+2)(i+3)(i+4)\alpha^2\beta^2 + \\ & + 2\beta(i+1)(i+2)(j+1)(j+2)\alpha^4] \bar{\alpha}_{i+2,j-2} + \\ & + [2\beta(i+1)(i+2)(j+1)(j+2)\beta^4 + \\ & + 2j(j+1)(j+2)(j+3)(j+4)\alpha^2\beta^2] \bar{\alpha}_{i-2,j+2} + \\ & + \alpha(i+1)(i+2)(i+3)(i+4)\beta^4 \bar{\alpha}_{i+4,j-4} + \\ & + j(j+1)(j+2)(j+3)(j+4)\beta^4 \bar{\alpha}_{i-4,j+4} + \\ & + \alpha(i+1)(i+2)(i+3)(i+4)\alpha^4\beta^4 \bar{\alpha}_{i+4,j} + \\ & + j(j+1)(j+2)(j+3)(j+4)\alpha^4\beta^4 \bar{\alpha}_{i,j+4} + \\ & - 2\alpha(i+1)(i+2)(i+3)(i+4)\alpha^4\beta^2 \bar{\alpha}_{i+4,j-2} \\ & - [2\alpha(i+1)(i+2)(i+3)(i+4)\alpha^2\beta^4 + 4\beta(i+1)(i+2)(j+1)(j+2)\alpha^4\beta^2] \bar{\alpha}_{i+2,j} - \\ & - [4\beta(i+1)(i+2)(j+1)(j+2)\alpha^2\beta^4 + 2j(j+1)(j+2)(j+3)(j+4)\alpha^4\beta^2] \bar{\alpha}_{i,j+2} - \\ & - 2j(j+1)(j+2)(j+3)(j+4)\alpha^2\beta^4 \bar{\alpha}_{i-2,j+4} = \alpha_{ij}, \quad 0 \leq i+j \leq n. \end{aligned} \quad /6/$$

Вираз є зважений α_{ij} для деяких n ;

$$n=0, \quad \tilde{\alpha}_{00} = \frac{\alpha_{00}}{24\alpha^4 + 16\beta\alpha^2\delta^2 + 24\gamma\alpha^4};$$

$$n=1, \quad \tilde{\alpha}_{00} = \frac{\alpha_{00}}{24\alpha^4 + 16\beta\alpha^2\delta^2 + 24\gamma\alpha^4},$$

$$\tilde{\alpha}_{01} = \frac{\alpha_{01}}{24\alpha^4 + 48\beta\alpha^2\delta^2 + 120\gamma\alpha^4},$$

$$\tilde{\alpha}_{10} = \frac{\alpha_{10}}{120\alpha^4 + 48\beta\alpha^2\delta^2 + 24\gamma\alpha^4}$$

і відповідні розв'язки /4/

$$u_0 = \tilde{\alpha}_{00} \omega^2(x, y),$$

$$u_1 = (\tilde{\alpha}_{00} + \tilde{\alpha}_{01}y + \tilde{\alpha}_{10}x) \omega^2(x, y).$$

Розмірність m , матриці системи /6/ і степінь многочлена n правої частини /1/ зв'язані співвідношенням

$$m = \frac{(n+1)(n+2)}{2},$$

звідки видно, що навіть при невеликих n порядок системи досить великий. Отже, знаходження розв'язків цієї системи при збільшенні степеня многочлена $P_n(x, y)$ процес досить громіздкий.

Тому одержаний матриці системи /6/, а також знаходження розв'язку задачі /1/ - /3/ реалізовано на мові Фортран-ІІУ для ЕСМ ЄС-І022 у вигляді підпрограми

DREAM(N,A,B, ALFA,BETA,GAMA,IV),

де N - степінь многочлена; A, B - півосі еліпса; $ALFA, BETA, GAMA$ - коефіцієнти оператора L ; IV - параметр виводу на друк інформації про роботу **DREAM**. Якщо $IV = 1$, то виводиться повна інформація про роботу **DREAM**, коли $IV = 2$ - друку немає.

Складена підпрограма обчислює вектор $\{REZ_i\}$, $i = 1, \overline{NXY}$ - значення розв'язків задачі /1/ - /3/ у точках $(x_i, y_i), i = 1, \overline{NXY}$, коли правої частини рівності є многочлен степеня K ($K \leq 15$), а кривий δ - еліпс з півосіми C, D , розміщений у початку координат.

Масиви $\{a_{ij}\}_{i+j=0..n}, \{x_i\}_{i=1..n}, \{y_i\}_{i=1..n}$ замовник повинен сформувати в основній програмі і описати оператором
`COMMON /DREAM/ U(100), X(600), Y(500), REZ(500), NXU.`

Розв'язок системи обчислює `SUBROUTINE BELO` методом Гаусса з вибором головного елемента.

Приклад. Розглянемо граничну задачу

$$\text{да } u = -2x^2 + 5xy + y^2 + 5x - 6y + 0.8,$$

$$u|_S = 0, \quad \frac{\partial u}{\partial n}|_S = 0.$$

де S - сім'єс з півосмами $A = 1, B = 0.5$.

В основній програмі сформовано масиви $\{a_{ij}\} = \{-2.0, 3.0, 1.0, 5.0, -6.0, 0.2\}; \{x_i\}, \{y_i\}$. При звертанні до підпрограми `CALL DREAM (S, 1, 0.5, 1, 1, 1)` отримаємо значення розв'язку в точках (x_i, y_i) :

x_i	y_i	REZ_i
-0.10000E 01	0.0	0.0
-0.80000E 00	0.0	0.6284364E-03
-0.60000E 00	0.0	0.1634532E-02
-0.40000E 00	0.0	0.2093402E-02
-0.20000E 00	0.0	0.1638509E-02
-0.5960464E-07	0.0	0.4237290E-03
0.1999999E 00	0.0	-0.1009764E-02
0.3999999E 00	0.0	-0.1961767E-02
0.5999999E 00	0.0	-0.1896500E-02
0.7999999E 00	0.0	-0.8612182E-03
0.9999999E 00	0.0	-0.5016707E-15

Відзначимо, що вимога кульових граничних умов для задачі /I/-/3/ не зменшує її загальності. Наприклад, розглянемо задачу

$$\Delta^2 u = P_m(x, y),$$

$$u|_S = P_m(x, y),$$

$$\frac{\partial u}{\partial n}|_S = Q_m(x, y).$$

У цьому випадку будуємо таку довільну функцію $v(x, y)$, що

$$v(x, y)|_S = P_m(x, y).$$

$$\frac{\partial u(x,y)}{\partial n} \Big|_S = g_m(x,y).$$

Зробимо заміну $w(x,y) = u(x,y) - v(x,y)$, для $w(x,y)$ дістасмо задачу

$$\Delta^2 w = \rho_n(x,y),$$

$$w|_S = 0,$$

$$\frac{\partial w}{\partial n}|_S = 0,$$

причому $u(x,y) = v(x,y) + w(x,y)$.

Аналогічно не зменшує загальності вимога, щоб центр межі області знаходився у початку координат, що досягається відповідною заміною змінних. Якщо права частина бігармонічного рівняння - довільна гладка функція, то w заміни можемо рівномірно наблизити алгебраїчним многочленом відповідного степеня. Причому похибка між точним розв'язком і отриманим нами, за теоремою Вейерштрасса [2], дорівнюватиме похибці наближення правої частини многочленом $\rho_n(x,y)$.

Список літератури: 1. Бакалець В.А., Ірдкевич Й.В Метод неозначеных коефіцієнтів розв'язування задачі Діріхле для рівняння Пуассона. - Вісн. Львів. ун-ту, сер. мат.-мат., 1979, № 15. 2. Канторович Л.Б., Крілов В.И. Приближенные методы высшего анализа. - М.: Физматгиз, 1962.

Стаття надійшла в редколегію 15.10.1979 р.

УДК 519.21

І.Л.Квіт

МАКСИМАЛЬНА ВЛАСТИВІСТЬ ІНТРОПІЇ

УЗАГАЛЬНЕНОГО РОЗПОДІЛУ ВЕЙСУЛА

у праці [1] розглянуто фізичні основи узагальненого розподілу Вейсула з густинною розподілу ймовірностей

$$w(t; \alpha, \beta, \omega, \rho) = \frac{\alpha^{\alpha}}{\alpha^{\alpha} \Gamma(\rho)} e^{-\omega t^{\frac{1}{\rho}}} t^{\alpha-1}, t > 0, (\alpha > 0, \beta > 0, \omega > 0, \rho > 0). \quad /1/$$

Ентропія розподілу [2] в густиновій формі дорівнює

$$\int_0^\infty w(t; \alpha, \beta, \omega, \beta) \log_2 w(t; \alpha, \beta, \omega, \beta) dt = \log_2 \frac{\alpha \Gamma(\beta) e^{\beta + (\frac{1}{\beta} - \beta) \psi(\beta)}}{\beta \omega \Gamma}, \quad /2/$$

де $\psi(\beta) = \frac{\Gamma'(\beta)}{\Gamma(\beta)}$ — логарифмічна похідна гамма функції.

Теорема. Зі всіх абсолютно неперервних розподілів, заданих на додатній частині дійсної осі, що мають однакові початкові моменти порядку $\beta > 0$ та однакові перші логарифмічні моменти, узагальнений розподіл Вейбула має найбільшу ентропію.

Справді, нехай абсолютно неперервна випадкова змінна з густиновою $f(t)$, $t > 0$ має початковий момент порядку $\beta > 0$

$$\int_0^\infty t^\beta f(t) dt = \int_0^\infty t^\beta w(t; \alpha, \beta, \omega, \beta) dt = \frac{\beta}{\omega} \alpha^\beta \quad /3/$$

та перший логарифмічний момент

$$\int_0^\infty f(t) \ln t dt = \int_0^\infty w(t; \alpha, \beta, \omega, \beta) \ln t dt = \ln \frac{\alpha}{\omega t} + \frac{\psi(\beta)}{\beta}. \quad /4/$$

Тоді, використовуючи інтеграл

$$\int_0^\infty x^{p-1} e^{-qx} \ln x dx = \frac{1}{q^p} \Gamma(p) [\psi(p) - \ln q], \quad (p > 0, q > 0), \quad /5/$$

де $\psi(1) = -C$; $C = 0,5772157$; $\psi(n) = -C + 1 + \frac{1}{2} + \dots + \frac{1}{n-1}$, ($n = 2, 3, \dots$);

$$\psi(\frac{1}{2}) = -C - 2 \ln 2 = -\ln(4e^C) = -1,9635100269\dots, \quad /6/$$

$$\psi(n + \frac{1}{2}) = -\ln(4e^C) + 2(1 + \frac{1}{2} + \frac{1}{3} + \dots + \frac{1}{2n-1}), \quad (n = 1, 2, \dots);$$

C — стала Ейлера [3], та умови /3/ і /4/, приходимо до висновку.

$$-\int_0^\infty f(t) \log_2 w(t; \alpha, \beta, \omega, \beta) dt = \log_2 \frac{\alpha \Gamma(\beta) e^{\beta + (\frac{1}{\beta} - \beta) \psi(\beta)}}{\beta \omega \Gamma}. \quad /7/$$

Отже, рівніще

$$-\int_0^\infty f(t) \log_2 f(t) dt = \log_2 \frac{\alpha \Gamma(\beta) e^{\beta + (\frac{1}{\beta} - \beta) \psi(\beta)}}{\beta \omega \Gamma}. \quad /8/$$

враховуючи /7/, записуємо як

$$\int_0^\infty f(t) \log_2 \frac{w(t; \alpha, \beta, \omega, \beta)}{f(t)} dt. \quad /9/$$

За нерівністю Остроградського

$$\log_2 x \leq (x-1) \log_2 e, \quad x > 0$$

для виразу /9/ дістаємо нерівність

$$\int_0^\infty f(t) \log_2 \frac{w(t; \alpha, \beta, \omega, \beta)}{f(t)} dt \leq \int_0^\infty f(t) \left[\frac{w(t; \alpha, \beta, \omega, \beta) - 1}{f(t)} \right] (\log_2 e) dt = 0. \quad /10/$$

Оскільки вираз зліва у нерівності /10/ дорівнює рівниці /8/, то одержуємо нерівність

$$-\int_0^\infty f(t) \log_2 f(t) dt \leq \log_2 \frac{\alpha \Gamma(\beta) \omega^{\beta + (\frac{1}{\delta} - \beta) \psi(\beta)}}{\beta \delta}, \quad /III/$$

що є змістом теореми.

Відзначимо, що узагальнений розподіл Вейбула включає такі розподіли як експонентний, хі-квадрат, Ерланга, гамма, Максвелла, Релєя та Вейбула. Запишемо густини й ентропії цих розподілів:

Розподіл	Густина	Ентропія
Експонентний	$w(t; 1, \lambda, \omega, 1), (\lambda > 0)$	$\log_2 \frac{\omega}{\lambda}$
Хі-квадрат	$w(t; 1, 1, \frac{t}{2}, \frac{n}{2}), (n=1, 2, \dots)$	$\log_2 [2 \Gamma(\frac{n}{2}) \omega^{\frac{n}{2} + (1 - \frac{n}{2}) \psi(\frac{n}{2})}]$
Ерланга	$w(t; 1, 1, \omega, N), (\omega > 0; N=2, 3, \dots)$	$\log_2 [\frac{\Gamma(N)}{\omega} \omega^{N + \theta - N} \psi(N)]$
Гамма	$w(t; 1, 1, \omega, \beta), (\omega > 0, \beta > 0)$	$\log_2 [\frac{\Gamma(\beta)}{\omega} \omega^{\beta + (1 - \beta) \psi(\beta)}]$
Максвелла	$w(t; 1, 2, \omega, \frac{3}{2}), (\omega > 0)$	$\log_2 (\omega^6 \sqrt{\frac{\pi}{2}})$
Релєя	$w(t; 6\sqrt{2}, 2, 1, 1), (6 > 0)$	$\log_2 (\frac{6}{\sqrt{2}} \omega^{1 + \frac{6}{2}})$
Вейбула	$w(t; \alpha, \beta, 1, 1), (\alpha > 0, \beta > 0)$	$\log_2 (\frac{\alpha}{\beta} \omega^{1 + (1 - \frac{1}{\beta}) \alpha})$

Очевидно, що для кожного з сімох розподілів теорема відповідно уточнюється.

Приклад. Перевірити, що коли логарифмічно нормальний розподіл має початковий момент порядку $\theta > 0$ і перший логарифмічний

момент такі самі як для розподілу Вейбула, тоді ентропія розподілу Вейбула більша від ентропії логарифмічно нормального розподілу.

Справді, логарифмічно нормальній розподіл з густиной

$$f(t) = \frac{1}{\sigma \sqrt{2\pi}} e^{-\frac{(\ln t - \mu)^2}{2\sigma^2}}, t > 0, (\sigma > 0)$$

має початковий момент порядку $\theta > 0$

$$\int_0^\infty t^\theta f(t) dt = e^{-\mu\theta + \frac{\theta^2\sigma^2}{2}},$$

перший логарифмічний момент

$$\int f(t) \ln t dt = \mu$$

і ентропію

$$\int_0^\infty f(t) \log_2 f(t) dt = \log_2 (\sigma \sqrt{2\pi} e^\mu).$$

Розподіл Вейбула з густиной

$$w(t; \alpha, \beta, 1, 1) = \frac{\beta}{\alpha^\beta} e^{-(\frac{t}{\alpha})^\beta}, t > 0, (\alpha > 0, \beta > 0)$$

має початковий момент порядку $\theta > 0$

$$\int_0^\infty t^\theta w(t; \alpha, \beta, 1, 1) dt = \alpha^\theta,$$

перший логарифмічний момент

$$\int_0^\infty w(t; \alpha, \beta, 1, 1) \ln t dt = \ln (\alpha e^{-\frac{1}{\beta}})$$

і ентропію

$$-\int_0^\infty w(t; \alpha, \beta, 1, 1) \log_2 w(t; \alpha, \beta, 1, 1) dt = \log_2 \left(\frac{\beta}{\alpha} e^{\ln(\alpha e^{-\frac{1}{\beta}})} \right). \quad (12)$$

За умовою відповідні моменти однакові

$$e^{-\mu\theta + \frac{\theta^2\sigma^2}{2}} = \alpha^\theta, \mu = \ln (\alpha e^{-\frac{1}{\beta}}).$$

Звідси

$$\mu = \ln (\alpha e^{-\frac{1}{\beta}}), \sigma^2 = \frac{2C}{\beta^2}.$$

При цих значеннях параметрів ентропія логарифмічно нормального розподілу дорівнює

$$\log_2 \left(\frac{2\pi\sqrt{C}\sigma}{\beta} e^{-\frac{1}{\beta}} \right)$$

і з меншою від ентропії /І2/ розподілу Вейбула, оскільки

$$2УЕК = 2,69 \dots < e^{C+0,5} = 2,95 \dots$$

Зауважимо, що з нерівностей для ентропій можна дістати багато цікавих нерівностей для функцій. Наприклад, якщо порівнювати ентропію логнормального розподілу з ентропією узагальненого розподілу Вейбула при однакових початковому моменті порядку $b > 0$, та першому логарифмічному моменті, то з умови додатності дисперсії одержимо нерівність $\psi(x) < \ln x$, $x > 0$.

Список літератури: І. Квіт І.Д., Москва к. С.В. Розподіли деяких процесів руйнування. - Він. Львів. ун-ту, сер. мех.-мат., 1979, вип. 15. 2. Квіт І.Д. Ентропія розподілів. Вид-во Львів. ун-ту, 1971. 3. Янке Е., Эмде Ф., Леш Ф. Спеціальні функції. - М.: Наука, 1964.

Стаття надійшла в редколегію 18.12.1979 р.

УДК 539.3

І.А.Прокопішин, Д.Г.Хлебніков

НАЕМІНЕНЕ ВИЗНАЧЕННЯ ТЕМПЕРАТУРНИХ НАПРУЖЕНЬ
В ЕКРАННОМУ ВУЗЛІ КІНЕСКОПА З ПЛОСКИМ ЕКРАНОМ

Екранний вузол кінескопа розглядається як трипластинчаста система, що знаходиться під дією зовнішнього тиску інтенсивності ρ і заданого температурного поля, симетричного відносно площин $X_1 = \frac{a}{2}$, $X_2 = \frac{b}{2}$ /рис.І/.

З огляду на симетрію обмежимось розглядом пластинок I і 2, серединні площини яких займають відповідно області $0 \leq X_1 \leq a$, $X_2 = 0$, $0 \leq Y_1 \leq B$ і $0 \leq X_1 \leq a$, $Y_2 = 0$, $0 \leq Y_1 \leq C$.

Прогини пластинок w_1 і w_2 задоволяють рівняння [І, 2]

$$\Delta_{xy_i}^2 w_i = \frac{\rho}{D_i} - \omega (1+\gamma) \Delta_{xy_i} T_i, \quad i=1,2, \quad /І/$$

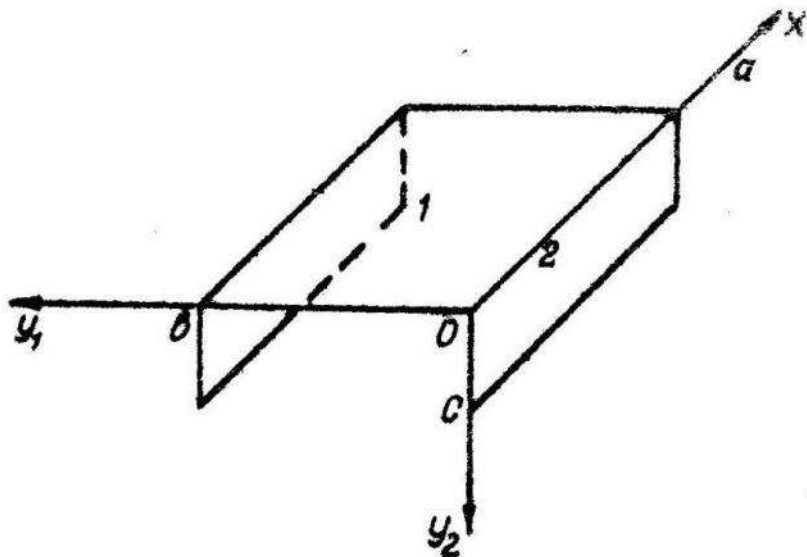


Рис. I.

умови симетрії:

$$W_1(x, y_1) = W_1(\alpha - x, y_1) = W_1(x, \beta - y_1), W_2(x, y_2) = W_2(\alpha - x, y_2), \quad /2/$$

шарнірного спирання при $x=0, x=a$

$$W_1(0, y_1) = W_1(a, y_1) = 0, \frac{\partial^2 W_1}{\partial x^2}(0, y_1) = \frac{\partial^2 W_1}{\partial x^2}(a, y_1) = -\omega(1+\nu)\tau_1(0, y_1); \quad /3/$$

пружного защемлення при $y_2 = C$

$$W_2(x, C) = \kappa C^2 \left[(2-\nu) \frac{\partial^2 W_2}{\partial x^2 \partial y_2}(x, C) + \frac{\partial^2 W_2}{\partial y_2^2}(x, C) + \omega(1+\nu) \frac{\partial \tau_2}{\partial y_2}(x, C) \right], \quad /4/$$

$$\frac{\partial W_2}{\partial y_2}(x, C) = -2\kappa C \left[\frac{\partial^2 W_2}{\partial y_2^2}(x, C) + \nu \frac{\partial^2 W_2}{\partial x^2}(x, C) + \omega(1+\nu) \tau_2(x, C) \right];$$

рівності кутів повороту та згинних моментів при $y_1 = 0, y_2 = 0$

$$\frac{\partial W_1}{\partial y_1}(x, 0) = -\frac{\partial W_2}{\partial y_2}(x, 0),$$

$$D_1 \left[\frac{\partial^2 W_1}{\partial y_2^2}(x, 0) + \omega(1+\nu)\tau_1(x, 0) \right] = D_2 \left[\frac{\partial^2 W_2}{\partial y_2^2}(x, 0) + \omega(1+\nu)\tau_2(x, 0) \right]. \quad /5/$$

Покладучи нульові поздовжніх переміщень на напруження, вважатимемо

зміні в'єднання пластинок $y_1 = 0$, $y_2 = b$ нерухомою

$$w_1(x, \theta) = w_2(x, 0) = 0.$$

/6/

У формулах /1/ - /6/ позначено:

$$\Delta_{\text{зг}} = \frac{\partial^2}{\partial x^2} + \frac{\partial^2}{\partial y^2}, \quad \tau_i = \frac{i^2}{h_i} \int_{-\frac{h_i}{2}}^{\frac{h_i}{2}} t_i y_{3-i} dy_{3-i}, \quad D_i = \frac{E h_i^3}{12(1-\nu^2)},$$

$t_i = t_i(x, y_1, y_2)$ - температура в області i -ї пластинки; h_i - товщина i -ї пластинки; E, ν - пружні характеристики матеріалу пластинок; α - коефіцієнт лінійного розширення; κ, ω - безрозмірні коефіцієнти, які характеризують пружність зачленення нижнього краю поясу в напрямі прогину та повороту.

Розв'язки рівнянь /1/ при $\rho = 0$, що задовольняють умови /2/, /3/, візьмемо у вигляді рядів Фур'є:

$$w_1(x, y_1) = \frac{1+\nu}{D_1} \left\{ \sum_{m=1,3,5,\dots}^{\infty} [A_m \operatorname{ch} \lambda_m (y_1 - \frac{b}{2}) + B_m \lambda_m (y_1 - \frac{b}{2}) \operatorname{sh} \lambda_m (y_1 - \frac{b}{2}) + \right. \\ \left. + \Phi_{im}(y_1)] \sin \lambda_m x + \Psi_i(x, y_1) \right\},$$

$$w_2(x, y_2) = \frac{1+\nu}{D_2} \left\{ \sum_{m=1,3,5,\dots}^{\infty} [A'_m \operatorname{ch} \lambda_m y_2 + B'_m \lambda_m y_2 \operatorname{sh} \lambda_m y_2 + C'_m \operatorname{sh} \lambda_m y_2 + \right. \\ \left. + D'_m \lambda_m y_2 \operatorname{ch} \lambda_m y_2 + \Phi_{2m}(y_2)] \sin \lambda_m x + \right. \\ \left. + \Psi_i(x, y_2) \right\},$$

/7/

де

$$\Phi_{im}(u) = \frac{1}{\alpha \lambda_m} \int_{\beta_1}^u [\lambda_m(u-\gamma) \operatorname{ch} \lambda_m(u-\gamma) - \operatorname{sh} \lambda_m(u-\gamma)] d\gamma \int_{\beta_2}^t [\Delta_{\text{зг}}^2 \Psi_i(\xi, \gamma) - \right. \\ \left. - \omega D_i \Delta_{\text{зг}} \tau_i(\xi, \gamma)] \sin \lambda_m \xi d\xi, \quad \beta_1 = \frac{b}{2}, \quad \beta_2 = 0;$$

$$\Psi_i(\xi, \gamma) = \omega D_i \frac{\xi^2 (\alpha - \xi)^2}{2 \alpha^2} \tau_i(\xi, \gamma), \quad i = 1, 2; \quad \lambda_m = \frac{m \pi}{\alpha};$$

$A_m, B_m, A'_m, B'_m, C'_m, D'_m$ - новідомі коефіцієнти, які виконують
з умов /4/ - /6/. З першої умови /6/ одержуємо

$$A'_m = \frac{2}{\alpha} \int_0^a Y_2(\xi, 0) \sin \lambda_m \xi d\xi.$$

Інші умови дають систему п'яти лінійних алгебраїчних рівнянь, матриця якої збігається з матрицею системи /10/ праці [3].

Праві частини системи рівнянь R_{im} ($i=1, \dots, 5$) мають такий вигляд:

$$R_{1m} = \frac{1}{2\lambda_m^2} \left\{ \frac{2}{\alpha} \sum_{i=1}^6 (-1)^{i+1} \int_0^a \left[\frac{\partial^2 \psi_i}{\partial y_i^2} (\xi, 0) - \alpha D_i \tau_i (\xi, 0) \right] \sin \lambda_m \xi d\xi - \right. \\ \left. - \frac{\alpha^2 \varphi_{1m}}{\alpha^2 y_i^2} (0) \right\} + \frac{1}{2} (A'_m R_{2m}), \quad /8/$$

$$R_{2m} = \frac{2}{\alpha} \int_0^a Y_1(\xi, 0) \sin \lambda_m \xi d\xi - \varphi_{1m}(0),$$

$$R_{3m} = \frac{1}{\lambda_m} \left[\frac{2}{\alpha} h_1^3 \sum_{i=1}^6 \frac{1}{h_i^3} \int_0^a \frac{\partial \psi_i}{\partial y_i} (\xi, 0) \sin \lambda_m \xi d\xi - \frac{d \varphi_{1m}}{dy_1} (0) \right],$$

$$R_{4m} = \frac{2}{\alpha} \int_0^a \left\{ \psi_2(\xi, c) + KC^2 \left[(v-2) \frac{\partial^2 \psi_2}{\partial x^2 \partial y_2} (\xi, c) - \frac{\partial^2 \psi_2}{\partial y_2^2} (\xi, c) + \right. \right. \\ \left. \left. + \alpha D_2 \frac{\partial \psi_2}{\partial y_2} (\xi, c) \right] \right\} \sin \lambda_m \xi d\xi - \varphi_{2m}(c) + KC^2 \left[(v-2) \lambda_m^2 \frac{d^2 \varphi_{2m}}{dy_2^2} (c) + \right. \\ \left. + \frac{\alpha^2 \varphi_{2m}}{\alpha^2 y_2^2} (c) \right] - \lambda'_m \left[\alpha \lambda_m c + (1-v) KC^2 \lambda_m^2 \sin \lambda_m c \right],$$

$$R_{5m} = \frac{2}{\alpha \lambda_m} \int_0^a \left\{ \frac{\partial \psi_3}{\partial y_2} (\xi, c) + \alpha c \left[\frac{\partial^2 \psi_3}{\partial y_2^2} (\xi, c) + v \frac{\partial^2 \psi_3}{\partial x^2} (\xi, c) - \right. \right. \\ \left. \left. - \alpha D_2 \tau_2 (\xi, c) \right] \right\} \sin \lambda_m \xi d\xi - \frac{1}{\lambda_m} \left\{ \frac{\partial \varphi_{2m}}{\partial y_2} (c) + \right. \\ \left. + \frac{\alpha^2 \varphi_{2m}}{\alpha^2 y_2^2} (c) \right\},$$

$$+ \frac{\partial^2 P_{3m}}{\partial Y_0^2}(\varepsilon) - v \lambda_m^2 \Phi_{3m}(\varepsilon) \right] - \lambda_m^2 \left[\sinh \lambda_m \varepsilon + (1-v) \cosh \lambda_m \varepsilon \right].$$

Розрахунки показали, що у випадку лінійного розподілу температури по товщині пластинок з перепадами $\Delta t_i = h_i \tau_i$ ($i=1, 2$) максимальні розтягуючі напруження на поверхні конструкції у площахах перпендикулярних осям OY_1 і OY_2 , досягаються у точках $x = \frac{a}{2}, y = \frac{h_2}{2}, y_2 = 0$; $x = \frac{a}{2}, y = 0, y_2 = \frac{h_1}{2}$ при додатних перепадах температури і в точці $x = \frac{a}{2}, y = \frac{h_2}{2}, y_2 = 0$ — при від'ємних. Оскільки у перших точках досягають максимуму також кручежння, зумовлені атмоферним тиском [3], то ймовірність руйнування пристрів при охолодженні /перепад температури додатній/ значно вища, ніж при нагріванні.

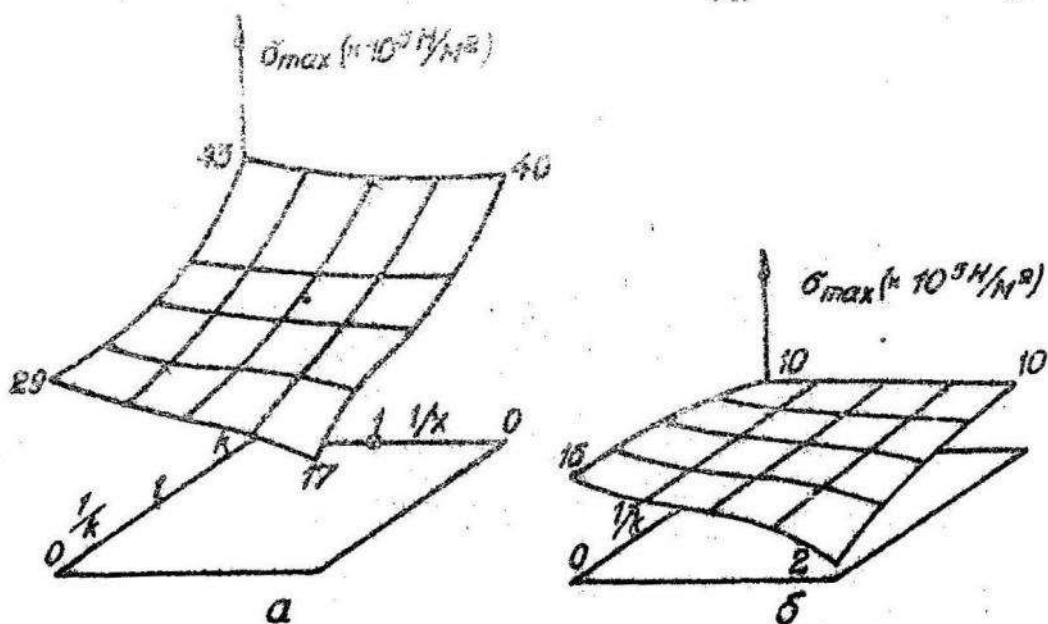


Рис. 2.

На рис. 2 показано графіки максимальних розтягуючих напружень залежно від коефіцієнтів пружного защемлення K , α для балона 16ЛК ($a = 10,5$ см; $b = 10,795$ см; $c = 2,275$ см;

$$h_1 = 0,455 \text{ см}; \quad h_2 = 0,45 \text{ см} \quad \text{при } v = 0,22;$$

$$E = 6,04 \cdot 10^{9} \text{ Н/м}^2; \alpha = 0,92 \cdot 10^{-6} \text{ } ^\circ\text{C}^{-1}; \Delta t_1 = 10^\circ,$$

$$\Delta t_2 = 0^\circ / \text{рис. 2, а} /; \Delta t_3 = 0^\circ, \Delta t_4 = 10^\circ / \text{рис. 2, б} /.$$

Для оцінки впливу врахування поздовжніх переміщень розглянуто одновимірний випадок, коли всі характеристики не залежать від координати x . Тоді рівності /1/ - /5/ спрощуються очевидним чином, а замість /6/ матимемо умову рівності переміщень

$$w_i(0) = u_i(0), w_i(0) = u_i(0)$$

та умову рівності зусиль

$$\frac{d^2 w_i}{dy_i^2}(0) = \frac{12h_i}{h_i^3} \left[\frac{du_i}{dy_i}(0) - \alpha(1+\nu) T_i(0) \right],$$

$$\frac{d^2 w_i}{dy_i^2}(0) = \frac{12h_i}{h_i^3} \left[\frac{du_i}{dy_i}(0) - \alpha(1+\nu) T_i(0) \right],$$

де u_i - поздовжні переміщення в пластинках, що задоволяють рівняння

$$\frac{d^2 u_i}{dy_i^2} = \alpha(1+\nu) \frac{dT_i}{dy_i}, i=1,2$$

та умову симетрії $u_i(y_i) = -u_i(\theta - y_i)$, причому

$$T_i = \frac{1}{h_i} \int_{-\frac{h_i}{2}}^{\frac{h_i}{2}} t_i dy_{i-1}.$$

На рис. 3 показано відносну похибку $\delta = \frac{\sigma^* - \sigma}{\sigma}$, σ^* - максимальні напруження з врахуванням та без врахування поздовжніх переміщень для сумарних напружень в екрані балона І6ЛК від атмосферного тиску та хідівних перепадів температури по товщині пластини

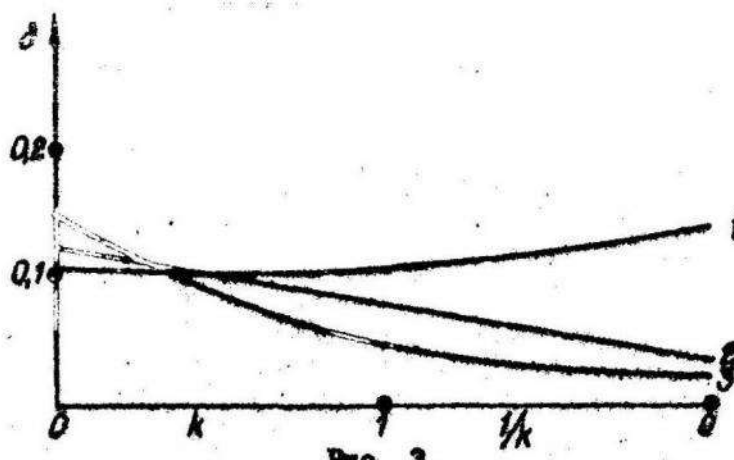


Рис. 3.

ізм. ($\Delta t_1 = 10^\circ$, $\Delta t_2 = 0^\circ$) і висоті полюса $\Delta t_c = 20^\circ$. Криві I - 3 відповідають значенням $\delta e = \infty$, 1, 0. Відносні похибки при $\Delta t_1 = 0^\circ$, $\Delta t_2 = 10^\circ$ мають ту саму величину.

Список літератури: 1. Мелаки З., Паржус Г. Температурные напряжения, вызванные стационарными температурными полями. - М.: Физматгиз, 1958. 2. Постригач Я.С., Коллио Ю.М. Неуставовицькі температурні поля та напруження в тонких пластинках. Київ: Наукова думка, 1972. 3. Хлебников Д.Г., Паражак А.Н. Приближенный метод определения напряжений в экранном узле кинескопа с плоским экраном. - В кн.: Качество электронно-лучевых приборов. Київ: Наукова думка, 1977.

* Стаття надійшла в редколегію 19.02.1980 р.

УДК 539.3:681.3.057

М.Ф.Копитко, Я.Г.Салула

ПРО МОЖЛИВІСТЬ НЕХТУВАННЯ РІЗНИЦЮ РАДІУСІВ ВОЛОСКІН КРИВОЛІНІЙНОЇ ТРУБИ ПРИ ЇЇ РОЗРАХУНКУ

У працях [1, 2] для розрахунку труб з коловою віссю як вихідну систему рівнянь використовують рівняння, одержані за припущення, що радіус перерізу труби малий порівняно з радіусом осі. Ми досліджуємо можливість аналогічних спрощень для розв'язування задачі про

рівновагу криволінійної труби у перенесених напівкоординатах складає основний методу скінчених елементів /МСЕ/ [4].

Розглядаємо тонку пружну оболонку товщиною h , серединна поверхня якої утворена рухом кола радіуса R ,

$$\gamma = -R \sin d_1, \quad \beta = R \cos d_1, \quad 0 \leq d_1 \leq 2\pi$$

по довільній площині напрямлій

$$x = R_1 \gamma (d_2), \quad y = R_2 \beta (d_2), \quad d_2^0 \leq d_2 \leq d_2^e, \quad R_2 = \text{const}. \quad /1/$$

В ортогональній спрямованій системі координат d_1, d_2 коефіцієнти Ламе A_1, A_2 і головні кривини $\frac{1}{R_1}, \frac{1}{R_2}$ серединної поверхні мауть вигляд

$$A_1 = R_1, \quad A_2 = R_2 t(d_1, d_2), \quad \frac{1}{R_1} = \frac{1}{R_2}, \quad \frac{1}{R_2} = \frac{\sin d_1 \tau(d_2)}{R_2 t(d_1, d_2)},$$

де

$$t(d_1, d_2) = \left\{ 1 + \frac{R_1}{R_2} \sin d_1, \frac{x''x' - \beta''\gamma'}{[x'^2 + \beta'^2]^{3/2}} \right\} (x'^2 + \beta'^2)^{\frac{1}{2}}, \quad /2/$$

$$\tau(d_2) = \frac{\beta''x' - x''\beta'}{x'^2 + \beta'^2}.$$

Для спрощення розрахунків вважаємо, що в формулі /2/ можна нехтувати величини $\frac{R_1}{R_2} \sin d_1, \frac{x''x' - \beta''\gamma'}{[x'^2 + \beta'^2]^{3/2}}$ порівняно з одиницею, тобто аналогічно як і в працях [1, 2] можемо рівністю радіусів волокон труби.

$$\text{Намо } t(d_2) = (x'^2 + \beta'^2)^{\frac{1}{2}}.$$

Стільки з варіаційним принципом Лагранжа [3, 5], переміщення, які виникають в оболонці, надають мінімуму функціоналу

$$I(u) = \frac{1}{2} \int_{\Omega} u^T [C^T \delta C u - 2P] A_1 A_2 d\omega_1 d\omega_2 \quad /3/$$

на множині функцій переміщень $u \in W_2^1(\Omega)$, $g \in W_2^1(\Omega)$, $w \in W_2^1(\Omega)$, що задовілюють геометричні граничні умови.

Тут $\Omega = \{d_1, d_2 : 0 \leq d_1 \leq 2\pi, d_2^0 \leq d_2 \leq d_2^e\}$; $u = (u, g, w)^T$

вектор переміщень точок серединної поверхні оболонки; C - матриця зв'язку між вектором U і вектором деформацій точок серединної поверхні $\varepsilon = (\varepsilon_1, \varepsilon_2, \omega_1, \omega_2, 2\tau)^T$;

$P = (P_1, P_2, P_n)^T$ - вектор поверхневого навантаження; B - матриця фізичних співвідношень теорії оболонок $\sigma = BE$, де $E = (T_1, T_2, S, M_1, M_2, H)^T$.

Розв'язок задачі про мінімум функціоналу /3/ шукаємо аналогічно як і в праці [4] у вигляді

$$U = \sum_{m=0}^M \Psi_m(\alpha_1) \Psi_m(\alpha_2),$$

де

$$\Psi_m(\alpha_i) = \begin{cases} \cos \frac{m}{2} \alpha_i, & (-1)^m > 0 \\ \sin \frac{m}{2} \alpha_i, & (-1)^m < 0. \end{cases}$$

Поділилиши область Ω на смуги

$$\Omega_i = \{\alpha_1, \alpha_2 : 0 \leq \alpha_i \leq 2\pi, \alpha_2^{i-1} < \alpha_2 < \alpha_2^i\}, i = 1, e,$$

побудуємо на заданій сукупності точок $\{\alpha_2^0, \alpha_2^1, \dots, \alpha_2^e\}$ скінченно-елементні апроксимації вектор-функції $\Psi_m(\alpha_2)$ так, щоб простір допустимих функцій, які наближають $\Psi_m(\alpha_2)$, не виходив із області визначення функціоналу /3/. На проміжку $[\alpha_2^{i-1}, \alpha_2^i]$ зобразимо вектор-функцію $\Psi_m(\alpha_2)$ у вигляді

$$\Psi_m(\alpha_2) = N^i(\alpha_2) q_m^i,$$

де $N^i = (N_{i-1}, N_i)$ - матриця, елементами якої є поліноми Ерміта першого і третього степенів; $q_m^i = (q_{mi-1}^T, q_{mi}^T)^T$ - вектор невідомих кузовних коефіцієнтів розкладів функцій $U, v, w, \frac{\partial w}{\partial \alpha_2}$.

Записуючи необхідну умову мінімуму функціоналу /3/ по параметрах q_m^i , одержуємо для їх визначення систему лінійних алгебраїчних рівнянь.

Щоб виконати чи можливо нехтувати радіусами волокон криволінійної труби, за вказаних схемах проведено числові розрахунки у випадку замкнутої тороподібної оболонки, пласка напрямна якої /1/ задана рівняннями

$$x = R_2 \cos \alpha_z, \quad y = R_2 \sin \alpha_z, \quad 0 \leq \alpha_z \leq 2\pi.$$

При цьому враховували такі варіанти спрощень:

а/ нехтування різниці радіусів волокон серединної поверхні труби у вихідних рівняннях при виведенні основних співвідношень методом;

б/ нехтування $\frac{R_1}{R_2} \sin \alpha_z, \frac{\beta'' x' - \beta' x''}{[x'^2 + \beta'^2]^{1/2}}$ у формулі для

$t(\alpha_z, \alpha_z)$ при обчисленні інтегралів по α_z , що входять у функціонал /3/;

в/ те ж саме, що і в пункті б/ лише в інтегралах, що входять тільки у квадратичну частину функціоналу.

На рис. I-3 показані графіки напруження σ_r / ρ_{cr} на зовнішній поверхні тора, навантаженого внутрішнім рівномірно розподіленим тиском / $E = 10^4$; $\nu = 0,3$; $h = 0,05$ / для різних відношень $\frac{R_1}{R_2}$.

Крива 1 відповідає розв'язку задачі за вказаних схемах [4] без будь-яких спрощень, крива 2 – зі спрощенням а/; крива 3 – зі спрощеннями б/, в/.

Порівнюючи отримані результати, бачимо, що найбільшу суттєву похибку в розв'язок вносить допущення а/. Переміщення і напруження у цьому випадку не збігаються і кількісно, і якісно з розв'язками, одержаними без вказаних допущень. Що ж стосується варіантів б/ і в/, то близьким до істинного є напруження σ_r , при значеннях відношення $\frac{R_1}{R_2}$, за яких для визначення розрахункових величин можна використати розв'язки для прямокутної оболонки з радіусом поперечного перерізу R_1 ($\frac{R_1}{R_2} < \frac{1}{100}$) .

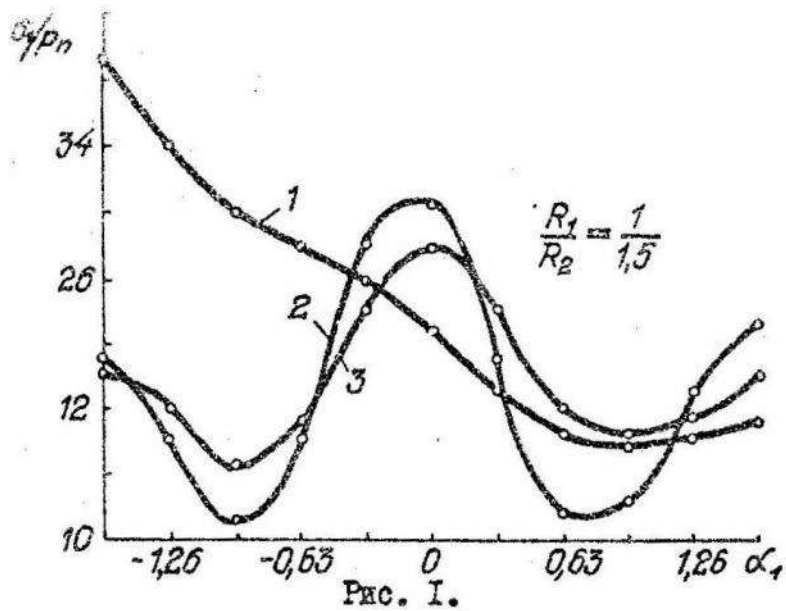


Рис. 1.

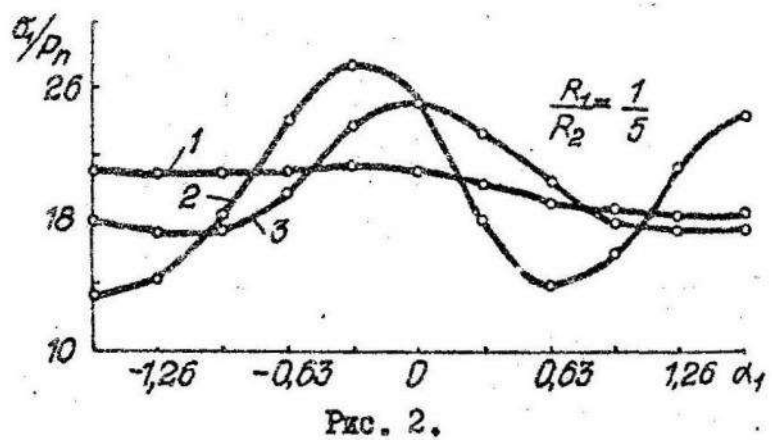


Рис. 2.

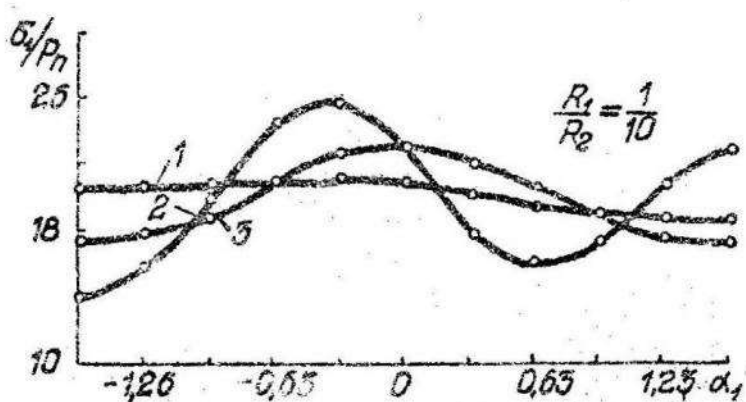


Рис. 3.

— 53 —

Таким чином, розв'язуючи задачі про пружну різновагу криволінійних труб в переміщеннях шляхом мінімізації функціоналу Лагранжа за вказаною схемою МСЕ, різницю радіусів волокон серединної поверхні нехтувати не можна.

Список літератури: 1. Аксельрад Э.Л. Гибкие оболочки. - М.: Наука, 1976. 2. Аксельрад Э.Л., Ильин В.П. Расчет трубопроводов. - Л.: Машиностроение, 1972. 3. Михлин С.Г. Вариационные методы в математической физике. - М.: Наука, 1970. 4. Савула Я.Г., Флейшман Н.П., Шинкаренко Г.А. Метод расчета труб с произвольной криволинейной осью. - Сопротивление материалов и теория сооружений, 1978, № 32. 5. Черных К.Ф. Линейная теория оболочек. - Л.: Изд-во Ленингр. ун-та, 1964. Т.2.

Стаття надійшла в редколегію ІЗ.ІІ.1979 р.

УДК 539.3

Р.І.Мокрик, Ю.А.Паздерський, В.Ф.Кочубей,

I.М.Гутор, I.В.Оліярник

СТАЦІОНАРНИЙ ТЕПЛООБМІН ПРИ РУСІ ГАЗУ
МІЖ ДВОМА СПІВОСНИМИ КРУТОВИМИ ЦИЛІНДРАМИ

Питання теплообміну в потоці в'язкого газу вивчено ще недостатньо. У праці [4] методом "стержневої" моделі проаналізовано температурне поле в турбулентному потоці газу. Нестаціонарний теплообмін в сущільній трубі в ламінарному потоці газу досліджено в працях [1, 3].

Ми розглядаємо задачу про визначення температурного поля в'язкого газу, який рухається між двома співосними круговими циліндрами радіусів ε_1 і ε_2 , $\varepsilon_2 > \varepsilon_1$, за умови, що газ нестисливий, теплофізичні параметри його постійні, тепlopровідність у напрямі осі симетрії z відсутня. Нехтуємо також тепловідводом за рахунок дисипації енергії.

Припускаємо, що температура зовнішньої і внутрішньої границь яка обмежує потік, підтримується постійною при відповідно величинах

T_1 і T_2 , а газ входить у досліджувану сольсти від стадії по-перерізу температурю T_0 і швидкість W_0 .

За цих умов наслідок осьової симетрії задача визначення температурного поля газу зводиться до розв'язування рівняння енергії тепlopровідного в'язкого газу

$$\frac{\partial^2 T}{\partial \rho^2} + \frac{1}{\rho} \frac{\partial T}{\partial \rho} = P_e W_T \frac{\partial T}{\partial \zeta} \quad /1/$$

при граничних умовах:

$$\begin{aligned} \zeta=0 & \quad T(\rho, 0)=1, \\ \rho=1 & \quad T(1, \zeta)=T_1, \\ \rho=N & \quad T(N, \zeta)=T_2, \end{aligned} \quad /2/$$

де $T=T(\rho, \zeta)$ - безрозмірна температура, що дорівнює температурі потоку, віднесений до величини температури на вході T_0 , $T_1 = \frac{T_1}{T_0}$

$T_2 = \frac{T_2}{T_0}$; $\rho = \frac{\rho}{\rho_0}$; $\zeta = \frac{\zeta}{\zeta_0}$; $N = \frac{\rho_0}{\rho}$; $P_e = \frac{W_0 \rho_0}{K}$ - критерій Пекле; $K = \alpha + \varepsilon_2$; α - коефіцієнт температуропровідності; ε_2 - коефіцієнт турбулентної температуропровідності.

Нелінійний профіль швидкості W_T течії Пузейля між співвісними циліндричними поверхнями [2], апроксимуючи поліномом другого степеня, запишемо у вигляді

$$W_T = \sum_{k=0}^2 \alpha_k \rho^k, \quad /3/$$

де

$$\alpha_0 = \beta N; \quad \alpha_1 = -\beta(1+N); \quad \alpha_2 = \beta;$$

$$\beta = \frac{\Delta P \zeta_0^2}{\mu l W_0^2} \left[\frac{(N-1)^2 - 2}{2(N-1)^2} + \frac{l \pi (N+1)}{l \pi (N)} \right];$$

ΔP - постійний перепад тиску на відстані l ; μ - коефіцієнт в'язкості газу.

Розв'язок задачі /1/ - /3/ зобразимо як

$$T(\rho, \zeta) = u_0(\rho, \zeta) + u_1(\rho, \zeta) + u_2(\rho, \zeta), \quad /4/$$

де u_0 - розв'язок крайової задачі

$$\frac{\partial^2 u_0}{\partial \rho^2} + \frac{1}{\rho} \frac{\partial u_0}{\partial \rho} = P_e \alpha_0 \frac{\partial u_0}{\partial \zeta},$$

$$u_0|_{\zeta=0} = 1; \quad u_0|_{\rho=1} = \frac{1}{3} T_1; \quad u_0|_{\rho=N} = \frac{1}{3} T_2,$$
/5/

а u_1 і u_2 - відповідно краївих задач

$$\frac{\partial^2 u_n}{\partial \rho^2} + \frac{1}{\rho} \frac{\partial u_n}{\partial \rho} = P_e \alpha_n \rho^n \frac{\partial u_n}{\partial \zeta}; \quad n=1,2,$$
/6/

$$u_n|_{\zeta=0} = 0; \quad u_n|_{\rho=1} = \frac{1}{3} T_1; \quad u_n|_{\rho=N} = \frac{1}{3} T_2.$$

Для знаходження розв'язків краївих задач /5/, /6/ скористаємося інтегральним перетворенням Лапласа по змінній ζ :

$$\tilde{u}_n(\rho, s) = \int_0^\infty u_n(\rho, \zeta) e^{-s\zeta} d\zeta. \quad /7/$$

$$u_n(\rho, \zeta) = \frac{1}{2\pi i} \int_{\sigma-i\infty}^{\sigma+i\infty} \tilde{u}_n(\rho, s) e^{s\zeta} ds. \quad /8/$$

Тоді для визначення трансформанти Лапласа функції u_0 отримаємо наступну граничну задачу:

$$\frac{\partial^2 \tilde{u}_0}{\partial \rho^2} + \frac{1}{\rho} \frac{\partial \tilde{u}_0}{\partial \rho} = P_e \alpha_0 (s \tilde{u}_0 - 1),$$
/9/

$$\tilde{u}_0|_{\rho=1} = \frac{1}{3} \frac{T_1}{s}; \quad \tilde{u}_0|_{\rho=N} = \frac{1}{3} \frac{T_2}{s}$$

і відповідно для u_1 та u_2

$$\frac{\partial^2 \tilde{u}_n}{\partial \rho^2} + \frac{1}{\rho} \frac{\partial \tilde{u}_n}{\partial \rho} = P_e \alpha_n \rho^n s \tilde{u}_n, \quad n=1,2,$$

$$\tilde{u}_n|_{\rho=1} = \frac{1}{3} \frac{T_1}{s}; \quad \tilde{u}_n|_{\rho=N} = \frac{1}{3} \frac{T_2}{s}. \quad /10/$$

Розв'язки задач /9/-/10/ мають вигляд

$$\tilde{u}_s(\rho, s) = \frac{1}{s} \left[1 + \left(\frac{1}{3} T_1 - 1 \right) \frac{F_{0,1}(\rho, \beta)}{F_{1,0}(\rho, \beta)} - \left(\frac{1}{3} T_2 - 1 \right) \frac{F_{0,1}(\rho, \beta)}{F_{1,0}(\rho, \beta)} \right],$$

$$\tilde{u}_1(\rho, s) = \frac{1}{3s} \left[T_1 \frac{F_{3/2, 3/2}(\rho, \beta')}{F_{3/2, 0}(\rho, \beta')} - T_2 \frac{F_{0, 3/2}(\rho, \beta')}{F_{3/2, 0}(\rho, \beta')} \right],$$

$$\tilde{u}_2(\rho, s) = \frac{1}{3s} \left[T_1 \frac{F_{2, 2}(\rho, \beta'')}{F_{2, 0}(\rho, \beta'')} - T_2 \frac{F_{0, 2}(\rho, \beta'')}{F_{2, 0}(\rho, \beta'')} \right],$$

Де

$$F_{m,n}(\rho, \beta) = J_0(\rho^m \beta) Y_0(N^n \beta) - J_0(N^m \beta) Y_0(\rho^n \beta);$$

$$\beta = \sqrt{-\alpha_s s P_e}; \quad \beta' = \frac{\rho}{3} \sqrt{-\alpha_s s P_e}; \quad \beta'' = \frac{1}{2} \sqrt{-\alpha_s s P_e};$$

$J_0(x), Y_0(x)$ — функції Бесселя першого і другого роду пульового порядку.

Застосувавши до /II/ формул обчислення інтегрального перетворення Лапласа і використавши /4/, дістамо функцію розподілу температурного поля, яка є розв'язком поставленої задачі /I/ — /3/, у вигляді:

$$\begin{aligned} T(\rho, \xi) = & 1 + \left(\frac{1}{3} T_1 - 1 \right) \left[W_{1,1}'(\rho) + 2 \sum_{m=1}^{\infty} \frac{F_{1,1}(\rho, \beta_m^0)}{M_1(\beta_m^0)} \exp(-L_0(\beta_m^0) \xi) \right] - \\ & - \left(\frac{1}{3} T_2 - 1 \right) \left[W_{3,1}^0(\rho) + 2 \sum_{m=1}^{\infty} \frac{F_{0,1}(\rho, \beta_m^0)}{M_1(\beta_m^0)} \exp(-L_0(\beta_m^0) \xi) \right] + \\ & + \frac{1}{2} T_1 \left[W_{\frac{3}{2}, \frac{3}{2}}(\rho) + 2 \sum_{m=1}^{\infty} \frac{F_{3/2, 3/2}(\rho, \beta_m^0)}{M_{3/2}(\beta_m^0)} \exp\left(-\frac{3}{4} L_1(\beta_m^0) \xi\right) \right] - \\ & - \frac{1}{3} T_2 \left[W_{\frac{3}{2}, \frac{1}{2}}^0(\rho) + 2 \sum_{m=1}^{\infty} \frac{F_{0, 3/2}(\rho, \beta_m^0)}{M_{3/2}(\beta_m^0)} \exp\left(-\frac{3}{4} L_1(\beta_m^0) \xi\right) \right] + \end{aligned}$$

$$+ \frac{1}{3} T_1 \left[W'_{2,2}(\rho) + 2 \sum_{m=1}^{\infty} \frac{F_{2,2}(\rho, \beta_m^2)}{M_2(\beta_m^2)} \exp(-4L_2(\beta_m^2)\zeta) \right] - \\ - \frac{1}{3} T_2 \left[W''_{2,2}(\rho) + 2 \sum_{m=1}^{\infty} \frac{F''_{2,2}(\rho, \beta_m^2)}{M_2(\beta_m^2)} \exp(-4L_2(\beta_m^2)\zeta) \right], \quad /12/$$

де

$$M_\alpha(\beta) = \beta [P_\alpha(\beta) + N^\alpha Q_\alpha(\beta)];$$

$$W_{\delta,\alpha}^{(k)}(\rho) = \frac{\rho^k - N^k}{1 - N^2}; \quad L_j(\beta) = \frac{\beta^2}{\alpha_j P_0};$$

$$P_\alpha(\beta) = Y_1(\beta) J_0(N^{1+\frac{k}{2}}\beta) - J_1(\beta) Y_0(N^{1+\frac{k}{2}}\beta);$$

$$Q_\alpha(\beta) = J_1(N^{1+\frac{k}{2}}\beta) Y_0(\beta) - J_0(\beta) Y_1(N^{1+\frac{k}{2}}\beta);$$

β_m^α – відповідно коренями рівняння

$$J_0(\beta) Y_0(\beta N^{1+\frac{k}{2}}) - J_0(\beta N^{1+\frac{k}{2}}) Y_0(\beta) = 0.$$

Відзначимо, що на основі формули /12/ можна отримати розв'язок аналогічної задачі, коли на межах області задані теплові потоки, або на одній межі тепловий потік, а на іншій температура.

Список літератури: 1. Александров В.А. Сопряженная стационарная задача теплообмена в полубесконечной трубе с движущейся жидкостью с учетом диссиляции механической энергии. – ИФН, 1968, т.14. 2. Лойцянский Л.Г. Механика жидкости и газа. – М.: Наука, 1970. 3. Петухов Б.М. Теплообмен и сопротивление при ламинарном течении жидкости в трубах. – М.: Энергия, 1967. 4. Stein R.P. Engineering relationships for turbulent forced convection heat transfer in ducts with flux transients - Report of Engineering and Technology Division Argonne National Laboratory. ENZ-7754, November 2, 1970.

Стаття надійшла в редакцію 10.02.1980 р.

Р. І. Мограт, І. В. Оскіпака
**ФУНДАМЕНТАЛНІ РОЗВ'ЯЗКИ ТЕМОВ"ЯЗКОПРУЖНОСТІ
 ДЛЯ ПСЕВДОКОЛІВАНЬ**

Як відомо [1, 2] у загальному випадку зв"язок між деформаціями і напруженнями для термов"язкопружного тіла задається співвідношенням

$$\begin{cases} P_1(d)S_{ij} = P_2(\alpha)e_{ij}, \\ P_3(\alpha)\sigma_{kk} = P_4(d)(\epsilon_{kk} - 3\alpha\epsilon, T); \end{cases} \quad /1/$$

де

$$S_{ij} = G_{ij} - \frac{1}{3}\delta_{ij}G_{kk}; e_{ij} = \epsilon_{ij} - \frac{1}{3}\delta_{ij}\epsilon_{kk};$$

$$P_i(d) = \sum_{n=0}^{\infty} a_i^{(n)} d^{(n)}, \quad i=1,2,3,4; \quad d^{(n)} = \frac{\partial^n}{\partial t^n}.$$

У випадку моделі Біс залежності між компонентами напруженого і деформованого стану мають такий вигляд:

$$S_{ij}(t) = 2 \int_0^t \alpha(t-\tau) \frac{\partial \epsilon_{ij}}{\partial \tau} d\tau + \delta_{ij} \left\{ \int_0^t \beta(t-\tau) \frac{\partial \epsilon_{kk}}{\partial \tau} d\tau - \int_0^t (\beta(t-\tau) + 2\alpha(t-\tau)) \frac{\partial \epsilon}{\partial \tau} d\tau \right\} /2/,$$

де $\alpha(t)$, $\beta(t)$ – функції часу, які у випадку ідеально пружного тіла відповідають постійним Яме μ_0 і λ_0 .

З формул /1/ випливають часткові випадки:

ідеально пруже тіло

$$P_1(d) = 1; \quad P_2(\alpha) = 2\mu_0; \quad P_3(d) = 1; \quad P_4(d) = 3K_0;$$

тіло Фойхта або Кельвіна

$$P_1(d) = 1; \quad P_2(\alpha) = 2\mu_0(1 + \tau_K \alpha); \quad P_3(d) = 1; \quad P_4(d) = 3K_0; \quad /3/$$

тіло Максвелла

$$P_1(d) = (1 + \tau_M \alpha) \frac{1}{2\mu_0 \tau_M}; \quad P_2(\alpha) = d; \quad P_3(d) = 1; \quad P_4(d) = 3K_0, \quad /4/$$

де K_0 – об'ємний модуль пружності ідеально пружного тіла; τ_K , τ_M – час релаксації тіла Кельвіна та Максвелла.

3 /I/, /2/ випливає система рівнянь термоз'язкопружності:

$$M(\vec{U}) = 0,$$

$$\Delta T - \frac{1}{\alpha} \frac{\partial T}{\partial t} - \frac{1}{C_g^2} \frac{\partial^2 T}{\partial t^2} - \gamma \operatorname{div} \vec{U} - \gamma \tau_z \operatorname{div} \vec{U} = 0, \quad /5/$$

де $M(\vec{U})$ дорівнює

у випадку формули /I/

$$M(\vec{U}) = L_1(d) \Delta \vec{U} + L_2(d) \operatorname{grad} \operatorname{div} \vec{U} - L_3(d) \alpha_t \operatorname{grad} T - L_4(d) \rho \vec{U},$$

$$L_1(d) = P_2(d) P_3(d); \quad L_2(d) = \frac{1}{3} [2P_4(d)P_1(d) + P_2(d)P_3(d)] \quad /6/$$

$$L_3(d) = 2P_4(d)P_1(d); \quad L_4(d) = 2P_1(d)P_3(d);$$

у випадку формули /2/

$$M(\vec{U}) = \int_0^t \left\{ \alpha(t-\eta) \frac{\partial}{\partial \eta} (\Delta \vec{U}) + [\alpha(t-\eta) + \beta(t-\eta)] \frac{\partial}{\partial \eta} \operatorname{grad} \operatorname{div} \vec{U} \right\} d\eta - \int_0^t c(t-\eta) \frac{\partial}{\partial \eta} \operatorname{grad} T d\eta - \rho \vec{U}; \quad C(t) = [3\beta(t) + 2\alpha(t)] \alpha_t.$$

Система рівнянь /5/ для випадку псевдоколивань набуває вигляду

$$B(\partial_x, \omega) \cdot U = 0, \quad /8/$$

де

$$U = \begin{pmatrix} \bar{U}_1 \\ \bar{U}_2 \\ \bar{U}_3 \\ T \end{pmatrix}; \quad B_{ij} = (\bar{\lambda} + \mu) \frac{\partial^2}{\partial x_i \partial x_j} + \delta_{ij} (\bar{\mu} \Delta + \omega^2 \rho) \quad i, j = 1, 2, 3;$$

$$B_{4j} = -\bar{\beta} \frac{\partial}{\partial x_j}, \quad j = 1, 2, 3; \quad B_{i4} = (\gamma i \omega + \gamma \omega^2 \tau_z) \frac{\partial}{\partial x_i}, \quad i = 1, 2, 3; \quad B_{44} = \Delta + \frac{i \omega}{\alpha} + \frac{\omega^2}{C_g^2};$$

$$\bar{\mu} = \frac{P_2(\omega)}{2P_1(\omega)}; \quad \bar{\lambda} = \frac{P_1(\omega)P_4(\omega) - P_2(\omega)P_3(\omega)}{3P_1(\omega)P_3(\omega)} \text{ у випадку /I/}; \quad /9/$$

$$\bar{\mu} = -i\omega\bar{\alpha}, \quad \bar{\lambda} = -i\omega\bar{\beta} \quad \text{у випадку /2/}; \quad /10/$$

$$\det B(\partial_x, \omega) = \bar{\mu}^2 (\bar{\lambda} + 2\bar{\mu})(\Delta + \lambda_1^2)(\Delta + \lambda_2^2)(\Delta + \lambda_3^2)^2;$$

$$\begin{cases} \lambda_1^2 + \lambda_2^2 = \frac{i\omega}{\alpha} + \frac{\omega^2}{C_g^2} + \frac{2i\omega + 2\tau_z\omega^2}{\bar{\lambda} + 2\bar{\mu}} \bar{\beta} + \frac{\rho\omega^2}{\bar{\lambda} + 2\bar{\mu}}, \\ \lambda_1^2 \cdot \lambda_2^2 = \left(\frac{i\omega}{\alpha} + \frac{\omega^2}{C_g^2} \right) \frac{\rho\omega^2}{\bar{\lambda} + 2\bar{\mu}}, \\ \lambda_3^2 = \frac{\rho\omega^2}{\bar{\mu}}. \end{cases} \quad /11/$$

За аналогією до підлі [3] введемо матрицю фундаментальних розв'язків системи /8/:

$$\Phi(x, \omega) = \|\Phi_{kj}\|_{q \times q}$$

$$\begin{aligned} \Phi_{kj} &= \sum_{n=1}^3 \left\{ (1-\delta_{kj})(1-\delta_{j4}) \left(\frac{\delta_{kj}}{2\mu\kappa} \delta_{3n} - d_n \frac{\partial^2}{\partial x_n \partial x_j} \right) + r_n [(i\omega_1 + \omega_1^2 \tau_1) \delta_{k4} (1-\delta_{j4}) \frac{\partial}{\partial x_j} - \right. \\ &\quad \left. - \beta \delta_{j4} (1-\delta_{k4}) \frac{\partial}{\partial x_k}] + \delta_{kj} \delta_{j4} P_n \right\} \frac{\exp(i\lambda_n |x|)}{|x|}, \\ d_n &= \frac{(-1)^n [1 - \left(\frac{i\omega}{\alpha} + \frac{\omega^2}{c_g^2} \right) \lambda_n^{-2}]}{2\pi (\bar{\lambda} + 2\bar{\mu})(\lambda_n^2 - \lambda_1^2)} (\delta_{1n} + \delta_{2n}) - \frac{\delta_{3n}}{2\bar{\kappa} \rho \omega^2}, \quad \sum_{n=1}^3 d_n = 0, \\ \delta_n &= \frac{(-1)^n (\delta_{1n} + \delta_{2n})}{2\pi (\bar{\lambda} + 2\bar{\mu})(\lambda_n^2 - \lambda_1^2)}, \quad \sum_{n=1}^3 \delta_n = 0; \quad P_n = \frac{(-1)^n (\lambda_n^2 - \kappa_1^2) (\delta_{1n} + \delta_{2n})}{2\pi (\lambda_n^2 - \lambda_1^2)}, \\ \sum_{n=1}^3 P_n &= 1, \quad \kappa_1^2 = \frac{\rho \omega^2}{\bar{\lambda} + 2\bar{\mu}}. \end{aligned} \quad /12/$$

Легко перевірити, що кожний вектор-стовпець у фундаментальній матриці $\Phi(x, \omega)$ має одну особливість у точці $x = 0$ порядку не вище $|x|^{-1}$. Крім цього, з /12/ випливає така теорема.

Теорема I. Кожний вектор-стовпець матриці $\Phi(x, \omega)$ задовільняє систему /8/ всіди в просторі R^3 за винятком початку координат.

Властивості фундаментальних розв'язків.

У випадку моделі Біо при

$$\alpha(t) = \mu_0 \exp(-\varepsilon t); \quad b(t) = \lambda_0 \exp(-\varepsilon t), \quad /13/$$

де ε^{-1} – час релаксації, з /10/ випливає

$$\bar{\mu} = \mu_0 \frac{\omega}{\omega + i\varepsilon}; \quad \bar{\lambda} = \lambda_0 \frac{\omega}{\omega + i\varepsilon}. \quad /14/$$

Для тіла Фойнга /адо Кельвіна/ $\bar{\lambda}$ і $\bar{\mu}$ дорівнюють

$$\bar{\lambda} = \lambda_0 + \frac{2}{3} \mu_0 i \omega \tau_1; \quad \bar{\mu} = \mu_0 (1 - i \omega \tau_K). \quad /15/$$

У випадку моделі Нанселла

$$\bar{\lambda} = \lambda_0 + \frac{2}{3} \mu_0 \frac{i \tau_K^{-1}}{\omega + i \tau_K^{-1}}, \quad \bar{\mu} = \mu_0 \left(1 - \frac{i \tau_K^{-1}}{\omega + i \tau_K^{-1}} \right). \quad /16/$$

Для даних членів характеристичні параметри λ_k ($k=1,2,3$) мають такі властивості:

a/ при $|\omega| \rightarrow \infty$ і $\Im \omega > 0$, $\lambda_k \sim O(1/\omega)$, $k=1,2,3$,

b/ $\Im \lambda_k > 0$ при $\Im \omega > 0$,

$\operatorname{Re} \lambda_k \geq 0$ при $\operatorname{Re} \omega \geq 0$.

Властивість а/ випливає безпосередньо з формули (II). Доведення властивості б/ для λ_k ($k=1,2$) /для параметра λ_3 дана властивість є очевидною/ базується на аналізі на підсайдиках листах ріманової поверхності характеристичних параметрів λ_k ($k=1,2$) функцій:

$$\rho(\omega) = \sqrt{\omega} \quad ; \quad q_k(\omega) = \sqrt{\psi_k(\omega)},$$

де

$$\psi_k(\omega) = \frac{1}{2} \left[\left(\frac{i}{\alpha} + \frac{\omega}{\alpha_1^2} + \frac{2i + 2T_1\omega}{\lambda + 2\bar{\alpha}} \bar{\beta} + \frac{\rho\omega}{\lambda + 2\bar{\alpha}} \right)^2 - \left(\frac{i}{\alpha} + \frac{\omega}{\alpha_1^2} + \frac{2i + 2T_1\omega}{\lambda + 2\bar{\alpha}} \bar{\beta} + \frac{\rho\omega}{\lambda + 2\bar{\alpha}} \right)^2 - 4 \frac{\rho\omega}{\lambda + 2\bar{\alpha}} \left(\frac{i}{\alpha} + \frac{\omega}{\alpha_1^2} \right) \right].$$

із яких $\lambda_k = \rho(\omega) \cdot q_k(\omega)$.

Теорема 2. Елементи матриці фундаментальних розв'язків $\phi(t, \omega)$ системи (6) є регулярними функціями комплексної змінної ω у півплощі $\Im \omega > 0$.

Твердження цієї теореми випливає з аналітичності у півплощі $\Im \omega > 0$ виразів

$$\beta_1 = \frac{\exp(i\lambda_1/\omega) - \exp(i\lambda_2/\omega)}{\lambda_2^2 - \lambda_1^2},$$

$$\beta_2 = \frac{\lambda_1^2 \exp(i\lambda_1/\omega) - \lambda_2^2 \exp(i\lambda_2/\omega)}{\lambda_2^2 - \lambda_1^2}.$$

Регулярність β_1 і β_2 у півплощі $\Im \omega > 0$ випливає з регулярності функцій

$$J_1 = \frac{\sin(\rho(\omega) \gamma_1(\omega))}{\rho(\omega)}, \quad J_2 = \cos(\rho(\omega) \gamma_2(\omega)),$$

де

$$\gamma_1(\omega) = \int_{\omega_0}^{\omega} \alpha_{21} \rho^{2k}(\omega') d\omega' \quad \rightarrow \text{регулярна функція в } \Im \omega > 0$$

$\rho^{(0)}(z) = \sum_{k=0}^{\infty} A_{2k+1} \rho^{(2k+1)}(z)/2^k$ — регулярна функція в Ім $z > 0$
за основі теореми про узагальнені аналітичні функції [2].

Список літератури: І. Йльюшин А.Л., Победря Б.К.
Основы математической теории термоэлектроупругости. — М.: Наука, 1970.
Д. В. Графов М.А., Аналитические функции. — М.: Наука, 1965.
Р. Курадзе В.Д., Гегелія Т.Г., Башелевишви
лія М.О., Курчуладзе Т.В. Трехмерные задачи математиче
ской теории упругости и термоупругости. — М.: Наука, 1976.

Світли підписано в рукописі 10.02.1980 р.

№ 539.3II

В.І. Гончарук, І.С. Драган
АНТИЛЮСКА ДЕФОРМАЦІЯ ТІЛА
І ТОЧКОВІ ОБМОГИ ПРУЖНОМ ЖИДІМЕНІЮМ

Досліджено антилюску деформацію тіла з котюсувним пружним вільно
здовж осей шириной $2a$ і висотою $2h$. Тіло перебуває
за дією зосереджених силових факторів і однорідного поля напружень
за безкоштовності в умовах антилюскої деформації /рис. I/.

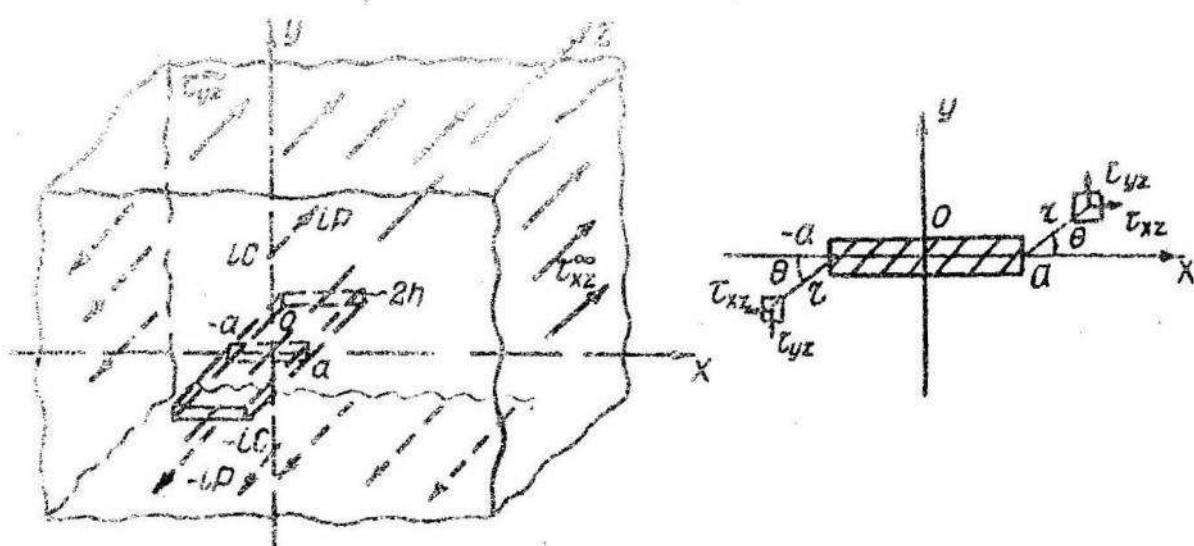


Рис. I.

Величини, які характеризують тонкостінне включення, позначаюмо з індексом нуль, знаками плюс і мінус – граничні значення функцій на верхньому та нижньому берегах включения, сегмент дійсної осі $[-a, a]$ – через L .

На берегах включения наявні умови сплошності:

$$\tau_{yz}^+ = (\tau_{yz})_0^+, \quad W^+ = W_0^+. \quad /1/$$

Як відомо [3], компоненти тензора напружень τ_{xz}, τ_{yz} переміщення w виражаються через одну аналітичну функцію $f(z)$

$$W(x, y) = \frac{1}{\mu} \operatorname{Re} f(z), \quad \tau_{xz} - i\tau_{yz} = f'(z) = F(z), \quad /2/$$

де μ – модуль зсуву матриці.

Для тонкостінного включения можемо записати аналогічно як у праці [2]:

$$(\tau_{yz})_0^+ - (\tau_{yz})_0^- = h Q'_1(x), \quad (\tau_{yz})_0^+ + (\tau_{yz})_0^- = P_1(x), \quad /3/$$

$$(W_0^+ - W_0^-)' = \frac{\mu}{\mu_0} P_1'(x), \quad (W_0^+ + W_0^-)' = \frac{1}{\mu_0} Q_1'(x),$$

де $P_1(x), Q_1(x)$ – невідомі функції.

Виходячи з /1/ і беручи до уваги /2/ і /3/, одержуємо такі крайові задачі:

$$F^+(x) - F^-(x) = h \left[\frac{\mu}{\mu_0} P'(x) + i Q'(x) \right], \quad /4/$$

$$F'_+(x) + F'_-(x) = \frac{\mu}{\mu_0} [Q(x) + i Q_0(x)] - i [P(x) + i P_0(x)], \quad /5/$$

із

$$Q_0(x) - i P_0(x) = 2 F_0(x); \quad \varepsilon = \frac{\min(\mu_0, \mu)}{\mu_0};$$

$$P(x) = P_0(x) - \varepsilon P_0(x); \quad Q(x) = Q_0(x) - \varepsilon Q_0(x);$$

$F_0(x)$ – розв'язок задачі для тіла без включения; $Q_0(x) \rightarrow P_0(x)$ – ділені функції.

Розв'язок задачі лінійного спривення /4/ має вигляд

$$F(z) = \frac{h}{2\pi i} \int_{-\alpha}^{\alpha} \frac{\left[\frac{\mu}{\mu_0} P(x) + i Q'(x) \right]}{x-z} dx + F_0(z). \quad /6/$$

Підставляючи /6/ у /5/, записуємо два сингулярних інтегро-диференціальних рівняння для визначення невідомих функцій $Q(x)$ і $P(x)$:

$$\frac{\mu}{\mu_0} Q(x) - \frac{h}{\pi} \int_{-\alpha}^{\alpha} \frac{Q'(t) dt}{t-x} = 2(1 - \frac{\mu}{\mu_0} \varepsilon) \operatorname{Re} F_0(x), \quad x \in L \quad /7/$$

$$P(x) - \frac{h\mu}{\pi\mu_0} \int_{-\alpha}^{\alpha} \frac{P'(t) dt}{t-x} = 2(\varepsilon-1) J_m F_0(x), \quad x \in L.$$

Розв'язок /7/ шукаємо у вигляді

$$\begin{pmatrix} Q(ax) \\ P(ax) \end{pmatrix} = -\sqrt{1-x^2} \sum_{m=1}^{\infty} \frac{1}{m} \begin{pmatrix} X_m \\ Y_m \end{pmatrix} U_{m-1}(x), \quad |x| \leq 1, \quad /8/$$

де $U_m(x)$ - поліноми Чебишова другого градуса; X_m, Y_m - невідомі коефіцієнти, для визначення яких після відповідних перетворень отримаємо дві квазірегулярні системи лінійних алгебраїчних рівнянь:

$$\frac{\pi h}{2a} X_n + \frac{\mu}{\mu_0} \sum_{m=1}^{\infty} R(m,n) X_m = 2 \left(\frac{\mu}{\mu_0} \varepsilon - 1 \right) \operatorname{Re} I_n, \quad /9/$$

$$\frac{\pi h \mu}{2a \mu_0} Y_n + \sum_{m=1}^{\infty} R(m,n) Y_m = 2(1-\varepsilon) J_m I_n, \quad (n=1,2,\dots),$$

де

$$I_n = \int_{-1}^1 \sqrt{1-x^2} U_{n-1}(x) F_0(ax) dx,$$

$$R(m,n) = \begin{cases} 0, \text{ якщо } (m+n) \text{ - непарне}, \\ \frac{i}{m(m+n+1)(m+n-1)} - \frac{i}{m(m+n)(m+n-1)}, \text{ якщо } (m+n) \text{ - парне}. \end{cases} \quad /10/$$

Підставляючи /8/ та /6/, знаходимо вираз для функції $F(z)$

$$F(z) = \frac{i}{2a} \sum_{m=1}^{\infty} \left(X_m - i \frac{\mu}{\mu_0} Y_m \right) \left[U_m \left(\frac{z}{a} \right) - \frac{a T_m \left(\frac{z}{a} \right)}{yz^{k-2}} \right] + f_2(z). \quad /11/$$

Із постановки задачі про напруженно-деформований стан такої конфігурації видно що, що досить розглянути розподіл напружень і переміщень в одному поперечному перерізі XOY . Розподіл напружень і переміщень в околі кінців вільччя можна записати у вигляді /рис. I/:

$$\tau_{xz} = \frac{i}{\sqrt{2}\varepsilon} (K_1 \cos \frac{\theta}{2} - K_2 \sin \frac{\theta}{2}) + O(\sqrt{\varepsilon}),$$

$$\tau_{yz} = \frac{i}{\sqrt{2}\varepsilon} (K_1 \sin \frac{\theta}{2} + K_2 \cos \frac{\theta}{2}) + O(\sqrt{\varepsilon}), \quad /12/$$

$$W = \frac{i\sqrt{2}\varepsilon}{2\varepsilon} (K_1 \cos \frac{\theta}{2} + K_2 \sin \frac{\theta}{2}) + O(\varepsilon^{3/2}),$$

де K_1 і K_2 - коефіцієнти інтенсивності напружень, які визначаються формулами

$$K_1 - iK_2 = - \frac{i}{2\sqrt{a}} \sum_{m=1}^{\infty} (-1)^{(m+1)(2-j)} \left(X_m - i \frac{\mu}{\mu_0} Y_m \right) \quad /13/$$

і $j=1$ для кінця $-a$ і $j=2$ для кінця a .

Зробивши у формулах /7/ або /9/ граничний перехід відповідно при $\mu \rightarrow \infty$, $\mu_0 \rightarrow 0$, $\mu_0 \rightarrow \mu$, враховуючи /6/ і /II/; маємо розв'язок наступних задач: для абсолютно короткого вільччя, концентрікового вільччя /роярізу/ і для тіла без вільччя; а із формули /10/ - відповідно розподіл напружень і переміщень для короткого вільччя і тріщини [1, 3].

Проведено числовий аналіз задачі для навантажень таких видів:
 а/ на нескінченності прикладені напруження τ_{xz}^{∞} і τ_{yz}^{∞} , зосереджені сили відсутні; б/ напруження на нескінченності відсутні, а в точках $Z = z \pm c$, відповідно прикладені зосереджені сили $t \mp P$. Системи рівнянь /9/ розв'язували методом редукції. Обчислення проводили при $a/h = 10$. На рис. 2 показана залежність кое-

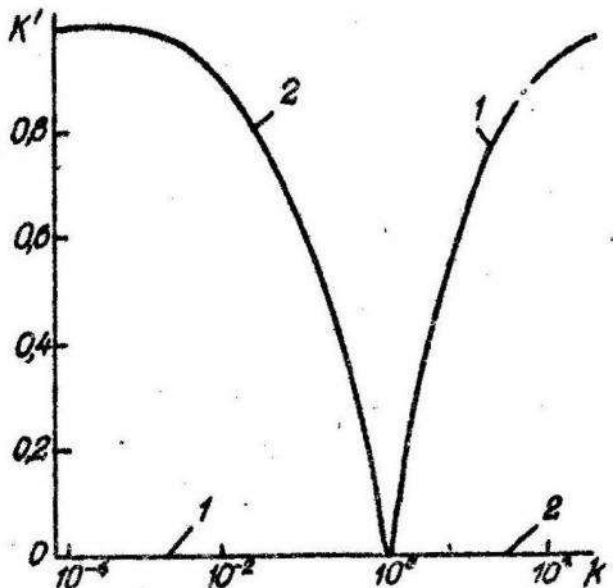


Рис. 2.

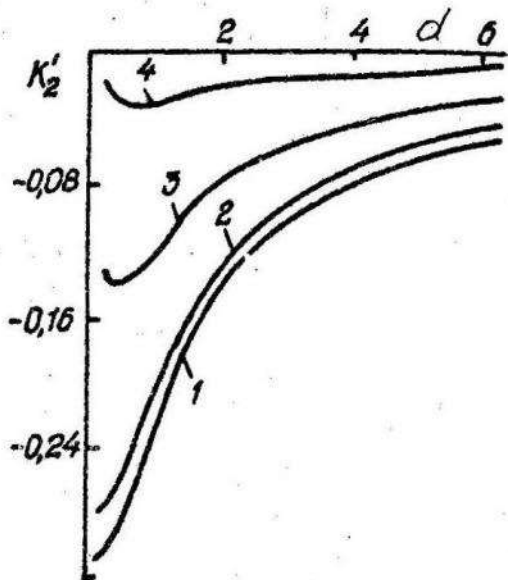


Рис. 3.

фіксантів інтенсивності напружень від відносної жорсткості включення $K = \mu_0/\mu$ для випадку а/. Крива I характеризує $K'_1 = K_1/(\sqrt{a} \tau_{xz}^{\infty})$, крива - 2 - $K'_2 = K_2/(\sqrt{a} \tau_{yz}^{\infty})$. Залежність $K'_2 = K_2 \sqrt{a}/P$ від відносної відстані між включнням і точкою прикладання сили $d - c/a$ для випадку б/ показана на рис. 3. Криві I-4 характеризуються послідовно такими значеннями параметра K : $10^{-3}; 10^{-2}; 10^{-1}; 0,5$. Числовий розв'язок, отриманий для $K = 10^{-3}$ з точністю до 3%, збігається з аналітичним розв'язком для тріщини /розрізу/.

Список літератури: І. Бережникікий Л.Т., Нень М.П. Антиплоскі деформації тіла з жесткими включннями. - Проблемы прочности, 1975, № 8. 2. Ураган М.С., Опакасович В.К. Напряженное состояние волокна /балки/ с промежуточным тонкостенным включением. - ЦММ, 1979, т.43, № 2. 3. Панасюк В.В., Саврук М.Л., Гайдичник А.Н. Розподілення напружень сколо тріщин в пластинках з оболочками. - Київ: Наукова думка, 1976.

Стаття надійшла в редакцію 25.02.1980 р.

В.О.Лихачов, Н.П.Флейшман

ПРО РОЗВ'ЯЗОК РІВНЯНЬ ТЕОРІЇ ПРУЖНОСТІ
ДЛЯ АНІЗОТРОПНОГО ШАРУ

Розв'язок, який пропонується, є узагальненням нашої попередньої праці¹ на випадок анізотропних пружних тіл. Він ілюструється на задачах про рівновагу трансверсально-ізотропного та ортотропного пружних шарів ($0 \leq x_3 \leq h$, $-\infty < x_1, x_2 < \infty$).

Для трансверсально-ізотропного тіла компоненти переміщень і напружень виражають у вигляді

$$\sigma_{\alpha\alpha} = C_{12}\theta + (C_{11} - C_{44}) \frac{\partial^2 \varphi_\alpha}{\partial x_\alpha^2}, \quad \sigma_{\alpha\beta} = C_{44} \frac{\partial^2 (\varphi_\alpha + \varphi_\beta)}{\partial x_\alpha \partial x_\beta},$$

$$u_\alpha = \frac{\partial \varphi_\alpha}{\partial x_\alpha}, \quad /1/$$

де функції $\varphi_\alpha (x_1, x_2, x_3)$ визначаються зі системи рівнянь

$$C_{44} \nabla^2 \varphi_\alpha + (C_{11} - C_{12} - 2C_{44}) \frac{\partial^2 \varphi_\alpha}{\partial x_\alpha^2} = -(C_{44} + C_{11})\theta, \quad /2/$$

$$\text{де } \theta = \frac{\partial^2 \varphi_1}{\partial x_1^2} + \frac{\partial^2 \varphi_2}{\partial x_2^2} + \frac{\partial^2 \varphi_3}{\partial x_3^2},$$

C_{11} , C_{12} , C_{44} – пружні сталі матеріалу; індекси $\alpha \neq \beta$ набувають значення 1, 2, 3.

Якщо ввести інтегральне перетворення Фур'є відносно змінних x_1 , x_2 , то система /2/ у просторі зображень зводиться до

$$\frac{d^2 \bar{\varphi}_\alpha}{dx_3^2} - \alpha_\alpha^2 \bar{\varphi}_\alpha = \delta_\alpha \theta, \quad /3/$$

¹Лихачов В.А., Флейшман Н.П. Об одной из форм решений уравнений теории упругости. – Динамика и прочность машин, 1974, вып. 19.

$\vartheta = S_1^2 \Psi_1 + S_2^2 \Psi_2 + \frac{\alpha^2 \tilde{\theta}}{\alpha x_3}$. Коефіцієнти A_α, B_α залежать від смідів S_1, S_2 змінних x_1, x_2 і пружних сталіх матеріалу.

Припускаючи тимчасово, що права частина рівняння /3/ відома, шляхом інтегрування визначаємо x_3

$$\Psi_2 = A_\alpha \operatorname{cha}_\alpha x_3 + B_\alpha \operatorname{sha}_\alpha x_3 - \frac{B_\alpha}{A_\alpha} \int_0^{x_3} \tilde{\theta}(S_1, S_2, \xi) \operatorname{cha}_\alpha(x_3 - \xi) d\xi, \quad /4/$$

де A_α, B_α - сталі інтегрування.

Якщо підставити вираз /4/ у /3/, то дістанемо інтегральне рівняння відносно функції $\tilde{\theta}(S_1, S_2, x_3)$:

$$B_1 C_{44} - C_{11} \tilde{\theta} = \sum_{i=1}^3 S_i^2 (A_i \operatorname{cha}_i x_3 + B_i \operatorname{sha}_i x_3) - \int_0^{x_3} \tilde{\theta}(S_1, S_2, \xi) \sum_{i=1}^3 \frac{B_i}{A_i} \operatorname{sha}_i(x_3 - \xi) d\xi. \quad /5/$$

Шляхом послідовного диференціювання по x_3 та після виключення відповідних інтегралів рівняння /5/ зводимо до звичайного диференціального рівняння

$$\tilde{\theta}'' - g_1 S_2 \tilde{\theta}'' + g_2 S^4 \tilde{\theta}'' - g_3 S^6 \tilde{\theta} = 0 \quad /6/$$

з певними краївими умовами на $\tilde{\theta}^{(k)}$ ($k = 0, 1, 2$) при $x_3 = 0$.

Відомі коефіцієнти g_i залежать від пружних сталіх систем /2/.

Після визначення $\tilde{\theta}$ з рівняння /6/ функції Ψ_α знаходимо з формул /4/.

Застосовуючи перетворення Фур'є також до відповідних краївих умов задачі при $x_3 = 0$ та $x_3 = h$, одержуємо рівняння, які слугують для визначення A_α, B_α . Знаки зображення Ψ_α відомим способом знаходимо окремо, а потім компоненти напружень і перемішень /1/.

У випадку ортотропного мату задача розв'язується аналогічно.
Для визначення функцій φ_2 у просторі зображені замість /3/ отримаємо систему

$$\frac{d^2\varphi_2}{dx_3^2} - d_2 \bar{\vartheta}_2 = c_2 \bar{\theta}_2, \quad /7/$$

де d_2 , c_2 залежать від дев'яти пружних стальних матеріалу.

$\bar{\theta}_2 = \bar{\theta}_2 -$ від $\bar{\varphi}_1$, $\bar{\varphi}_2$, $\bar{\varphi}_3$; а $\bar{\theta}_3$ - тільки від $\bar{\varphi}_1$ та $\bar{\varphi}_2$.

Розв'язок системи /7/ також зводиться до крайової задачі типу /6/ відносно $\bar{\theta}_1$, після визначення якої знаходимо всі шукані функції $\bar{\varphi}_1$, $\bar{\varphi}_2$, $\bar{\theta}_3$, та, нарешті, φ_3 .

Без принципових ускладнень запропонований розв'язок узагальнюється на випадок довільної анізотропії.

Стаття надійшла в редколегію 10.03.1980 р.

УДК 539.3+4+4.:621.81

М.В.Сулим, Г.Т.Сулим

ПРО МІЦНІТЬ ЗВАРНИХ З'ЄДНАНЬ ТРУБОПРОВОДІВ

Згідно з механікою крихкого руйнування міцність механічної конструкції з тріщиноподібними дефектами визначається коефіцієнтами інтенсивності напружень /КІН/ [1].

Розглянемо метод оцінки КІН біля поздовжньої тріщини всередині зварного шва тонкої циліндричної оболонки, яка завантажена внутрішнім тиском P , розтягується зусиллям P і скручується моментом M .

Радіус кривини серединної поверхні оболонки R , товщина стінки $R^0 \ll R$, ширина зварного шва $2H$. Вздовж серединної лінії шва, що утворює кут γ з твердою оболонкою, локалізовано тріщиноподібні дефекти, довжина яких мала порівняно з R . Найчастіше ц. дефекти не мають наскрізної природи, проте, розглядаючи гіркий для міцності трубопроводу випадок, вважатимемо їх наскрізними.

Розглянемо модельне зображення внутрішнього та зовнішнього поверхневого дефекту, сокілки на стінки внутрішньої тріщини діє додатково внутрішній тиск ρ . Експлуатація трубопроводів підтвердила, що процес руйнування найчастіше починається саме від внутрішньої тріщини. Побудована механічна модель допускає спрощення, якщо врахувати, що при $R^0 \ll R$ і вказаному зовнішньому навантаженні напружений стан обслонки можна вважати безмоментним, а трубу - в узагальнено-му плоскому напруженому стані.

Таким чином, поставлену задачу можна звести до вивчення напруженодеформованого стану тонкої пластинки, що містить смугу шириною $2H$ з іншими пружними постійними та системою колінеарних розрізів уздовж осьової лінії, коли на безмежності задано нормальні та дотичні напруження /рис. I/

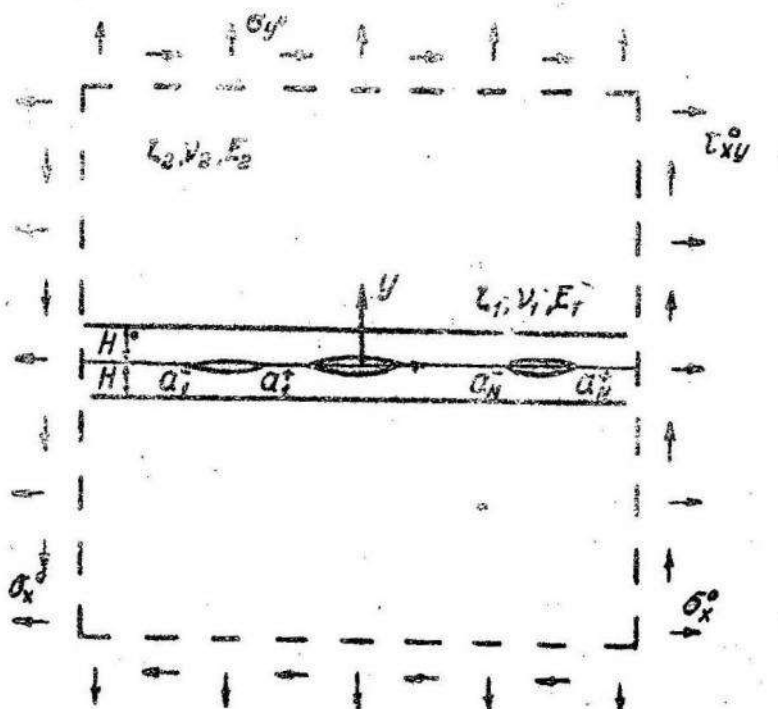


Рис. I.

$$\sigma_y^0 = \frac{1}{2} [\sigma_y^0 + \sigma_z^0 + (\sigma_y^0 - \sigma_z^0) \cos 2\gamma - 2\tau_{xy}^0 \sin 2\gamma],$$

$$\sigma_z^0 = \frac{1}{2} [\sigma_y^0 + \sigma_z^0 - (\sigma_y^0 - \sigma_z^0) \cos 2\gamma + 2\tau_{xy}^0 \sin 2\gamma],$$

$$\tau_{xy}^0 = \frac{1}{2} (\sigma_y^0 - \sigma_z^0) \sin 2\gamma + \tau_{xy}^0 \cos 2\gamma,$$

/I/

цимчому $G_z^0 = P/2\pi R^2 K$, $G_y^0 = PR/K^2$, $T_{xy}^0 = P/2\pi R^2 K$. Зокрема, коли краї труби закриті заглушками і вона знаходиться під впливом лише гідростатичного тиску, то $P = \kappa R^2 \rho$, $M = 0$ і тоді $G_y^0 = G_z^0 = \rho R/K^2$, $\varepsilon_{xy}^0 = 0$. Пружні постійні смуги /шва/ приймаємо рівними $E_1 = E$, $\nu_1 = \nu$, μ_1 , пластини /труби/ - $E_2 = E_1$, $\nu_2 = \nu_1$, μ_2 .

Розрізи всередині смуги розташовані вздовж лінії $L' = \bigcup_{k=1}^N [\alpha_k, \alpha_k]$ і знаходяться під впливом внутрішнього тиску A_P , де $A=0$, якщо розріз моделью зовнішній дефект, та $A=1$ у випадку внутрішнього.

На основі результатів праці [3] неважко показати, що розв'язок поставленої задачі полягає у знаходженні функцій $f_1(x)$ та $f_2(x)$, які задовільняють сингулярні інтегральні рівняння

$$\frac{1}{\pi} \int_{L'} \frac{f_j(t) dt}{t-x} + \int_{L'} K_j^{jj}(x,t) f_j(t) dt = F_j(x) \quad (x \in L', j=1,2), \quad (2)$$

де

$$\{K''(x,t), K''(x,t)\} = \frac{1}{\pi} \int_0^\infty \left\{ \bar{q}_j(\omega)/\bar{q}_0^+(\omega); q_j^+(\omega)/\bar{q}_0^-(\omega) \right\} \sin \omega(t-x) d\omega;$$

$$q_0^{\pm}(\omega) = c, d, e^{-2\omega H} \pm 4\omega H c, -e^{2\omega H};$$

$$q_j^{\pm}(\omega) = c_j + d_j + C_j(4\omega^2 H^2 \pm 4\omega H - 2d, e^{\mp 2\omega H});$$

$$C_j = 1 - e_{21}/c_{12}, \quad d_j = 1 - e_{21}/c_{21}; \quad C_{ij} = \mu_i + \mu_j \chi_i, \quad \varphi_{ij} = \mu_i(1 + \chi_j);$$

$$\chi_{ij}^+ = 2\mu_j/(1 + \chi_j) = E_j/4; \quad \chi_{ij}^- = (3 - \nu_j)/(1 + \nu_j);$$

$$F_j(x) = \tau_{xy}^0 / l_{jj}^+; \quad F_g(x) = (A_P + G_y^0) / l_{jj}^+$$

Коли ширину смуги спрямувати до безмежності, то отримаємо інтегральні рівняння для системи колінеарних розрізів у безмежній пластині з пружними властивостями зварного шва /2/ при $K_j^{jj}(x,t) \neq 0$. Ці ж рівняння наявні, якщо довжина кожного розрізу прямує до нуля.

Коли $H \rightarrow 0$, то масмо подібні рівняння лише у F_1 (2) слід замінити на ℓ_{12}^+ . Вони описують задачу про щілини у пластинці з пружними властивостями труби.

КІН біля n -ї тріщини всередині зварного шва визначається співвідношенням

$$K_{2,1}^{(n)} - i K_{2,1}^{(n)} = \pm \ell_{12}^+ \lim_{S_n \rightarrow 0} [\sqrt{S_n} (f_2(x) - i f_1(x))], \quad S_n = \pm (\sigma_n^+ x) \quad (x \in \mathcal{L}'). \quad /3/$$

Верхній знак беремо, якщо розглядають правий кінець тріщини, і нижній, коли лівий край. КІН біля n -ї щілини у безмежній пластинці з пружними властивостями труби

$$K_1^{(n)} - i K_2^{(n)} = \pm \ell_{12}^+ \lim_{S_n \rightarrow 0} [\sqrt{S_n} (f_2(x) - i f_1(x))]. \quad /4/$$

Якщо ширину шва спрямувати до нуля та взяти до уваги, що функції $f_j(x)$ мають фізичний сенс похідних отрибоків переміщень країв розрізу, а отже, при $H \rightarrow 0$ змінюються неперервно, то порівняння (середні) /3/ і /4/ дає

$$\lim_{H \rightarrow 0} (K_{2,1}^{(n)} - i K_{2,1}^{(n)}) = K (K_1^{(n)} - i K_2^{(n)}), \quad K = \ell_{12}^+ / \ell_{12}^+ = E_1 / E_2. \quad /5/$$

Зокрема, для розглянутого у цій роботі павантаження при одній щілині довжині

$$\lim_{H \rightarrow 0} (K_{2,1}^{(n)} - i K_{2,1}^{(n)}) = K \sqrt{\alpha} (A p + G_y^0 - i \Gamma_{xy}^0). \quad /6/$$

Із застосуванням методу ортогональних поліномів [4] здійснено розв'язок рівнянь /2/ для однієї тріщини $\mathcal{L}' = [-\alpha, \alpha]$. При обчислюваннях вважали $y_1 = y_2 = \frac{1}{3}$ і досліджували вплив відносної ширини смуги H/α та її відносної жорсткості K на зміну КІН. Результати обчислень, проведених з точністю до 1%, показано на рис. 2, 3. Підтверджується значний вплив на КІН ширини смуги, що моделює зварний шов, і її механічних властивостей. Виявлено, що зі зменшенням H/α при $K > 1$ КІН збільшуються, а при $K < 1$ - зменшуються, причому при меншій жорсткості матеріалу шва КІН не перевищують відповідних

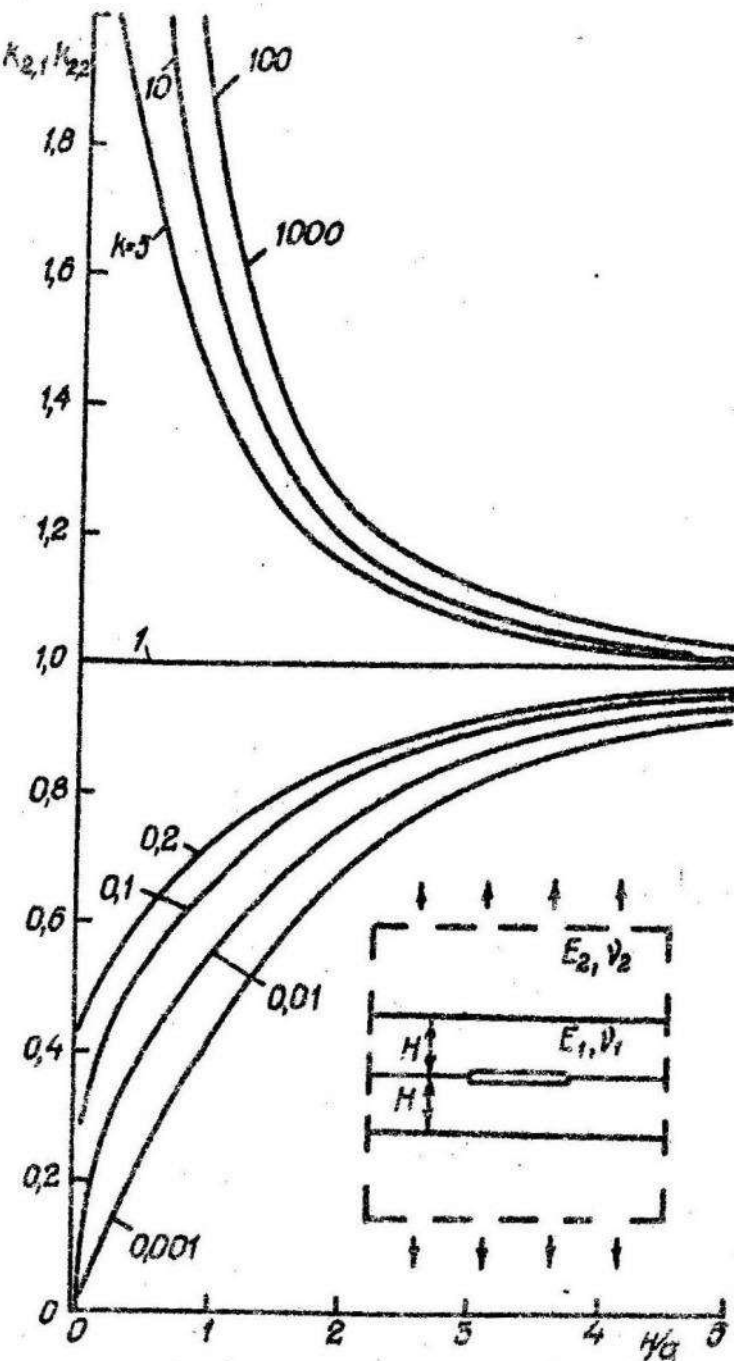


Рис. 2.

значенів, отриманих для розраїв у однорідній пластинці. Якщо $K > 1$, то КП більші від значень, даних розв'язком для однорідної пластинки, але менші від тих, які визначаються правово частинов співвідношенням /6/.

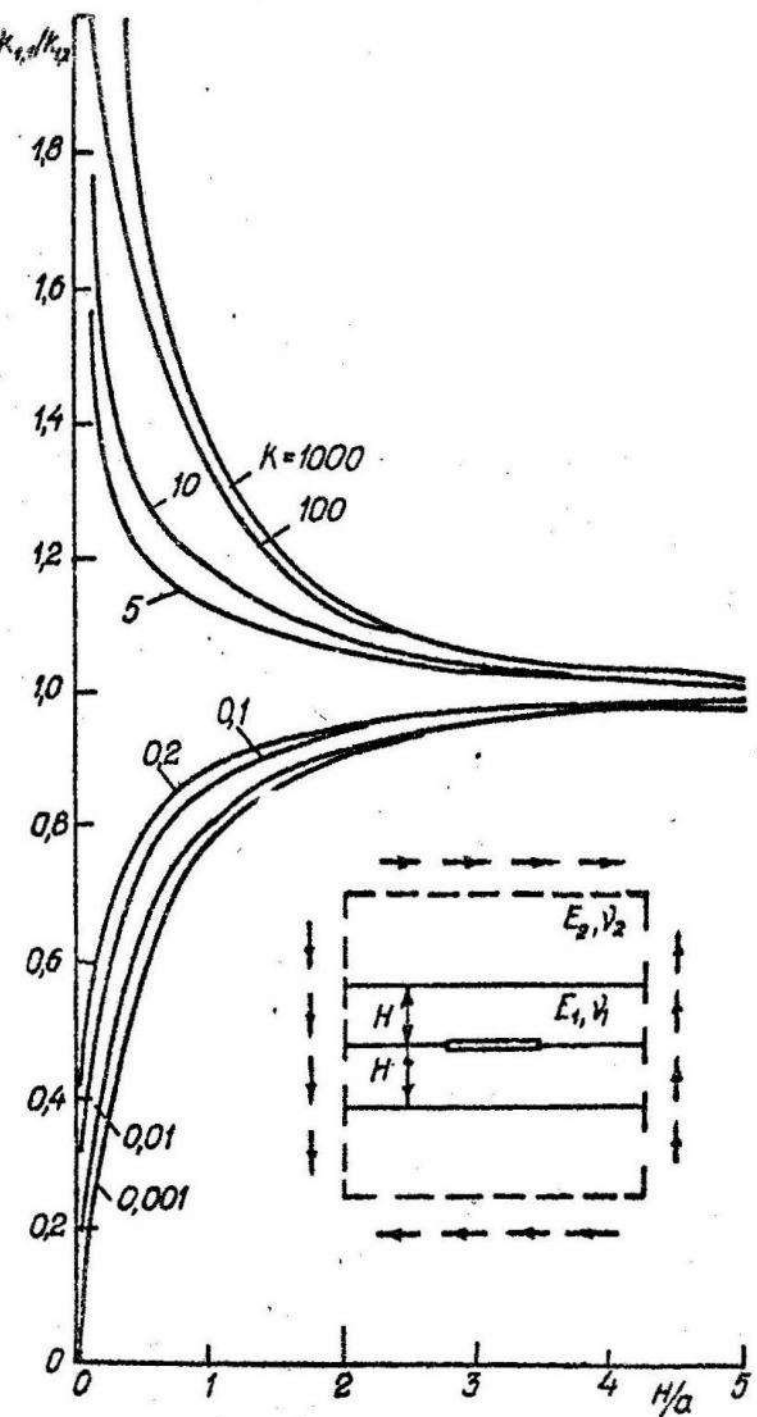


Рис. 3.

Оскільки знайти точну локалізацію дефекту в зварному шві не завжди можливо, то слід вважати за доцільне оцінити зверху значення КІН тріщини у зварному шві за допомогою КІН біля тріщини в однорідній пластинці з пружними характеристиками труби, домножених на коефіцієнт κ^{σ} .

$$K_{2,i}^{(n)} - \varepsilon K_{2,i}^{(n)} = K^0 (K_i^{(n)} - \varepsilon K_i^{(n)}), \quad K^0 = \max(1, E_r/E_s). \quad /7/$$

Можна припустити, що результати /5/ - /7/ більш точно описуть граничне значення КІН біля тріщини у зварному шві, якщо під K_1 , K_2 розуміти значення КІН біля тріщини у циліндричній трубі [2].

Отримані результати безпосередньо застосовуються для оцінки міцності шаруватих композитів.

Список літератури: І. Васильченко Г.С., Кошелев П.Ф. Практическое применение механики разрушения для оценки прочности конструкций. - М.: Наука, 1974. 2. Панасюк В.В., Саврук М.П., Дацьшин А.П. Распределение напряжений около трещин в пластинах и оболочках. - Киев: Наукова думка, 1976. З. Сулим Г.Т., Грилицкий Д.В. Интегральные уравнения задачи о напряженном состоянии кусочно-однородной плоскости с трещинами. - ФХМ, 1975, т.II, № 5. 4. Сулим Г.Т., Грилицкий Д.В. Решение сингулярных интегральных уравнений плоской задачи об упругом равновесии составных тел с трещинами. - ФХМ, 1976, т.II, № 2.

Стаття надійшла в редакцію 10.03.1980 р.

УДК 536.24

Й.З.Піскозуб, Г.Т.Сулим

ВПЛИВ ЛІНІЙНОГО ВКЛЮЧЕННЯ НА ТЕМПЕРАТУРНЕ ПОЛЕ

ВІД ДИПОЛЯ ТЕПЛА

Розглядаємо плоску стаціонарну задачу теплопровідності без врахування тепловіддачі через бічні поверхні для складеного тіла з тонкостінними прошарками-включениями на межі розділу компонентів. На осі абсцис $L = L' \cup L''$ декартової системи координат $X \circ Y$ розташована система N симетричних включень малої товщини $2h(x)$, так що $L' = \bigcup_{n=1}^N L_n$, де $L_n = [a_n^-, a_n^+]$ і на торцях включень $\lambda(a_n^\pm) = 0$. Вздовж верхньої L'_1 та нижньої L'_2 границь включень застосовується

Ідеальний тепловий контакт з півплощинами S_1 , S_2 , що мають різні теплофізичні властивості та на L' контактують безпосередньо. Задані теплові диполі /дублети [I]/ інтенсивності $q_{0\kappa}$ з орієнтацією α_κ у точках $Z_\kappa = x_\kappa + iy_\kappa$ областей S_κ ($\kappa = 1, 2$) та інтенсивності q_{0o} з орієнтацією α_o у точці $Z_o = x_o$ на осі деякого включення. Коефіцієнти теплопровідності включень, нижньої та верхньої півплощин дорівнюють відповідно λ_o , λ_1 , λ_2 . Необхідно визначити розподіл температури в матриці.

Аналогічна задача при дії потоку тепла та джерел тепла розглянута у працях [4, 5].

Шукане температурне поле $t(z)$ зобразимо [4, 5] у вигляді суперпозиції $t(z) = t_1(z) + t_2(z)$ основного температурного поля $t_1(z)$, яке відповідає задачі для контакуючих півплощин при відсутності включень

$$t_1(z) = -m_\kappa \operatorname{Re} \left[\frac{e^{i\alpha_\kappa}}{z - Z_\kappa} \right] - (n_\kappa - n_i) m_\kappa \operatorname{Re} \left[\frac{e^{i\alpha_\kappa}}{z - Z_\kappa} \right] - 2n_i m_i \operatorname{Re} \left[\frac{e^{i\alpha_i}}{z - Z_i} \right] + t^o, \quad /I/$$

$$(z \in S_\kappa; \kappa, i = 1, 2; \kappa \neq i),$$

де $m_j = \frac{q_{0j}}{2\pi\lambda_j}$; $n_j = \frac{\lambda_j}{\lambda_1 + \lambda_2}$; t^o – постійна, та збуреного температурного поля $t_2(z)$, викликаного наявністю включень. Для визначення скачка $\gamma_2(x)$ поля $t_2(z)$ на включеннях одержане сингулярне інтегро-диференціальне рівняння типу Прандтля

$$\frac{1}{\pi} \int_{L'} \frac{t_2'(t)}{t - x} dt - \alpha(x) \gamma_2(x) = F(x), \quad \delta_n(x_n^+) = 0 \quad /2/$$

$$(x \in L', n = 1, N),$$

де

$$F(x) = (1 - \alpha) g(x) - \frac{\lambda_1 - \lambda_2}{\lambda_2 + \lambda_1} S(x); \quad \alpha(x) = \frac{2x}{h(x)}, \quad x = \frac{x_o}{2n_i \lambda_i};$$

$$g(x) = 2 \sum_{\kappa=1}^2 m_\kappa \operatorname{Im} \left[\frac{e^{i\alpha_\kappa}}{(x - Z_\kappa)^2} \right]; \quad S(x) = \frac{4\lambda_o m_o h(x)(x - x_o) \cos \alpha_o}{[(x - x_o)^2 + h'(x)]^2}.$$

Якщо скачок $\gamma_2(x)$ відомий, то поле $t_2(z)$ визначається формулами /10/ [5] чи /3/ [4]. З рівняння /2/ випливають аналітичні розв'язки у часткових випадках теплоізользованих / $\lambda_o = 0$ / і теплопровідних / $\lambda_o = \infty$ / включень [4, 5].

Для прикладу розглядаємо одне включення, розташоване вздовж відрізка $L' = [-a, a]$, коли $h(x) = h_0 [1 - (\frac{x}{\alpha})^2]^{q/2}$, ($q \geq 1$). Скористаємося розкладом [4, 5]

$$T'_2(x) = \frac{a}{\sqrt{\alpha^2 - x^2}} \sum_{p=1}^{\infty} A_p T_p(\frac{x}{\alpha}), T_2(x) = -\sqrt{\alpha^2 - x^2} \sum_{p=1}^{\infty} \frac{A_p}{p} U_{p-1}(\frac{x}{\alpha}), \quad /3/$$

коєфіцієнти якого визначають із системи лінійних алгебраїчних рівнянь

$$\frac{\pi}{2} A_{K+1} + d_0 \sum_{p=1}^{\infty} A_p H_{pk}^q = F_k \quad (k = 0, 1, \dots), \quad /4/$$

де

$$H_{pk}^q = \frac{\pi \Gamma(2q)}{p 4^q} \sum_{l=1}^p \frac{(-1)^{l+1} \sin(p_l \pi)}{\Gamma(1+q+p_l) \Gamma(q-p_l)}; \quad F_k = \int_{-1}^1 F(at) \sqrt{1-t^2} U_{k-1}(t) dt;$$

$$d_0 = \frac{2e\alpha}{h_0}; \quad q = 1 - \frac{1}{2q}; \quad 2p_l = k - (-1)^l p \quad (l = 1, 2).$$

Введемо коефіцієнт інтенсивності потоку тепла /КПТ/ - аналог коефіцієнта інтенсивності напружень у задачах антиплоскої деформації [2]. Якщо для розглядуваного включения застосувати "принцип мікроскопа" [6], тобто ввести полярну систему координат (t, θ) у кінцях включения $\pm(z \pm \alpha) = \pm e^{i\theta}$ і скористатись асимптотичним виразом /22.5/ [3]

$$\frac{i}{\pi} \int_{-\alpha}^{\alpha} \frac{T'_2(t)}{t-z} dt = \frac{1}{z} T'_2(x) \sqrt{\alpha^2 - x^2} \Big|_{x=\pm\alpha} / \sqrt{2\alpha z e^{i\theta}} + O(1), \quad /5/$$

то з закону Фур'є можна одержати в околі кінців включения наступну асимптотичну поведінку складових q_s теплового потоку в напрямі i температури:

$$\{q_x, q_y, q_z\} = \frac{K_q}{\sqrt{2z}} \left\{ \sin \frac{\theta}{2}, -\cos \frac{\theta}{2}, -\sin \frac{\theta}{2} \right\} + O(1),$$

$$t = \frac{\sqrt{2z}}{\lambda_K} K_q \sin \frac{\theta}{2} + O(e^{\pm i\theta}), \quad /6/$$

де $K_q = \pm W^\pm / \sqrt{2}$, $W^\pm = \lim_{x \rightarrow \pm\alpha} \sqrt{1+\alpha^2-x^2} \lambda_K T'_2(x) \quad (K=1,2)$.

Зазначимо, що верхні знаки позначають КПТ в околі правого кінця відхилення, а нижні - лівого. Значення індекса κ відповідає піввимірні, в якій визначається КПТ.

Використовуючи /3/, маємо

$$K_q = \pm \frac{\sqrt{a}}{2} \lambda_\kappa \sum_{p=1}^{\infty} (-1)^p A_p \quad (\kappa=1,2). \quad /7/$$

Числовий розв'язок системи рівнянь /4/ проведено на ЕОМ ЕС-1022 для однорідної площини / $\lambda_1 = \lambda_2$ / при різних значеннях параметрів q , $\lambda = \lambda_0/\lambda_1$, $z_\kappa = x_\kappa + iy_\kappa$ ($\kappa=1,2$). Для дослідження 1%-ної точності при $|x| \leq 0,95\alpha$ у найнесприятливішому випадку прямокутного / $q = \infty$ / абсолютно теплопровідного / $\lambda = \infty$ / відхилення при $|y_\kappa| \geq 0,5\alpha$ досягає обмежитися першими 100 відмінними від нуля коефіцієнтами розкладу /3/. Відзначимо, що скачок $\gamma_2(x)$ та КПТ не зміниться, якщо диполь орієнтації ω_κ у точці z_κ замінити на диполь орієнтації $\omega_\kappa + \kappa$ у точці \bar{z}_κ .

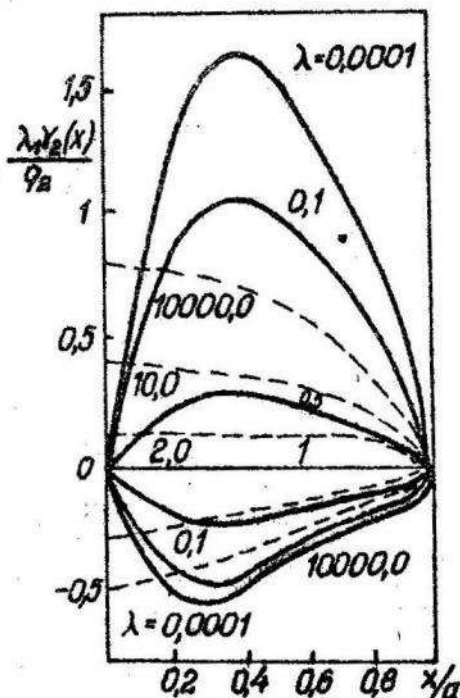


Рис. 1.

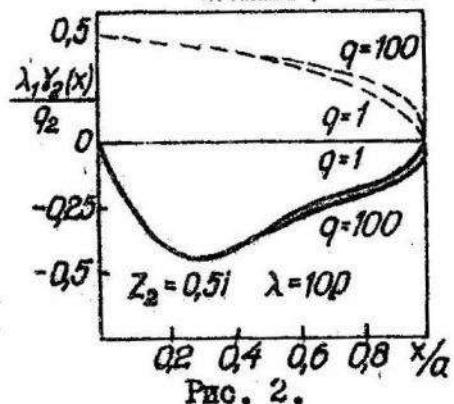


Рис. 2.

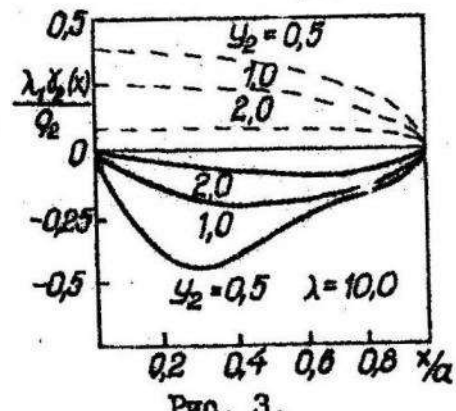


Рис. 3.

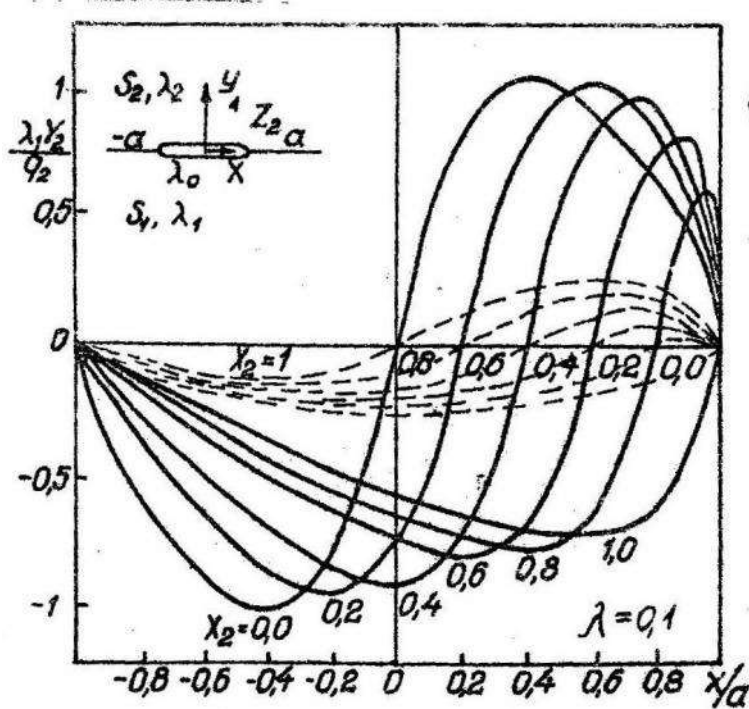


Рис. 4.

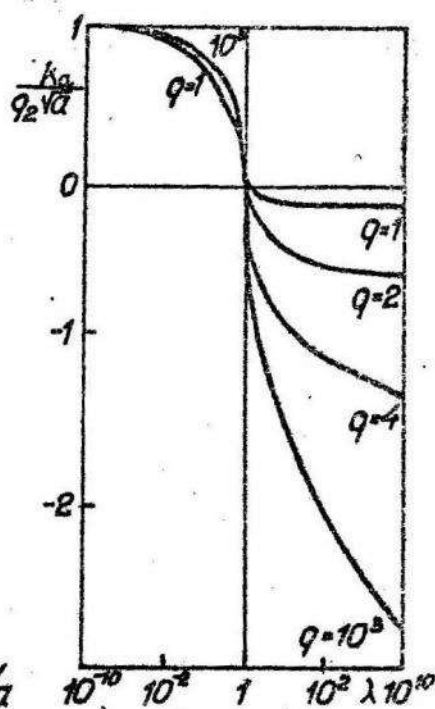


Рис. 5.

На рис. 1 зображена зміна скакка $\gamma_2(x)$ залежно від зміни параметра λ при $q=2$ і $z_K=i$. Рис. 2 ілюструє вплив форми виключення на $\gamma_2(x)$. Залежність $\gamma_2(x)$ від ординати розміщення диполю z_K показана на рис. 3, а від абсциси x_K – на рис. 4. Суцільними лініями на рисунках зображені результати отримані для диполя орієнтації $\omega_K=0$ / $\gamma_2^0(x)$ /, пунктирними – для орієнтації $\omega_K=\frac{\pi}{2}$ / $\gamma_2^{K/2}(x)$ /, де $\gamma_2^\alpha(x)$ – більш деталізоване означення скакка температури для диполя орієнтації α . Зрозуміло, що при довільній орієнтації

$$\gamma_2^\alpha(x) = \gamma_2^0(x) \cos \alpha + \gamma_2^{K/2}(x) \sin \alpha. \quad /3/$$

При віддаленні диполя від початку координат його вплив на скакок температури на виключенні зменшується набагато сильніше, ніж у випадку джерела [4]. На рис. 5 зображені залежності КЛТ від параметрів λ і q .

Список літератури: 1. Каролоу Г., Егер Д. Теплопроводность твердых тел. - М.: Наука, 1964. 2. Кіт Г.С. Про аналогію між поздовжнім зсувом і стаціонарною теплопровідністю тіл з включеннями та тріщинами. - ДАН УРСР, сер. А, 1977, № 4. 3. Мусхелішвили Н.И. Сингулярные интегральные уравнения. - М.: Физматгиз, 1962. 4. Піскозуб Й.З., Сулим Г.Т. Вплив лінійного включения на температурне поле від джерела тепла. - Вісн. Львів. ун-ту, сер. мех.-мат., 1979, вип. 16. 5. Сулим Г.Т. Влияние форми тонкого линейного включения на температурное поле в кусочно-однородной пластине. - ИФЖ, 1979, 37, № 6. 6. Черепанов Г.П. Механика хрупкого руйнування. - М.: Наука, 1974.

Стаття надійшла в редколегію II.03.1980 р.

УДК 622.831

Т.Л.Мартинович, М.І.Задворнях

ДОСЛІДЖЕННЯ НАПРУЖЕНЬ В АНІЗОТРОПНОМУ МАСИВІ З ВИРОБКОЮ

За допомогою методів лінійної теорії пружності розглядаємо другу основну задачу для вагомого анізотропного масиву з горизонтальною циліндричною виробкою, проведеною на глибині H від денної поверхні L_0 . Нормальний переріз виробки обмежений простим замкнутим контуром L , який описується рівнянням

$$x + iy = R(e^{i\theta} + \sum_{k=1}^N C_k e^{-ik\theta}), \quad \sum_{k=1}^N |C_k|^2 < 1.$$

Віднесемо гірський масив до декартової системи координат xuz /рис. I/. У кожній точці анізотропного масиву є площа пружної симетрії паралельна координатній площині xu , яка суміщена з нормальним перерізом горизонтальної виробки.

Напруження у нерозробленому масиві обчислюють за формулами

$$\sigma_x^0 = \lambda f(y-H), \quad \sigma_y^0 = f(y-H), \quad \tau_{xy}^0 = 0, \quad /I/$$

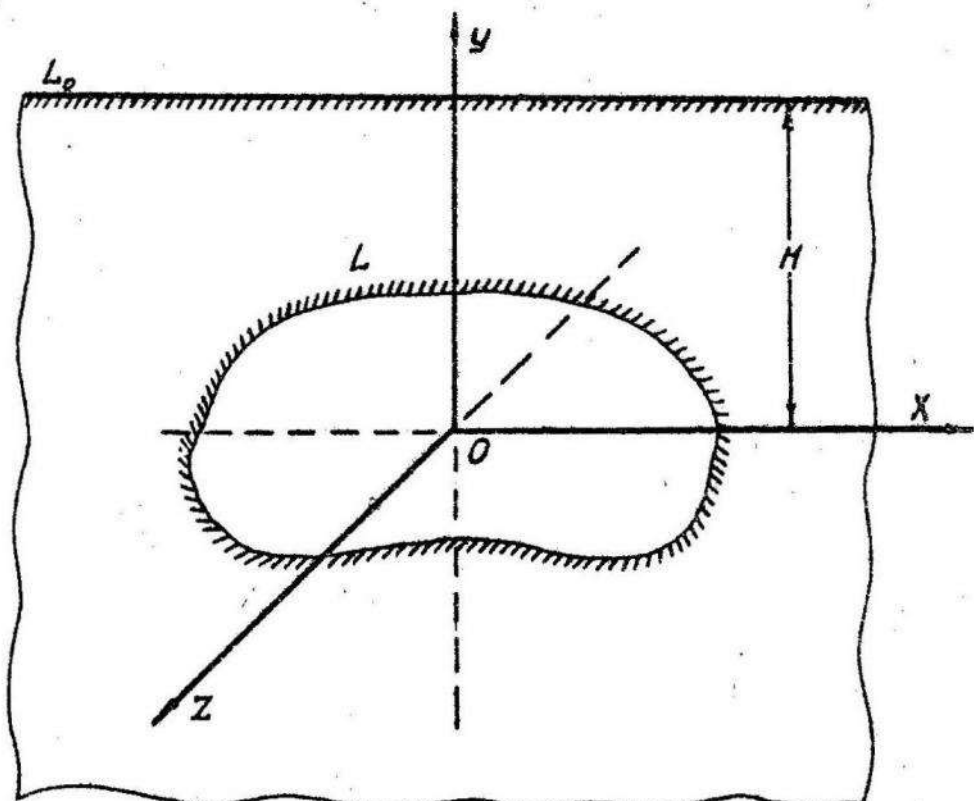


Рис. I.

де $\lambda = -\frac{\beta_{12}}{\beta_{11}}$ - коефіцієнт бокового розпору; γ - середня питома вага породи; β_{ij} - пружні постійні середовища ^x.

Комплексні потенціали $\Psi_j(z_j)$ ($j=1,2$) , що описують додатковий напруженний стан, який прямує до нуля в міру віддалення від виробки, знаходимо з граничних умов

$$\int F(t) dV = \int F(t) d(u+iv) - 2i\delta \int F(t)(y-H) dy, \quad /2/$$

$$\int F(\bar{t}) dV = \int F(\bar{t}) d(u+iv) - 2i\delta \int F(\bar{t})(y-H) dy,$$

Лехницкий С.П. Теоретические исследования напряжений в упругом анизотропном массиве вблизи подземной выработки эллиптического сечения. - Сборник трудов ВНИИ, 1962, т.45.

$$20 \quad \Gamma = \sum_{j=1}^2 [(P_j + iq_j) Y_j(z_j) + (\bar{P}_j + i\bar{q}_j) \bar{Y}_j(\bar{z}_j)]; \quad b = \frac{i}{2\beta_n} (\beta_n \beta_{12} - \beta_{12}^2);$$

$F(t)$ – довільна голоморфна функція у нескінченій області зовні L , включуючи контур; $Z_j = x + iy$ – ускладнені комплексні змінні.

Нехай функція, яка конформно відображає зовнішність одніично-го кола $\gamma(|z| \geq 1)$ на зовнішність контура L , має вигляд

$$z = \omega(\xi) = R(\xi + \sum_{n=1}^N C_n \xi^{-n}), \quad \omega'(\xi) \neq 0 \text{ при } |\xi| \geq 1. \quad /3/$$

У перетворених областях ($|\xi_j| \geq 1$) комплексні потенціали записуємо як

$$\varphi_{jj}(\xi_j) = D_j \ln \xi_j + \sum_{K=1}^N \alpha_{Kj} \xi_j^K + \sum_{K=0}^{\infty} A_{Kj} \xi_j^{-K}, \quad (j=1,2), \quad /4/$$

D_j ($j=1,2$) визначаються з умови однозначності переміщень.

Довільну функцію, використану при написанні граничних умов /2/, зобразимо у вигляді ряду

$$F[\omega(\xi)] = \sum_{n=0}^{\infty} E_n \xi^{-n}. \quad /5/$$

Із міркувань, що функції $\varphi_j(z_j)$ ($j=1,2$) повинні бути обмеженими зовні однічного кола і виходячи з граничних умов /2/, отримуємо систему алгебраїчних рівнянь відносно невідомих коефіцієнтів комплексних потенціалів

$$\begin{aligned} \sum_{j=1}^2 [(P_j + iq_j) \Lambda_{nj} + (\bar{P}_j + i\bar{q}_j) \bar{\Lambda}_{nj}] &= -\frac{i}{2\pi \ln r} \int \delta^n d(u+iv) - \\ &- \frac{i\theta}{2\pi} \gamma_{nn} + M \theta G_{nn}, \\ \sum_{j=1}^2 [(\bar{P}_j + i\bar{q}_j) \bar{\Lambda}_{nj} + (P_j + iq_j) \Lambda_{nj}] &= \frac{i}{2\pi \ln r} \int \delta^n d(u+iv) + \\ &+ \frac{i\theta}{2\pi} \varepsilon_{nn} + M \theta G_{nn}, \end{aligned} \quad /6/$$

$$\varphi'_{jj}(\xi_j^{(i)}) = 0 \quad (n=1,2,\dots,\infty; \quad i=1,\dots,N-1; \quad j=1,2),$$

де

$$g_1 = R(1 - \frac{\theta}{R} C_1), \quad G_1 = -\bar{R}(1 - \frac{\theta}{R} C_1);$$

$$g_n = -\bar{R} \bar{C}_n, \quad G_n = R C_n \quad (n=2,3,\dots,N);$$

$$\varepsilon_n = \sum_{k=1}^N K g_k G_{n-k+1} + \sum_{k=1}^N K g_k G_{n+k-1} - \sum_{k=1}^{N-1} K g_{n+k+1} G_k;$$

$$\gamma_n = \sum_{k=1}^{N-1} K g_k G_{n+k-1} - \sum_{k=1}^N K g_k G_{n-k+1} - \sum_{k=1}^N K g_{n-k+1} G_k;$$

$\varepsilon_n = 0$ при $n > 2N-1$; $\gamma_n = 0$ при $n > 2N+1$;

$\xi_j^{(r)}$ — нулі функції $z'_j(\xi_j) = \omega'_j(\xi_j)$, причому $|\xi_j^{(r)}| > 1$.

Для прикладу розглянуто породу алевроліт з такими пружними характеристиками:

$$E_1 = 6.21 \cdot 10^5 \frac{\text{kg}}{\text{cm}^2}; E_2 = 5.68 \cdot 10^5 \frac{\text{kg}}{\text{cm}^2};$$

$$G = 2.29 \cdot 10^5 \frac{\text{kg}}{\text{cm}^2}; v_1 = 0.215; v_2 = 0.260.$$

171

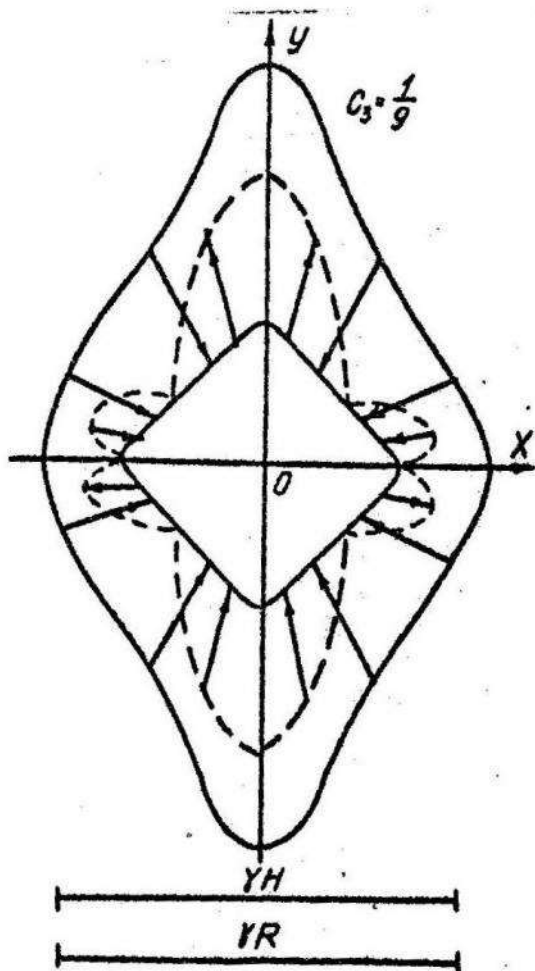


Рис. 2.

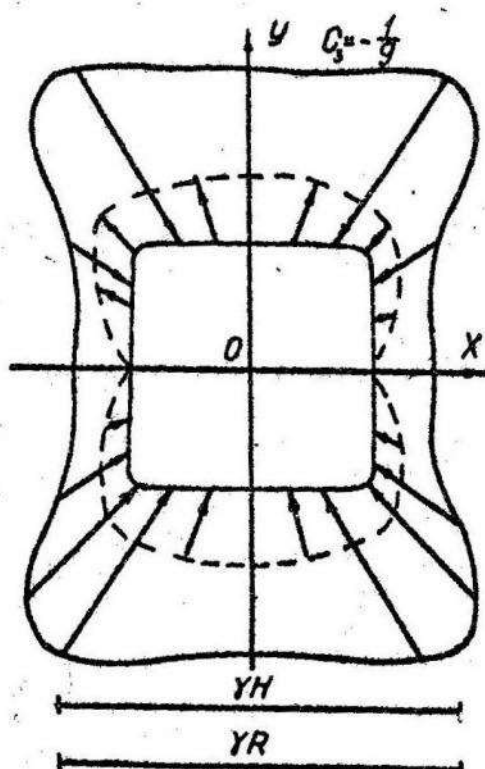


Рис. 3.

На рис. 2, 3 показано розподіл напружень σ_θ на поверхні квадратної виробки / $N=3; C_1=0; C_2=0; C_3=\pm \frac{1}{9}g$ / у випадку абсолютно жорсткого ядра. Суцільною лінією зображені напруження у частках δN , пунктиром - у частках γR .

Стаття надійшла в редколегію 12.02.1980 р.

УДК 624.07:534.1

Б.І.Гайнась, В.М.Фарат

ДОСЛІДЖЕННЯ КОЛІВАНЬ СТИСНУТОГО
КОНСОЛЬНОГО КОНІЧНОГО СТЕРЖНЯ З МАСОЮ

Розглядаємо пружний консольний стержень жорсткості $EJ(x)$ і маси $m(x)$ при дії слідкуючої сили H та консервативної G на вільному кінці. Зосереджена маса M , розміщена у точці x , /рис. I/. Дослідження малих коливань стержня зводиться до такої кра-

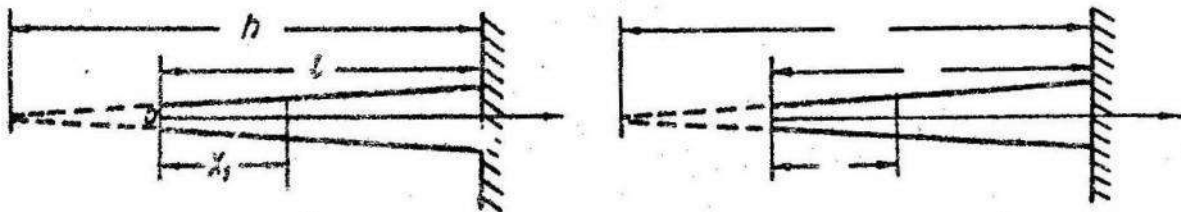


Рис. I.

йової задачі:

$$[f(x)y'']'' + \rho y'' - \omega^2 g(x)y = \sum_{q=1}^{\infty} \omega^2 \gamma_{q1} y^{(q-1)}(x) \delta_q(x-x_i), \quad /1/$$

$$[f(x)y'']' + P(f-g)y' = 0, \quad f(x)y'' = 0 \quad \text{при} \quad x=0, \quad /2/$$

$$y = y' = 0 \quad \text{при} \quad x=l,$$

$$\text{де} \quad \omega^2 = \frac{m_0 \Omega^2 l^4}{E J_0} \quad ; \quad \rho = \frac{Nl^2}{E J_0} \quad ; \quad \Omega \quad - \text{частота};$$

$$\gamma_{q1} = \frac{M}{m_0 l}; \quad \gamma_{21} = \frac{f_g}{m_0 l}; \quad N = G + H; \quad m_0 = m(l); \quad J_0 = J(l).$$

τ - момент інерції зосередженої маси; γ - параметр неконсервативності; $B_q(x)$ - q -та похідна функції Хевісаїда $B_0(x)$
 $f(x) = [(1-\lambda) + \lambda x]^q$, $g(x) = [(1-\lambda) + \lambda x]^2$, $\lambda = \frac{\rho}{n}$.

Розв'язок рівняння /I/ шукаємо у вигляді ряду [I]

$$y(x) = \sum_{n=0}^{\infty} y_n(x) \omega^{2n}. \quad /3/$$

На невідомі функції $y_n(x)$ ($n = 0, 1, 2 \dots$) накладаємо такі умови:

$$[f(x)y_0'']'' + \rho y_0'' = 0, \quad /4/$$

$$f(x)y_0'' + \rho(1-\gamma)y_0' = 0, [f(x)y_0'']' = 0 \text{ при } x=0, \quad /5/$$

$$[f(x)y_n'']'' + \rho y_n'' = g(x)y_{n-1} + \sum_{q=1}^2 \gamma_q y_{n-1}^{(q-1)}(x) B_q(x-x_0), \quad /6/$$

$$f(x)y_n'' = [f(x)y_n'']' = y_n' = y_n = 0 \text{ при } x=0. \quad /7/$$

При цьому $y(x)$ задовільняє рівняння /I/ і умови на вільному кінці.

Розв'язок задачі /4/ - /5/ має вигляд

$$y_0(x) = \sum_{k=0}^l C_k \Phi_{k0}(x), \quad /8/$$

$$\text{де } \Phi_{00}(x) = \gamma x + \frac{(1-\gamma)(1-\lambda)(1-\lambda+\lambda x)}{\sqrt{\rho}} \sin \frac{\sqrt{\rho} x}{(1-\lambda)(1-\lambda+\lambda x)}, \quad /9/$$

$$\Phi_{10}(x) = 1,$$

Розв'язки y_n задачі /6/ - /7/ визначаються через попередні y_{n-1} за допомогою співвідношения

$$y_n = \frac{1}{\rho} \left\{ \int_x^{\infty} \Psi(x, t) g(t) y_{n-1}(t) dt + \right. \\ \left. + \sum_{q=1}^2 \gamma_q y_{n-1}^{(q-1)}(x, x-1)^{q-1} [\Psi_q^{(q-1)}(x, t)]_{t=x}, B_q(x-x_0) \right\}, \quad /10/$$

де $\Psi(x, t)$ - функція вимізу [3] однорідного диференціального

рівняння /6/, оточому

$$\psi(x,t) = (x-t) - \frac{(t-d+dx)(t-d+dt)}{\sqrt{\rho}} \sin \frac{\sqrt{\rho}(x-t)}{(t-d+dx)(t-d+dt)}. \quad /III/$$

Тоді з врахуванням умов /7/ і спiввiдношення /8/ маємо

$$y_n(x) = \sum_{k=0}^l c_k \varphi_{kn}(x). \quad /I2/$$

У розв'язок /10/ входять значення $y_n^{(q-1)}(x_i)$, які запишемо у вигляді

$$y_n^{(q)}(x_i) = \sum_{k=0}^l c_k A_{ek}^n, \quad /I3/$$

де $A_{ek}^n = y_n^{(q)}(x_i) / c_k = \delta_{jk}$, δ_{jk} — символ Кронекера.

Легко показати [4], що розв'язки $y^{(z)}(x)$ ($z=0,1$) неперервнi при $x \in \mathbb{R}$. Тому

$$A_{ek}^n = \frac{1}{\rho} \int_0^{x_0} \psi_x^{(q)}(x,t) g(t) \varphi_{kn-1}(t) dt, \quad /I4/$$

$$\begin{aligned} \varphi_{kn}^{(q)}(x) &= \frac{1}{\rho} \left\{ \int_0^{x_0} \psi_x^{(q)}(x,t) g(t) \varphi_{kn-1}(t) dt + \right. \\ &\left. + \sum_{q=1}^l 2 q! A_{q+k}^{(q)} (-1)^{q-1} [\psi_t^{(q-1)}(x,t)]_{x=t=x_1}^{(q)} \varphi_0(x-x_1) \right\}. \quad /I5/ \end{aligned}$$

Маючи вирази для $\varphi_{kn}^{(q)}(1)$, легко отримати характеристичне рiвняння у виглядi

$$\sum_{m=0}^{\infty} A_m \omega^{2m} = 0, \quad /I6/$$

$$\text{де } A_m = \sum_{k=0}^m [\varphi_{m-k}^{(q)}(1) \varphi_{kn}^{(q)}(1) - \varphi_{m-k}^{(q)}(1) \varphi_{kn}^{(q)}(1)]. \quad /I7/$$

Якщо є коефiцiєнти характеристичного ряду, можна обчислити методом двостороннiх оцiнок частоту коливань конiчного стержня та критичнi параметри навантаження.

FIG. 4.

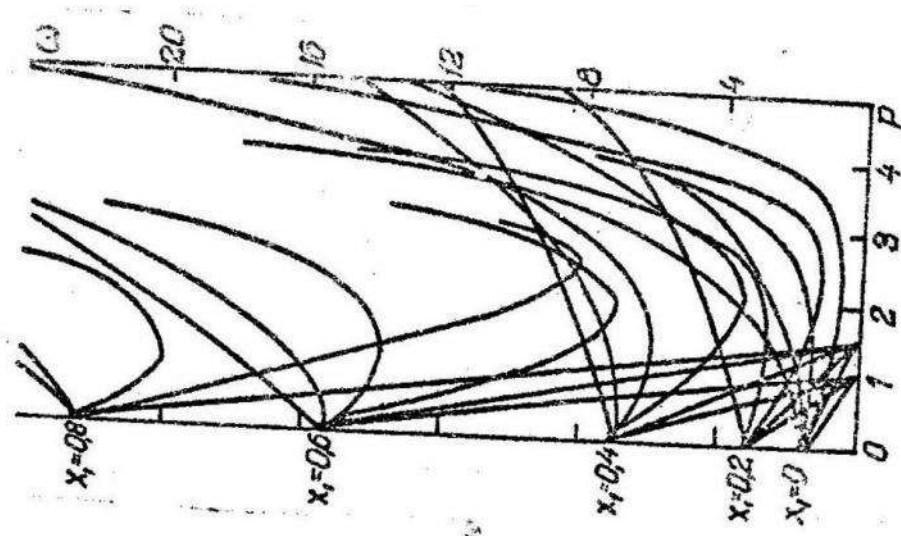


FIG. 3.

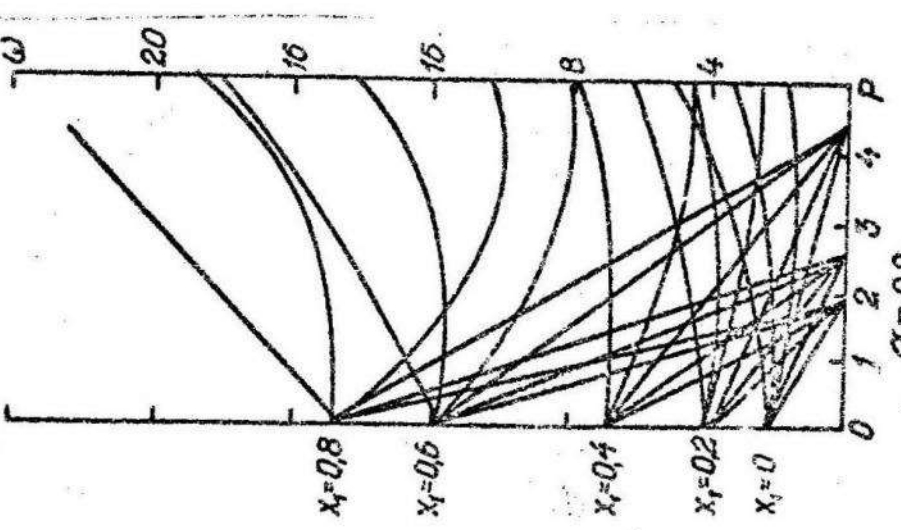
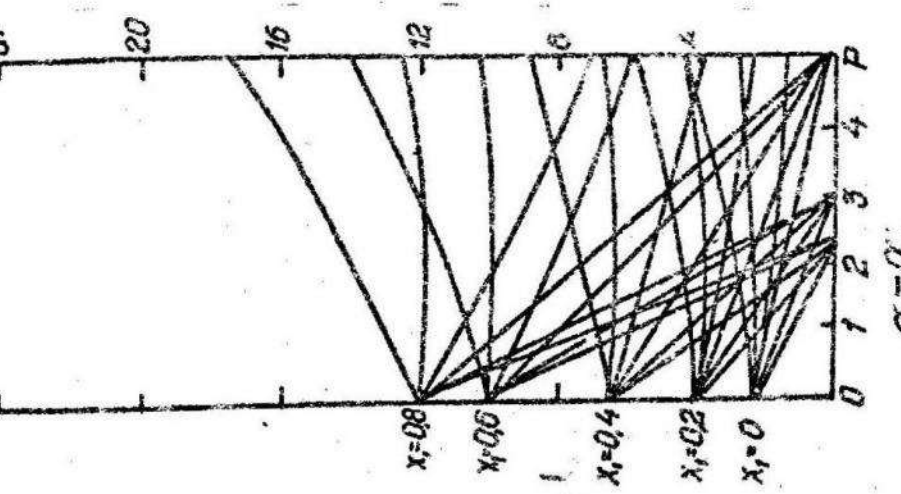


FIG. 2.



На рис. 2-4 видно кривизні частот ω від під параметрів конусості α , неконсервативності γ і точок x_1 , прикладення зосередженої маси. Кожен пучок кривих залежності частот від параметрів відповідає одному значенню x_1 , точки прикладення зосередженої маси з множини $\{0(0,2)0,3\}$. Пучки від нижнього до верхнього побудовані у порядку зростання цих значень. Криві в кожному пучку від нижньої до верхньої побудовані для значень параметрів неконсервативності γ від 0 до 1 з кроком 0,2 відповідно при $\gamma_1=1$, $\gamma_2=0$.

Список літератури: І. Байдак Д.А.; Зорій Л.М. Про дослідження коливань і стійкості стержнів змінної жорсткості методом двосторонніх оцінок. - ДАН УРСР, сер. А., 1972, № 6. 2. Зорій Л.М. К развитию аналитических методов исследования задач динамики упругих и гидроупругих систем. - Математические методы и физико-механические задачи, 1978, № 7. 3. Зорій Л.М. Про новий метод побудови загальних розв'язків лінійних диференціальних рівнянь. - ДАН УРСР, сер. А, 1979, № 5. 4. Образцов И.Ф., Овакнов Г.Г. Строительная механика скелетных тонкостенных систем. - М.: Машиностроение, 1973.

Стаття надійшла в редакцію 08.01.1980 р.

ЗМІСТ

Сеньо Н.С. Стійкість одного ітераційно-різницевого методу для розв'язування нелінійних операторних рівнянь.....	3
Сеньо Н.С., Шахно С.М. Розв'язування різницевих рівнянь газової динаміки ітераційним методом типу Рунге.....	7
Шахно С.М. Про один метод розв'язування різницевих рівнянь газової динаміки.....	14
Щербина Ю.М. Про один рекурсивний ітераційний метод із збуреннями для операторних рівнянь.....	16
Хук М.В. Дослідження швидкості збіжності методу Канторовича для нелінійних інтегральних рівнянь.....	21
Дудзяний І.М., Москвяк С.В. Визначення параметрів розподілу деяких процесів руйнування.....	24
Барвінський А.Ф., Дудзяний І.М. Про власні коливання в системах з розподіленими параметрами, що описуються одним нелінійним рівнянням з частинними похідними другого порядку.....	28
Остудій Б.А., Пасічник Р.М., Романюк Т.Т. Про наближений розв'язок деяких двомірних інтегральних рівнянь Фредгольма першого роду.....	34
Мартиненко Марія Д., Мартиненко Михайло Д., Шипка Й.Г. Про одне узагальнення теореми Шмідта на випадок бігармонічних потенціалів.....	35
Бакалець В.А., Коваль Н.Є. Метод неозначених коефіцієнтів розв'язування граничних задач для бігармонічного рівняння.....	36
Квіт І.Д. Максимальна властивість ентропії узагальненого розподілу Вейбула.....	37
Прокопішин І.А., Хлєбкіков Д.Г. Наближене визначення температурних напружень в екранному вузлі кінескопа з плоским екраном.....	43
Колітко М.Ф., Савула Я.Г. Про можливість захтування різницею радіусів волокон кумулійної труби при ІІ розрахунку.....	55

Мокрик Р.І., Паздерський Ю.А., Ко- чубей В.Ф., Гутор І.М., Оліярник І.В. Стаціонарний теплообмін при русі газу між двома співосни- ми круговими циліндрами.....	60
Мокрик Р.І., Оліярник І.В. Фундаменталь- ні розв'язки термов'язкопружності для псевдоколивань.....	65
Опанасович В.К., Драган М.С. Антиплос- ка деформація тіла з тонкостінним пружним включенням.....	69
Лихачов В.О., Флейшман Н.П. Про розв'яз- ок рівнянь теорії пружності для анізотропного шару.....	74
Сулим М.В., Сулим Г.Т. Про міцність зварю- ваних трубопроводів.....	76
Піскозуб Й.З., Сулим Г.Т. Вплив лінійного включення на температурне поле від диполя тепла.....	82
Мартинович Т.Л., Задворняк М.І. Дослідження напружень в анізотропному масиві з виробкою...	87
Гайвась Б.І., Фарат В.М. Дослідження ко- ливань стиснутого консольного конічного стержня з масою..	91

УДК 518:517.948

Устойчивость одного итерационно-разностного метода для решения нелинейных операторных уравнений. Сеньо П.С. - Вестн. Львов. ун-та, сер. мех.-мат., вып. I7. Численные методы анализа. - Львов: Вища школа. Изд-во при Львов. ун-те, 1981, с. 3-6 /на укр. яз./.

Предложен разностный аналог обобщенного метода А. Островского. Доказана высокая сходимость этого метода и устойчивость его по отношению к возмущениям разного типа. Получен конкретный вид таких возмущений. Показана связь предложенного метода с итерационными методами типа Рунге четвертого порядка сходимости. Список лит.: 6 назв.

УДК 518:517.9:533.7

Решение разностных уравнений газовой динамики итерационным методом типа Рунге. Сеньо П.С., Шахно С.М. - Вестн. Львов. ун-та, сер. мех.-мат., вып. I7. Численные методы анализа. Львов: Вища школа. Изд-во при Львов. ун-те, 1981, с. 7 - 14 /на укр. яз./.

Доказано, что при ненамного более жестких ограничениях на шаг сетки по времени, чем для метода Ньютона, рассмотренный метод имеет третий порядок сходимости. Приведены результаты численных расчетов. Список лит.: 5 назв.

УДК 518:517.9:533.7

Об одном методе решения разностных уравнений газовой динамики. Шахно С.М. - Вестн. Львов. ун-та, сер. мех.-мат., вып. I7. Численные методы анализа. Львов: Вища школа. Изд-во при Львов. ун-те, 1981, с. 14 - 15 /на укр. яз./.

Для решения разностных уравнений газовой динамики предлагается использовать метод порядка сходимости $1+\sqrt{2}$, позволяющий использовать относительно "грубые" сетки по времени. Обсуждаются результаты численных расчетов. Список лит.: 2 назв.

УДК 518:517.948

Об одном рекурсивном итерационном методе с возмущениями для операторных уравнений. Щербина Ю.Н. - Вестн. Львов. ун-та, сер. мех.-мат., вып. I8. Численные методы анализа. . Львов: Вища школа. Изд-во при Львов. ун-те, 1981, с. 16 - 21 /на укр. яз./.

Рассматривается итерационный метод со вложенными итерациями для решения нелинейных операторных уравнений. Исследовано влияние погрешностей округления на порядок сходимости метода. Список лит.: 4 назв.

УДК 518.517.3

Исследование быстроты сходимости метода Канторовича для нелинейных интегральных уравнений. Журн. М.В. - Вестн. Львов. ун-та, сер. мех.-мат., вып. I7. Численные методы анализа. Львов: Выща школа. Изд-во при Львов. ун-те, 1981, с. 21 - 23 /на укр. яз./.

Доказана теорема, устанавливающая существование и сходимость решения приближенной системы нелинейных интегральных уравнений, полученной согласно метода Канторовича примененного к соответствующему нелинейному интегральному уравнению.

УДК 519.21

Определение параметров распределения некоторых процессов разрушения. Дудзянин И.М., Москвяк Е.В. - Вестн. Львов. ун-та, сер. мех.-мат., вып. I7. Численные методы анализа. Львов: Выща школа. Изд-во при Львов. ун-те, 1981, с. 24 - 27 /на укр. яз./.

Предложена методика определения параметров распределения некоторых процессов разрушения. Для решения задачи использован градиентный метод минимизации функционала. Список лит.: 2 назв.

УДК 534.III

О собственных колебаниях в системах с распределенными параметрами, которые описываются одним нелинейным уравнением с частными производными второго порядка. Барвинский А.Ф., Дудзянин И.М. - Вестн. Львов. ун-та, сер. мех.-мат., вып. I7. Численные методы анализа. Львов: Выща школа. Изд-во при Львов. ун-те, 1981, с. 28 - 33 /на укр. яз./.

Строится асимптотическое решение слабонелинейного дифференциального уравнения с частными производными второго порядка гиперболического типа, которое содержит смешанные производные. Коэффициенты уравнения считаются медленно переменными. Список лит.: 9 назв.

УДК 518.517.948

О приближенном решении некоторых двумерных интегральных уравнений Фредгольма первого рода. Остудин Б.А., Пасичник Р.М., Романюк Т.Т. - Вестн. Львов. ун-та, сер. мех.-мат., вып. I7. Численные методы анализа. Львов: Вища школа. Изд-во при Львов. ун-те, 1981, с. 34 - 38 /на укр. яз./.

Задача расчета электростатического поля, образованного поверхностями типа эллиптического цилиндра, формулируется в виде двумерного интегрального уравнения Фредгольма первого рода. Последнее решается с использованием метода саморегуляризации. Для представления неизвестной плотности применяется билинейная аппроксимация. Список лит.: 3 назв.

УДК 517.944:947

Об одном обобщении теоремы Шмидта на случай бигармонических потенциалов. Мартыненко Мария Д., Мартыненко Михаил Д., Шипка И.Г. - Вестн. Львов. ун-та, сер. мех.-мат., вып. I7. Численные методы анализа. Львов: Вища школа. Изд-во при Львов. ун-те, 1981, с. 39 - 41 /на укр. яз./.

Дается дальнейшее развитие исследований Шмидта на случай бигармонических потенциалов. Список лит.: 2 назв.

УДК 517.949.8

Метод неопределенных коэффициентов решения краевых задач для бигармонического уравнения. Бакалец В.А., Коваль Т.Е. - Вестн. Львов. ун-та, сер. мех.-мат., вып. I7. Численные методы анализа. Львов: Вища школа. Изд-во при Львов. ун-те, 1981, с. 41 - 45 /на укр. яз./.

Рассматривается точный метод решения краевых задач для бигармонического уравнения на плоскости в случае гладких замкнутых кривых второго или четвертого порядка, когда правая часть уравнения является полиномом произвольной степени. Метод реализован на алгоритмическом языке, приведены численные результаты. Список лит.: 2 назв.

УДК 519.21

Максимальное свойство энтропии обобщенного распределения Вейбулла. К в и т И.Д. - Вестн. Львов. ун-та, сер. мех.-мат., вып. I7. Численные методы анализа. Львов: Выща школа. Изд-во при Львов. ун-те, 1981, с. 45 - 49 /на укр. яз./.

Доказывается теорема о ТСМ, что со всех абсолютно непрерывных распределений, заданных на положительной части действительной оси, имеющих одинаковые соответствующие начальные моменты и одинаковые первые логарифмические моменты, обобщенное распределение Вейбулла имеет наибольшую энтропию. Список лит.: 3 назв.

УДК 539.3

Приближенное определение температурных напряжений в экранном узле кинескопа с плоским экраном. П р о к о п и ш и н И.А., Х л е б и н и к о в Д.Г. - Вестн. Львов. ун-та, сер. мех.-мат., вып. I7. Численные методы анализа. Львов: Выща школа. Изд-во при Львов. ун-те, 1981, с. 49 - 55 /на укр. яз./.

Методом тригонометрических рядов Фурье определены температурные напряжения в трехпластичатой системе, моделирующей экранный узел кинескопа с плоским экраном. Влияние продольных перемещений на напряжения исследовано для одномерного случая. Приведены числовые результаты в виде графиков. Ил. 3. Список лит.: 3 назв.

УДК 539.3:681.3.097

О возможности пренебрежения разностью радиусов волокон криволинейной трубы при ее расчете. Ко п и т к о М.Ф., С а в у л а Я.Г. Вестн. Львов. ун-та, сер. мех.-мат., вып. I7. Численные методы анализа. Львов: Выща школа. Изд-во при Львов. ун-те, 1981, с. 55 - 60 /на укр. яз./.

Показано, что при решении задачи статики трубчатой оболочки путем минимизации функционала Лагранжа методом конечных элементов нельзя пренебрегать разностью радиусов волокон срединной поверхности. Ил. 3. Список лит.: 5 назв.

УДК 539.3.

Стационарный теплообмен при движении газа между двумя соосными круговыми цилиндрами. Мокрик Р.И., Паздерский В.А., Кочубей В.Ф., Гутор И.М., Олиярик И.В. - Вестн. Львов. ун-та, сер. мех.-мат., вып. I7. Численные методы анализа. Львов: Баша школа. Изд-во при Львов. ун-те, 1981, с. /на укр. яз./.

Рассматривается задача теплопроводности для установившегося движения вязкого газа, который движется между двумя полубесконечными соосными круговыми цилиндрами с заданной температурой. При помощи преобразования Лапласа получено выражение для температурного поля в области занятой газом. Список лит.: 4 назв.

УДК 539.3

Фундаментальные решения термовязкоупругости для псевдоколебаний. Мокрик Р.И., Олиярик И.В. - Вестн. Львов. ун-та, сер. мех.-мат. вып. I7. Численные методы анализа. Львов: Баша школа. Изд-во при Львов. ун-те, 1981, с. 65 - 69 /на укр. яз./.

Получена матрица фундаментальных решений для псевдоколебаний термовязкоупругих сред, в частности для моделей Бюо, Кельвина, Максвелла. Установлено важные свойства фундаментальных решений, в основе которых лежат свойства характеристических параметров термовязкоупругости, как многозначных функций комплексной переменной. Список лит.: 3 назв.

УДК 539.3II

Антиплоская деформация тела с тонкостенным упругим включением. Оланович В.К., Драган М.С. - Вестн. Львов. ун-та, сер. мех.-мат., вып. I7. Численные методы анализа. Львов: Баша школа. Изд-во при Львов. ун-те, 1981, с. 69 - 73 /на укр. яз./.

Исследуется задача об антиплоской деформации тела с тонкостенным упругим включением. Приведены формулы для определения напряженного деформированного состояния в окрестности концов включения, а также дан численный анализ задачи. Ил. 3. Список лит.: 3 назв.

УДК 539.3

О решении уравнений теории упругости для анизотропного тела.
Лихачев В.Н., Флейшман Н.П. - Вестн. Львов. ун-та,
сер. мех.-мат., вып. I7. Численные методы анализа. Львов: Выща школа.
Изд-во при Львов. ун-те, 1981, с. 74 - 76 /на укр. яз./.

Решение граничных задач для упругого слоя произвольной анизотропии выражено через функции напряжения Максвелла. Показано, что их определение в пространстве изображений сводится к решению краевой задачи для системы обыкновенных дифференциальных уравнений с постоянными коэффициентами, зависящими от упругих постоянных материала.

УДК 539.3+4+4.:621.81

О прочности сварных соединений трубопроводов. Сулим М.В.,
Сулим Г.Г. - Вестн. Львов. ун-та, сер. мех.-мат., вып. I7. Численные методы анализа. Львов: Выща школа. Изд-во при Львов. ун-те, 1981, с. 76 - 82 /на укр. яз./.

Рассматривается плоская задача теории упругости для полосы с конгруэнтными разрезами, подкрепленной двумя идентичными полукосостями, при действии однородного поля нормальных и касательных напряжений на бесконечности. На основе метода ортогональных многочленов исследована зависимость коэффициентов интенсивности напряжений от геометрических и механических параметров задачи. Результаты применения для оценки прочности сварных соединений тонких цилиндрических оболочек, а также слоистых композитов. Ил. 2. Список лит.: 4 назв.

УДК 536.24

Влияние линейного включения на температурное поле от диполя тепла. Пискозуб И.З., Сулим Г.Т. - Вестн. Львов. ун-та, сер. мех.-мат., вып. I7. Численные методы анализа. Львов: Выща школа. Изд-во при Львов. ун-те, 1981, с. 82 - 87 /на укр. яз./.

Рассматривается плоская стационарная задача теплопроводности без учета теплопередачи через боковые поверхности для составного тела с тонкостенными прослойками на границе раздела материалов. Заданы диполи тепла в полуцилиндрах и на оси одной из прослоек. Решение задачи методами теории функций комплексной переменной сведено к сингулярному интегро-дифференциальному уравнению. Определен скачок возмущенного температурного поля на включениях. Введено новое понятие коэффициента интенсивности теплового потока. Ил. 5. Список лит.: 6 назв.

УДК 622.831

Исследование напряжений в анизотропном массиве с выработкой.
Мартинович Т.Л., Задворняк М.И. - Вестн. Львов.
ун-та, сер. мех.-мат., вып. I7. Численные методы анализа. Львов:
Вища школа. Изд-во при Львов. ун-те, 1981, с. 87 - 91 /на укр. яз./.

Исследуется концентрация напряжений в анизотропной весомой среде возле цилиндрической криволинейной выработки. С помощью методов теории функций комплексной переменной задача сведена к системе алгебраических уравнений. Приведены численные значения для случая, когда в отверстие выработки вставлено абсолютно жесткое ядро. Ил. 3.

УДК 624.07:534.1

Исследование колебаний сжатого консольного конического стержня с массой. Гайвасъ Б.И., Фарат В.М. - Вестн. Львов.
ун-та, сер. мех.-мат., вып. I7. Численные методы анализа. Львов:
Вища школа. Изд-во при Львов. ун-те, 1981, с. 91 - 95 /на укр. яз./.

Методом характеристических рядов исследовано влияние на частоту колебаний конического стержня параметров конусности, неконсервативности в зависимости от точки размещения сосредоточенной массы. Ил. 4. Список лит.: 4 назв.

Вестник Львовского университета
Серия механико-математическая. Выпуск 17

ЧИСЛЕННЫЕ МЕТОДЫ АНАЛИЗА
(на украинском языке)

Львов. Издательство при Львовском государственном университете
издательского объединения «Вища школа»

Редактор В. В. Войтович. Художній редактор В. В. Ковалчук.
Технічний редактор А. А. Степанюк. Коректор Т. Т. Козак

Підп. до друку 20.01.81. БГ 01614. Формат 60×84/16. Папір друк. № 3.
Офс. друк. 6,04 умовн. друк. арк. 4,86 обл.-вид. арк. Тираж 600 прим.
Вид. № 838. Зам. № 3330. Ціна 60 коп. Замовне.

Видавництво при Львівському державному університеті видавничого
об'єднання «Вища школа», 290000, Львів, вул. Університетська, 1.

Обласна книжкова друкарня Львівського обласного управління в спра-
вах видавництв, поліграфії та книжкової торгівлі, 290000, Львів,
вул. Стефаника, 11.

60 коп.



Вісн. Львів. ун-ту. Сер. мех.-мат. 1981, вип. 17. 1—104.